



الاكاديمية الليبية
The Libyan Academy

دولة ليبيا

الأكاديمية الليبية / فرع مصراتة



مدرسة العلوم الأساسية

قسم العلوم والهندسة البيئية

شعبة علوم البيئة

دراسة نظرية لتقدير ملوثات الهواء على صخور مدينة لبدة الأثرية

**Theoretical study to assess air pollutants on the
Leptis Magna archaeological rocks**

إعداد / ناصر محمد دياب

بكالوريوس في علوم الارض والبيئة - جامعة المرقب

العام الجامعي 1997-1998 م

إشراف

أ.د. حسن الحسين ابوعربية

د علي يوسف عكاشه

دراسة مقدمة لغرض استكمال متطلبات الحصول على الإجازة العليا (الماجستير)

في العلوم والهندسة البيئية

ربيع 2015م

٢٣٦
وَسَمِعَ اللَّهُ عَزَّ ذِي قُوَّةِ
الْأَنْجَوْنَ حَاسِرًا حَاسِرًا

﴿ اقْرَأْ بِاسْمِ رَبِّكَ الَّذِي خَلَقَ ﴾ ١) خَلَقَ الْإِنْسَانَ
مِنْ عَلَقٍ ٢) اقْرَأْ وَرَبِّكَ الْأَكْرَمِ ٣) الَّذِي عَلَمَ بِالْقَلْمَنْ
٤) عَلَمَ الْإِنْسَانَ مَا لَمْ يَعْلَمْ ٥) ٥)

صَدَاقٌ لِلَّهِ الْعَظِيمِ
حَلْ دُونَ حَلْ دُونَ

ـ سورة العلق آية (١ - ٨)

فَلَمْ يَرَهُ رَسُولُ اللَّهِ صَلَّى اللَّهُ عَلَيْهِ وَسَلَّمَ

» مِنْ سَلَبَ طَرِيقًا يَلْتَهِسْ فِيهِ عِلْمًا سَهَلَهُ اللَّهُ

لَهُ طَرِيقًا إِلَيْهِ الْجَنَّةَ «

صَدَقَ رَسُولُ اللَّهِ صَلَّى اللَّهُ عَلَيْهِ وَسَلَّمَ

بِسْمِ اللّٰهِ الرَّحْمٰنِ الرَّحِيْمِ

إِلٰهُ النَّاسِ الطَّيِّبُ كَطْبَيْةُ الْأَرْضِ إِلٰهُ وَالرَّقَبَيْ (رَحْمَهَا اللَّهُ)

إِلٰهُ مِنْ أَنَارٍ يَعْلَمُ الطَّرَبَيْنِ إِلٰهُ وَالرَّبِّيْ

إِلٰهُ مِنْ تَامِّكَتْسِيْ نَسَرَةُ الْجَاهِ وَرَفَاقِهَا إِلٰهُ زَوْجَهَيْ

إِلٰهُ الْأَوَّلَادِيْ لِلْمُنْتَيِّ لَهُ الْأَعْيُنُ كُلُّ الْعَرْبِ عَنْ طَلَبِ الْعِلْمِ

الشكر والتقدير

الشكر لله رب العالمين الذي أغار لنا طريق العلم والمعرفة

أتقدم بجزيل الشكر إلى كلا من :

- مصنع البرج للإسمنت زليتن قسم التحاليل الكيميائية وبالأخص / م . عبدالله عبد الدائم
- معهد النفط الليبي طرابلس قسم إعداد الشرائح الميكروسكوبية.
- هيئة الأرصاد الجوية الخمس.
- كلية العلوم البحرية - الجامعة الاسميرية زليتن.
- إدارة مراقبة اثار لبده الخمس.
- من دواعي سروري وامتناني ، يشرفني ويسعدني إن أتوجه بالشكر والتقدير إلى رئاسة وأساتذة وكوادر الأكاديمية الليبية مصراته التي حققت لنا مكاناً نتمناه.

قائمة المحتويات

الصفحة	الموضوع
١	آلية القرآنية
ب	الإهادء
ج	الشكر والتقدير
د	قائمة المحتويات
ز	قائمة الجداول
ح	قائمة الأشكال
ل	الملخص عربي
م	الملخص إنجليزي

الفصل الأول المقدمة

الصفحة	الموضوع	ت
١	المقدمة	١
١	تمهيد	١.١
٣	موقع الدراسة	٢.١
٤	الهدف من البحث	٣.١
٤	الدراسات السابقة	٤.١
٨	تلות الهواء	٥.١
٩	مصادر تلوث الهواء	١.٥.١
١٠	تأثيرات تلوث الهواء على مواد البناء	٢.٥.١
١٥	انتشار الملوثات في البيئة	٣.٥.١
٢١	طرق المحاكاة الحاسوبية	٤.٥.١

الفصل الثاني الجزء العملي

٢٦	جيولوجية المنطقة وعلاقتها بمباني المدينة	١.٢
٢٧	الصخور المستخدمة بمباني الأثرية بمدينة لبدة	٢.٢

33	بيانات محطة الكهرباء	3.2
33	محطة كهرباء الخمس البخارية	1.3.2
36	محطة كهرباء الخمس الغازية	2.3.2
38	البيانات المناخية	4.2
38	درجة الحرارة	1.4.2
39	الرطوبة النسبية	2.4.2
40	كميات الامطار	3.4.2
40	سرعة واتجاه الرياح	4.4.2
44	العوامل البيئية المؤثرة على المدينة الأثرية	5.2
44	التجوية الميكانيكية (الفيزيائية)	1.5.2
51	التجوية الكيميائية	2.5.2
54	التجوية الحيوية	3.5.2
57	العوامل المساعدة على سرعة التجوية	4.5.2
61	تقدير تركيز الغازات الحمضية في المدينة	6.2
61	برنامج محاكاة انتشار الملوثات	1.6.2
62	تجهيز الخرائط	2.6.2
63	إدخال البيانات إلى برنامج معالجة الانتشار	3.6.2
63	حساب معدلات تأكل الرخام	7.2
65	التحقيق العملي والميداني	8.2
65	الاختبارات باستخدام جهاز فلورة الأشعة السينية	1.8.2
65	الفحص باستخدام المجهر الضوئي المستقطب	2.8.2
الفصل الثالث النتائج والمناقشة		
68	النتائج والمناقشة	3
68	تراكيز الملوثات في المدينة الأثرية	1.3
72	معدلات التأكل المتوقعة في صخور المدينة	2.3
76	تحليل العينات بالأشعة السينية المفلورة	3.3

76	عينات الرخام	1.3.3
76	عينات الحجر الجيري	2.3.3
78	عينات الجرانيت	3.3.3
79	عينات الشست	4.3.3
80	الحجر الجيري الرملي	5.3.3
82	نتائج الفحص باستخدام المجهر الضوئي المستقطب	4.3
82	الصخور الرسوبيّة	1.4.3
85	الصخور الناريّة	2.4.3
86	الصخور المتحولة	3.4.3
الفصل الرابع الاستنتاجات والتوصيات		
93	الاستنتاجات	1.4
94	التوصيات	2.4
المراجع		
95	المراجع العربية	
96	المراجع الانجليزية	
105	مراجع شبكة المعلومات	
106	الملحق	

قائمة الجداول

الصفحة	الموضوع	رقم الجدول
35	درجة شيوخ التركيب الصخري للصخور المحلية والمستوردة والمستخدمة في المبني الصخرية	1.2
37	أهم البيانات المستخدمة من محطتي الكهرباء الخمس.	2.2
66	مجموعة من العينات بالموقع مع نوع الصخر	3.2
69	القيم الحدية لتركيز الملوثات الغازية الخاصة بجودة الهواء الجوي لبعض المواصفات القياسية لدول العالم.	1.3

قائمة الاشكال

الصفحة	الموضوع	رقم الاشكال
3	موقع منطقة الدراسة.	1.1
13	تحول التماضيل الرخامية إلى إشكال متنافرة نتيجة التآكل والتلف.	2.1
16	أنواع انتشار الملوثات .	3.1
26	الخارطة الجيولوجية لمنطقة مدينة لبدة الاثرية.	1.2
28	عمود من الجرانيت يظهر حالة التقشر.	2.2
30	يوضح المقطع a صخور جدار من المدينة إما المقطع b مكشف الصخور من رأس الحمام.	3.2
36	صورة القمار الصناعية لمحطة الكهرباء البخارية.	4.2
36	الإنبعاثات الصادرة من مداخن هذه المحطة الأربعة بالعين المجردة.	5.2
37	صورة القمار الصناعية لمحطة الكهرباء الغازية.	6.2
38	متوسط المعدلات الشهرية لدرجة الحرارة بمنطقة الخمس لمدة 10 سنوات (مركز الأرصاد الخمس).	7.2
39	المعدلات الشهرية للرطوبة النسبية بمنطقة الخمس (مركز الأرصاد الخمس).	8.2
40	كمية السقط المطري على منطقة الخمس(مركز الأرصاد الخمس).	9.2
41	المعدلات الشهرية لسرعة الرياح في منطقة الخمس (مركز الأرصاد الخمس).	10.2
42	وردة الرياح بمنطقة الخمس للأشهر من يناير حتى أغسطس.	11.2

43	وردة الرياح بمنطقة الخمس للأشهر من سبتمبر حتى ديسمبر وسنويًا.	12.2
45	تفشر الجزء المعرض للجو من الصخر وتقتله وانفصاله عن السطح.	13.2
46	شقوق الأعمدة الرخامية والتي تنهار بسبب النمو البلوري للمياه.	14.2
47	الفجوات المكونة نتيجة حركة المياه بها وإذابتها للمواد اللاحمية.	15.2
48	مجرى مائي في قوس النصر اختفت فيه النقوش.	16.2
49	تأثير الرياح على جدران المدينة الأثرية (تجوية تفاضلية).	17.2
50	أحد الأعمدة الشيسية المتأثرة بالرطوبة.	18.2
51	العمود من الشبيست يبين دور التيارات البحرية في تغيير معالم الصخور المتحولة	19.2
52	تجوية المادة اللاحمية ومن ثم الفلسبار في أحد الأعمدة الجرانيتية	20 .2
53	الكهوف والفجوات في تكوين الخمس .	21 .2
53	تؤكسد بعض الكتل الصخرية .	22 .2
55	نمو النباتات نتيجة انتقال البذور بواسطة الرياح.	23 .2
56	حركة النمل في الصخور.	24 .2
56	مساكن بعض الحشرات في الكتل الصخرية.	25 .2
57	بعض أنواع الطحالب والأشنات والحزازيات.	26 .2
58	إبراز مستوى التطبق الحوضي نتيجة عمليات التجوية.	27.2
58	بعض الأماكن تمت بها عملية التجوية .	28.2
59	تأثير الرطوبة في الأعمدة بعيدة عن البحر	29 .2

59	تأثير الرطوبة في الأعمدة الفريبية عن البحر.	30 .2
60	بعض مواقع الترميم بالأسمنت .	31 .2
62	موقع العينات ومصدر الإبعاد.	32 .2
70	التراكيز المتوقعة لأكسيد النيتروجين في المنطقة المجاورة لمحطة الكهرباء ومدينة لبدة الاثرية.	1.3
71	التراكيز المتوقعة لثاني أكسيد الكبريت في المنطقة المجاورة لمحطة الكهرباء ومدينة لبدة الاثرية.	2.3
73	معدلات التأكل السنوية في الرخام بمدينة لبدة الاثرية تحت تأثير التلوث من محطة الكهرباء بالخمس	3.3
74	خطوط الكنتور تبين معدلات تأكل السنوية للرخام في المدينة الاثرية الخمس	4.3
77	النسبة المئوية لتوارد العناصر الرئيسية في عينة من الرخام وعينة من القشور المتكونة عليها.	5.3
78	النسبة المئوية لتوارد العناصر الرئيسية في عينات من الحجر الجيري وعينات من القشور المتكونة عليها.	6.3
79	النسبة المئوية لتوارد العناصر الرئيسية في عينة من الجرانيت وعينة من القشور المتكونة عليها.	7.3
80	النسبة المئوية لتوارد العناصر الرئيسية في عينات من الشست وعينات من القشور المتكونة عليها.	8.3
81	النسبة المئوية لتوارد العناصر الرئيسية في عينات من الحجر الرملي وعينات	9.3

	من الفشور المتكونة عليها.	
82	صورة جدار من صخر رسوبى من الحجر الجيري الرملي بالمجهر المستقطب.	10.3
83	صورة قاعدة عمود من صخر رسوبى من الحجر الجيري بالمجهر المستقطب.	11.3
84	صورة عمود من صخر رسوبية من الحجر الجيري بالمجهر المستقطب.	12.3
84	صورة صخر رسوبية من الحجر الجيري بالمجهر المستقطب.	13.3
85	صورة صخر ناري من الجرانيت بالمجهر المستقطب.	14.3
86	صورة صخر ناري من الجرانيت الوردي بالمجهر المستقطب.	15.3
86	من المسرح صورة صخر متحول من الرخام بالمجهر المستقطب.	16.3
87	من المسرح صورة صخر متحول من الشست بالمجهر المستقطب.	17.3
88	صورة أخذت من السوق صخر متحول من الرخام بالمجهر المستقطب.	18.3
88	صورة صخر متحول من الرخام بالمجهر المستقطب من قوس سيبتموس سيفروس.	19.3
89	صورة صخر متحول من الرخام بالمجهر المستقطب من معبد جوبيترا.	20.3
89	صورة صخر متحول من الرخام بالمجهر المستقطب من ساحة الألعاب.	21.3
90	صورة صخر متحول من الرخام بالمجهر المستقطب من البوابة الغربية.	22.3
90	صورة صخر متحول من بالمجهر المستقطب من حمامات هدريان.	23.3
91	صورة صخر متحول من الرخام بالمجهر المستقطب من معبد الحوريات.	24.3
91	من الميدان الجديد صورة صخر متحول من الرخام بالمجهر المستقطب.	25.3

الملخص

تشير الأبحاث العلمية حول العالم إلى أن الإنبعاثات الناجمة عن عملية إحتراق الوقود بنوعيه الثقيل والخفيف والغاز الطبيعي، تتسبب في تأثيرات سلبية على الصحة العامة، وتؤدي إلى تدني مستوى البيئة المحيطة بما فيها تأكل المباني الآثريّة.

وفي هذا البحث تمت دراسة تأثير الإنبعاثات الصادرة من محطتي كهرباء الخمس (البخارية والغازية) على مدينة لبدة الآثريّة المجاورة لهذه المحطة، وذلك بإستخدام برامج معالجة الإنتشار، لحساب تراكيز الملوثات الغازية (اكاسيد الكبريت والنيتروجين) في مدينة لبدة الآثريّة تحت تأثير المتغيرات المناخيّة، وبالتعويض في معادلات رياضية متخصصة تم حساب معدلات تأكل بعض أنواع الصخور تحت تأثير هذه الملوثات، كما تم التحقق من وجود تغييرات كيميائية في تركيب صخور المدينة بعد تحليلها باستخدام جهاز الأشعة السينية المفلورة، ودراستها ووصفها بواسطة المجهر المستقطب.

من خلال النتائج تبين وجود تراكيز عالية من الملوثات المنبعثة من المصدر المذكور، والتي تتحرك في فترات معينة من العام باتجاه المدينة الآثريّة، وبمحاكاة هذه النتائج عبر الحاسوب الآلي عن طريق برنامج داسبر وجدت إن صخور المدينة متأثرة من هذه الإنبعاثات إلى جانب بعض الملوثات الأخرى وأكثر المناطق تأثراً بها هي الأعمدة والتماثيل الرخامية.

Abstract

Scientific researches indicate that the pollutants emission from power plant cause negative impacts on ancient buildings as a corrosion.

This research investigation the effect of emissions from steam and gas Khoms power plants on the city of Leptis Magna archaeological adjacent to the station, using dispersion programs to calculate the concentrations of pollutant gaseous (sulfur and nitrogen oxides) in the city of Leptis Magna archaeological under the influence of climatic variables, and compensation in mathematical equations specialized been calculated rates eat marble under the influence of these pollutants, and has been verified the presence of chemical changes in the composition of the rocks of the city through analysis of the components using the XRF, it also has been detected tissues rock samples by polarized microscope.

The results obtained from this study showed the possibility of the presence of high concentrations of these pollutants in the ancient city which greatly affect the city rocks as the marble columns and statues.

الفصل الأول

المقدمة

1. المقدمة

1.1 تمهيد

تعد مدينة لبدة إحدى المدن الأثرية أكبر المدن في حوض البحر المتوسط، حيث تحتوى على موقع أثري تمثل حضارات متعددة من رومانية وبيزنطية وفينيقية، وقد تم تصنيفها لدى منظمة اليونسكو التابعة للأمم المتحدة كتراث إنساني عالمي منذ العام 1984 م. تحتوى المدينة على كنوز لا يقدر بثمن متمثلة في الكم الهائل من المباني التي أبدع فيها فناني ومهندسي وبنائي تلك العصور، من حيث التنوع في استخدام الأحجار المختلفة والنقشات التي تزين بعض الجدران والأعمدة. وعلى الرغم من انتصاف ثلاثة عقود على البدء في تشغيل محطة كهرباء الخمس البخارية، ونحو عقد ونصف على إنشاء محطة الخمس الغازية التي تقع على مسافة لا تتجاوز 3 كيلومترات شرق مدينة لبدة الأثرية، إلا أن تأثير الانبعاثات الغازية الناجمة عن حرق الوقود التليل والخفيف والغاز الطبيعي وأثارها البيئية بصفة عامة، وعلى آثار لبدة بصفة خاصة، موضوع تساؤل في الرأي العام وذلك لعدم وجود دراسات علمية حول الأضرار الناجمة عن هذه الملوثات.

وأمام هذا الإرث العظيم وما به من مظاهر تلف مختلفة نتيجة لعرضه للتجوية، التي قد تسبب في إتلاف مكوناتها التاريخية لوقوعها ضمن نطاق منطقة التلوث، التي كان ولا بد من أن يضع العلماء والباحثين نصب أعينهم المحافظة عليها، وذلك باجراء الدراسات والبحوث، واقتراح الحلول العلمية، حتى يتم وضع الحلول المناسبة للمحافظة عليها قبل فوات الأوان. لذا وقع الاختيار على دراسة تقييم تأثير الملوثات الناجمة عن محطة كهرباء الخمس على بعض صخور وأحجار هذه المدينة، وفهم ميكانيكيات التلف المختلفة الناجمة عن هذه الملوثات.

أسست مدينة لبدة بواسطة الفينيقيين كمحطة تجارية خلال الألف الأول قبل الميلاد (ق.م)، وأقدم آثارها ترجع إلى القرن السادس ق.م. وكان الاسم القديم لها (لبتس) Lipts، وتعد

أهم مدينة فينيقية في ليبا، وقد استطاع الفينيقيون أن يعمروا البلاد بسرعة نظراً لخصوصية أرضها، واعتدال مناخها وصالحيته للسكن، ولأن لها ميناء مأمون وصالح للملاحة ولوقوعها على نهر عين كعام، ومما زاد في سرعة عمرانها العلاقات الطيبة التي نشأت بين السكان الأصليين والفينيقيين نتيجة لحسن معاملتهم لهم، وقد اعتبرها الانحطاط في أواخر القرن السادس (ق.م) (باقر، 1973). وفي هذا الوقت حاولت مجموعة من الإغريق بقيادة الأمير الإسبرطي دوريوس أن تنشئ مستعمرة عند مصب نهر عين كعام، منهزله ما اعتبرى لبدة من التأثر والانحطاط، وقد تم لها ما أرادت. خاف القرطاجيين من تسرب النفوذ الإغريقي، فلم يلبثوا أن هاجموها وخربيوا مستعمراتها وطردوا الإغريق، واستولوا على لبدة وما حولها، وأعادوا إليها ما فقدت من عمرانها وحضارتها، وأطلق على هذه المنطقة اسم "أمبوريا"، وصارت جزءاً من أملاك قرطاجة، وتتمتع باستقلال داخلي، وبقيت تحت حكمهم إلى أوائل القرن الثاني قبل الميلاد (باقر، 1973).

كانت لبدة من بين أكبر المدن وأوسعها عمراناً في العصر البونوني والفينيقي فالروماني وبصورة خاصة في عهد الأباطرة من سفيروس (193 - 225م) الذين ينحدرون من أسرة عريقة من مدينة لبدة نفسها، وقد أستطاع الفينيقيون أن يؤسسوا لهم مراكز تجارية على طول الساحل الأفريقي الشمالي، ويرجح بعض علماء الآثار أن تأسيس لبدة قد تم بعد أن أسس القرطاجيون عاصمتهم (في ضواحي مدينة تونس العاصمة)، وذلك سنة 814 ق.م، وفي رواية أخرى أن تاريخ تأسيس مدينة لبدة يعود إلى القرن السادس ق.م، فقد عثر فيها على الحفريات التي قامت بها جامعة بنسلفانيا سنة 1961 على قطع فخارية بالقرب من ميدان المدينة ترجع إلى ذلك العهد، وفي الفترة التي كانت فيها خاضعة للسلطة القرطاجنية، صمدت المدينة في وجه نوميديا الأفريقيية حتى أنها استمرت قائمة بعد خراب قرطاجنة الذي تم على يد الرومان

عام 146ق.م، ثم انضوت تحت حكم المملكة النوميدية بصفة استقلالية (بافر، 1973).

أهم آثار هذه المدينة هي حمامات هادريان، وقوس سبتموس سفيروس، وقوس تراجان، والفورم القديم، والبازيلكا، وبعضاً المعابد المختلفة، والسوق البونيقى، والمسرح، والامفلياتير وغيرها. كانت لبدة في بادي أمرها مركزاً تجارياً أيام الفينيقيون في أبحارهم من سواحل سوريا إلى سواحل البحر الأبيض المتوسط للتجارة مع إسبانيا وذلك حوالي القرن 12ق.م، واستخدمت من قبلهم كمحطة تجارية أو ميناء مؤقت لإرسال السفن وتبادل البضائع المختلفة (بافر، 1973).

1. 2 موقع الدراسة

تقع مدينة لبدة الآثرة على ساحل البحر الأبيض المتوسط، على بعد حوالي 3 كيلومترات شرقي مدينة الخمس، عند مصب وادي لبده التي تبعد 120 كم شرق مدينة طرابلس عاصمة ليبيا (شكل 1)، وتتحدد منطقة الدراسة من الشمال بالبحر الأبيض المتوسط وتقع بين دائرتى عرض

$18^{\circ}15'1"E - 18^{\circ}15'23.13"E$ وخطي طول $35^{\circ}55'84"N - 35^{\circ}35'25"N$



شكل 1. 1) موقع منطقة الدراسة .

3.1 الهدف من البحث

يهدف البحث إلى التعرف على الملوثات الغازية (مكوناتها، ونسبها، ومعدل انتشارها بمدينة لبدة الأثرية) الناتجة من محطة كهرباء الخمس الواقعة بجوار مدينة لبدة الأثرية، ودراسة بعض مظاهر التلف التي تعرضت وتتعرض لها أحجار المدينة نتيجة لتأثير هذه الملوثات، علاوة على فهم ميكانيكيات التلف المختلفة المؤدية لهذه المظاهر.

4.1 الدراسات السابقة

لقد تم الاطلاع على العديد من الدراسات العلمية التي تعرضت لتأثير العوامل الخارجية على الصخور والمباني الأثرية، وخاصة الملوثات الغازية منها، ففي دراسة Torfs and Grieker, (1997) حول تأثير التركيزات المختلفة من ثاني أكسيد الكبريت على الحجر الجيري، حيث قام فيها بتعریض عينات مختلفة السمك من الحجر الجيري، لمياه الجريان السطحي لمدة 5 شهور، فوجد متوسط تركيز أكسيد الكبريت في مياه الجريان السطحي من SO_2 (23 ppb) ومنها ثبت إن عمليات الغسيل أثرت في هذه الأحجار. ودرس Yerrapragada et al (1996) تأثير تركيز NO_2 10 ppm من SO_2 على الحجر الكلسي والتعرض أما جاف أو الرطب في ولاية لوينزفيلي، ووجد أن سمك القشور الجبسية الناتجة من التعرض لـ SO_2 بعد سنة هي $1.9 \mu m$ ، ووجد أيضاً إن سطح النحت الناتج من الأمطار Delalieux et al (1997) بالدراسة على قوالب الرخام، حيث عُرضت لمدة 8 أيام للضباب، وبعد ثلاث قياسات لتركيزات الملوثات الأساسية عليها قدر SO_2 (7 ppb)، وأكسيد النيتروجين 131 μm^4 ، والأجزاء العالقة (الجسيمات) كما إن كل عينات الجبس التأثير يكون ملحوظ عليها في البيئة الملوثة الناتجة من الضباب المائي أكبر من مياه الأمطار الملوثة، ودرس Zappia et al

(1998) بعض العينات في البيئة الأوروبية منها الرخام والحجر الجيري، وتمت الدراسة على كل من الآثار ذات الرسوم، والتي لا يوجد بها رسوم، وفسر ميكانيكية التلف الأولى هو السلفنة SO_2 حيث يكون تأثيرها أكبر على صخور الرخام mortars من الصخور الأخرى، نتيجة الخشونة العالية للصخر، ووجد أن نواتج التلف والتحطيم تكون أعلى في الرسوم المحجوبة عن الأمطار، وبذلك يكون التعرض الجاف للملوثات أكثر ضرراً على الرسوم والزخارف الأثرية.

وفي دراسة Boke (1999) الذي قام بتعريف مطحون كربونات الكالسيوم لـ (10 ppm) و 90% رطوبة نسبية، لمدة 24 يوم، أن الجسيمات (المواد العالقة) المحمولة في الهواء تزيد من معدل السلفنة بنسبة 20%. وقام al Sabbioni et al (2001) بدراسة على صخور الرخام وذلك بأخذ عينات أثرية من أماكن مختلفة من المواقع الأثرية في أوروبا. ووجد إن زيادة تركيز الملوثات بالنسبة للمباني تهدد عمر المبنى، ووجد أن تكوين الجبس هي الميكانيكية الأولية للهدم وتليها تفاعل ما بين الجبس والكالسيوم المونيوم هيدريد. وفي دراسة أخرى نفس الباحث في (2002) على صخور الرخام لتأكيد نتائج بحثه الأول (2001) حيث اخذ عينات ووجد أن الجبس هو الناتج الأولى للهدم والتلف في جميع العينات وان الخطوة الثانية تفاعل الجبس مع الكالسيوم المونيوم هيدريد ويكون (كبريتات غير ذائبة) ووجد الكبريت في مكونات الهدم كما انه بين أن SO_2 هو اكبر واعنف ملوث في عملية الهدم تجاه صخور الرخام. ودراس Marinoni et al (2003) تأثير ملوثات الهواء على الخرسانات، حيث تم جمع عيناته من داخل نفق سكك حديدية في إيطاليا وكان هذا النفق محاط ببيوت مع وجود كثافة لوسائل المواصلات والتي تؤدي إلى زيادة معدلات SO_2 ، وفي سنة 1970 كان تركيز SO_2 (ppb11)، وسنة 2002 كان تركيزه (132ppb) وكانت تركيزات اكسيد النيتروجين ثابتة تقريباً CO_2 , NO_x , (52ppb) بالنسبة للفترة المأخوذة ، ووجد أن خليط الملوثات من (الجسيمات

(SO₂) تسبب في تكوين القشور على هيئة شجرية على الخرسانة، كما وجد إن نسبة النيترات موجودة بنسبة كبيرة في القشور الجبسية وجسيمات الدخان الأسود توجد بنسبة كبيرة، وبذلك تقل جودة المواد لأن المواد المتداخلة تسبب التحطّم التدريجي للخرسانة، والصخور الرملية والجيرية. كما اخذ Mar et al (2014) عينات من ميناء أثري، ومن أسفل الأسطح والمكونات الأصلية (على الترتيب) لتعيين مقدار التلف والتحطم، حيث وجد مكونات الانحلال الرئيسية على السطح بها مركبات النيترات تم تحديدها بشكل واضح، والعينات ذات القشور السوداء بها الجبس وحبّيات الهباب الأسود، بينما عينات الحجر الرملي تأثرت بشكل كبير وتحطّمت عن الحجر الجيري نتيجة خشونتها العالية. وفي إطار المشروع الأوروبي قام et al Tzanis (2011)، بتقييم عينات من المعادن والزجاج، والمواد الحجرية عند تعرضها لتلوث الهواء في المحطة التي تم تثبيتها لهذا الغرض على سقف مبني وعلى إرتفاعات مختلفة يقع في وسط أثينا، والغرض الرئيسي من إجراء المشروع تحديد التآكل وأثار تلوث الهواء على المواد المختلفة، حيث كانت مجموعة من العينات محمية من المطر وجزئياً من الرياح ، ومجموعة أخرى غير محمية، ولتحديد هذه الآثار، تم إجراء التحليل الكيميائي للعينات، والتغيير في الوزن، والسمك حيث كانت النتائج التي تم الحصول عليها بعد مناقشتها ومحاولة تفسيرها تشير إلى حدوث تغيرات وبنسب مختلفة على هذه المواد. ويوضح بحث يعرض نتائج دراسة كيميائية لقشور سوداء وجدت على الصخور، قام به Donatella et al في سنة (2014) على الآثار في ثلاث مدن إيطالية، درست بتقنيات المجهر الضوئي، والمجهر المسع الضوئي الإلكتروني بالإضافة إلى الأشعة السينية، والطيفية والأشعة تحت الحمراء، إلى جانب الاستئصال بالليزر، والطيف الكثلي، لتحديد تركيزات المعادن الثقيلة. ولوحظ تلوث الأجسام بالمعادن الثقيلة، وخاصة الرصاص والزنك في المدينة الكبيرة والصناعية، مما يعكس تلوث الهواء الحاد جدا، كما

أظهرت النتائج للمدن الثلاثة أن التلوث يتأثر بعوامل كثيرة مختلفة منها مصادر التلوث البشرية، ارتفاع أخذ العينات، ومدة التعرض، وشكل سطح الترسيب. ووضح (ابوعربية وآخرون ، 2004ب) نسب تأثير أنواع التجوية المختلفة على صخور مدينة لبدة الاثرية، ووجد أن أهم أربعة أنواع تجوية مؤثرة على صخور تكوين سidi الصيد هي العامل الحياني والتكرbin والتغيير الحراري والتقرش، وتأثير التجوية على صخور تكوين الخمس في مناطق مختلفة من المدينة، والتي من حيث عددها وأنواعها ضعفين ونصف الضعف من مؤثرات تكوين سidi الصيد، إذ يدخل بها بالإضافة إلى أنواع التجوية السابقة كلًّ من التأكسد والتحلل بالماء، والتشبع بالماء، والنمو البلوري، والعامل النباتي، ويبين تأثير تكوين فرقارش بعوامل التجوية المختلفة ، والتي منها يظهر أنه متاثر بنفس عوامل تكوين الخمس إلا أنه يختلف معه من حيث ترتيب المؤثرات، وهذا عائد إلى طبيعة التكوين الصخري له، حيث وجد أن أعلى النسب ترجع لعملية التكرbin ثم تليها عملية العامل الحياني وتعقبها عملية التحلل المائي، ويبين تأثير التجوية على الصخور المتحولة، وبالمقارنة على مجمل أنواع المؤثرات على الصخور الروسوبية السابقة نجد أن هناك فارق كبير في نسبة عوامل التجوية ، عاكساً لطبيعة كل نوع من الأنواع الصخور السابقة، ثم الموضع التي بها هذه الصخور، حيث أن أغلب الصخور المتحولة هي في أماكن موجهة للتنيارات، ومفتوحة وسطحها المعرض للتجوية أكبر من الكتل الروسوبية، ولذلك فإن دور التجوية بها إلى حدٍ ما يعتبر كبيراً، وأن أكبر نسبة يرجع لعمليات التأكسد، وعملية التقرش وعملية التكرbin، ثم عملية التشبع بالماء والتغيير الحراري، وأقلها عملية التحلل المائي وعملية النمو البلوري (ابوعربية وآخرون ، 2004).

من خلال بعض البحوث التي تم استعراضها، نلاحظ أن هناك تعرض لعمليات التلوث والتلف لبعض الأحجار المستخدمة لاغراض البناء والزينة والتكسية الخارجية، والمدن الاثرية هي جزء

من هذه المبني وتتعرض بشدة لهذه العوامل، خاصة أنها تتعرض للملوثات والتلف لفترات أطول من غيرها من المبني، ولهذا لابد من دراستها للعمل على تقليل مثل هذه الإضرار بأكبر قدر ممكن.

1. 5 تلوث الهواء

يُعرف تلوث الهواء بأنه تعرض الغلاف الجوي لمواد كيميائية، أو جسيمات مادية، أو مركبات بيولوجية تسبب تغير من خواصه الطبيعية، قد تكون طبيعية أو ناتجة عن نشاط الإنسان، وبذلك تسبب الضرر والأذى للإنسان والكائنات الحية الأخرى، أو تؤدي إلى الإضرار بالبيئة الطبيعية، إن اهتمام الإنسان بتلوث الهواء يعتبر حديثاً نسبياً، حيث بدأ بعد انطلاق الثورة الصناعية وزيادة عدد الوفيات الناتجة عنه، ومن هنا أزداد الاهتمام العالمي للحد من تلوث الهواء، لتجنب الكوارث التي أصابت بعض المدن، والتي منها كارثة تلوث الهواء في لندن سنة 1952، حيث كانت معظم مدن إنجلترا مغطاة بالضباب لمدة خمسة أيام، وأدت إلى حالة من التحول الحراري غير العادي المصحوب بانخفاض شديد في درجة الحرارة، مما سمح بترابع دخان المنزل والمصانع فوق المدينة، مكوناً طبقة سميكة من الضباب الدخاني، تسبب في إغلاق المطارات وتوقف وسائل النقل الشبه تام تقريباً، وصاحب هذه الظاهرة انتشار أمراض الجهاز التنفسي والقلب، وزيادة ملحوظة في معدل الوفيات، (إسلام ،2001). وتصنف الملوثات إلى ملوثات أولية وهي المواد التي تصدر بشكل مباشر من إحدى العمليات، مثل الرماد المتاثر من ثورة أحد البراكين، أو غاز أول أكسيد الكربون المنبعث من عوادم السيارات، أو ثاني أكسيد الكربون المنبعث من مداخن المصانع، والملوثات الثانوية وهي المواد التي لا تبعث في الهواء بشكل مباشر، وإنما تكون نتيجة لتفاعل الملوثات الأولية مع بعضها البعض، ومن الأمثلة المهمة على ذلك ما يحدث بطبقة الأوزون بالقرب من سطح، وبعض الملوثات قد تكون أولية وثانوية

في الوقت نفسه، أي أنها تتبع في الهواء بشكل مباشر وتكون ناتجة أيضاً عن بعض الملوثات الأولية الأخرى. وللحفاظ على الهواء نقىًّا، وخفض الأضرار الناجمة عن تلوثه وتدور البيئة المحيطة بالإنسان، وضعت قيم حدية لتقدير جودة الهواء في محيط الإنسان والبيئة، تستخدم كمرجع قياسي في الحكم على مستوى تلوث الهواء (إسلام، 2001).

١. ٥. ١ مصادر تلوث الهواء:

هناك العديد من المصادر التي تؤدي إلى تلوث الهواء ذكر منها:

١. ٥. ١. ١ مصادر التلوث بأكسيد النيتروجين

يُطلق على المركبات الغازية الناتجة عن إتحاد الأكسجين والنيتروجين إسم أكسيد النيتروجين، وتشمل غاز ثاني أكسيد النيتروجين (NO_2)، وغاز أول أكسيد النيتروجين (NO)، وت تكون هذه الأكسيد تحت درجات حرارة عالية في محركات الاحتراق الداخلي، تساهم الأنشطة البيولوجية الطبيعية في النسبة الأكبر لإبعاث أكسيد النيتروجين، حيث قدر أنتاجها حوالي 50×10^7 طن من أكسيد النيتروجين سنوياً في عام 1970م، بينما يقدر أنتاج المصادر الصناعية 5×10^7 طن من أكسيد النيتروجين (Robinson and Robbins, 1970)، ومساهمة وسائل النقل في إبعاث أكسيد النيتروجين تبلغ 8 ملايين طن في عام 1972م، إلا أن 87% من هذه الكمية ناتجة عن محركات عربات النقل (Wolforum, 1972)، وهذه الكمية برغم من أنها قليلها ولكنها خطيرة جداً لتركيزها داخل التجمعات البشرية، وتبلغ نسبته المنبعثة من مصادر صناعية ثابتة مثل الأفران الصناعية 30%， أما 70% فتنسب إلى محطات توليد الطاقة الكهربائية (Raczynski and Watson, 1999). وهي غازات سامة تؤدي إلى الموت إذا وصلت نسبتها في الهواء خلال نصف ساعة إلى 0.07%， وتساهم مع المركبات الهيدروكربونية في تكوين العيوب السوداء في سماء بعض المدن (حاتوخ وبودية، 1996).

١.٥.٢ مصادر التلوث بأكسيد الكبريت

هناك العديد من أكسيد الكبريت الملوثة للغلاف الجوي، إلا أن أهمها على الإطلاق وأكثرها إنتشاراً في الغلاف الجوي هو غاز ثاني أكسيد الكبريت (SO_2)، وهو غاز عديم اللون ذو رائحة قوية، وينجم عن حرق الوقود الأحفوري (الفحم والنفط)، وعن إنصهار الخامات المعدنية التي تحتوي على الكبريت، ويعتبر هذا الغاز من أشد ملوثات الهواء خطورة على النظام البيئي، بما فيه كل من الإنسان والحيوان والنبات على حد سواء، والمسبب الرئيسي للمطر الحامضي. تساهم المصادر الطبيعية بحوالي 66% من كمية الكبريت الداخلة إلى الهواء الجوي وخصوصاً في صورة كبريتيد، إلا أنه ينتشر بشكل منتظم على مساحات الكرة الأرضية، بينما النشاطات البشرية تساهم بـ 33% من كمية الكبريت، وتزداد سنوياً بسبب عمليات التطور البشري، وارتفاع الطلب على الطاقة، وزيادة تعدين الخامات المعدنية، والتي أغلبها في صورة كبريتيدات، وقد أشار (الصطوف، 1995) إلى أن كمية ثاني أكسيد الكبريت المنبعثة في أوروبا عام 1965 كانت 150 مليون طن، وتتمكن خطورة المصادر البشرية لإنبعاث ثاني أكسيد الكبريت في تمركزه في الأماكن والمناطق الآهلة بالسكان.

١.٥.٣ تأثيرات تلوث الهواء على مواد البناء

لا تقتصر آثار تلوث الهواء على الكائنات الحية من إنسان وحيوان وطيور وأسماك ، وإنما تمتد هذه التأثيرات أيضاً إلى المبني والآثار والمنشآت، إذ تقلل من عمر المبني وتزيد في معدلات تأكلها كما أنها ترفع من تكلفة صيانتها.

١.٥.٢.١ التأثير على الصخور

تأثير التلوث على صخور بناء المدينة يتمثل في تآكل الصخور الجيرية والرخام بالدرجة الأولى، وبنسبة قليلة في الأنواع الأخرى من الصخور، ويحدث التآكل تحت تأثير الغازات الحمضية مثل ثاني أكسيد الكبريت، إذ يتفاعل ثاني أكسيد الكبريت والماء في الهواء مع الصخور الجيرية (CaCO_3)، لتكوين الجبس (كبريتات الكالسيوم المائية $(\text{CaSO}_4 \cdot 2\text{H}_2\text{O})$)، والانهيدرايت (كبريتات الكالسيوم (CaSO_4))، وهذه الكبريتات تتحور في الماء مما تسبب في تآكل كتل البناء والمونة المستخدمة في تماسك كتل البناء، وتستطيع كبريتات الكالسيوم أن تخلل مسامات الصخور الجيرية، وتتبلور من جديد وتمدد لتسبب مزيداً من التآكل وتُضعف الصخور، ويتحول ثاني أكسيد الكربون في وجود الرطوبة إلى حمض كربوني، والذي بدوره يحول الصخور الجيرية إلى بيكربونات، والتي تذوب في الماء، وتتجروف بفعل الأمطار، وهذه العمليات الكيميائية تتسبب أيضاً في تآكل التمايل والأعمدة الرخامية (Tian et al, 1999).

من المعلوم أن الطوب لا يتآثر بثاني أكسيد الكبريت، ومع ذلك، فإن المواد الرابطة في الطوب التي تكون من الرمل وكربونات وهيدروكسيد الكالسيوم، وهذه المواد يمكن أن تتفتت بفعل الملوثات الحمضية (Ukberg, 1990; Lipfert, 1987)، وبشكل عام فإن مواد الربط الكربوناتية من المحتمل أن تكون أكثر عرضة لاختراق من الحجر الرملي، والإسمنت البورتلاند هو مادة فلوية، وبالتالي فهو عادةً ما يكون عرضة للتأثر بالملوثات الحامضية، وتشمل الآثار المحتملة والملموسة ثلون وتآكل السطح، وتعزيز تآكل أسياخ الحديد الصلب الداخلية في تكوين الخرسانة، ومع ذلك بالنسبة لجميع هذه الآثار (باستثناء تآكل السطح) تُعد الأضرار الأكثر إحتمالاً أن يحدث إحلال لأيونات الكلوريد محل الكربونات، بدلاً من التفاعل مع الملوثات مثل ثاني أكسيد الكبريت، ويُعد تآكل حديد التسلیح العامل الرئيسي في التأثير على

الخرسانة، وذلك إذا كانت طبقة الخرسانة التي تغطي الفولاذ غير سميكه بما فيه الكفاية، والملوثات الحمضية تؤثر فقط على السطح وتأكل السطح لا يؤثر على السلامة الهيكلية وبالتالي ليس له تأثير على م坦ة الخرسانة، ومع ذلك في بعض الأحيان أدى التلوث بثاني أكسيد الكبريت بالفعل إلى تآكل كربونات الكالسيوم الصلبة، مؤدية إلى الزيادة والتتوسيع في الشقوق (Webster and Kukacka, 1986)، ويمكن مشاهدة ذلك في كثير من العواصم والمدن التي تعرضت إلى تلوث الهواء، ففي لندن على سبيل المثال لوحظ نقتت بعض أحجار برج لندن، وكنيسة "وستمنستر آبي" (Webster and Kukacka, 1986)، كما يشاهد ذلك بشكل واضح في كنيسة "استنبول" حيث بلغ عمق التآكل في بعض أحجارها الجيرية نحو 0.025 م إـي بوصة كاملة، نتيجة التفاعل بين هذه الأحجار وبين غاز ثاني أكسيد الكبريت وحمض الكبريتيك المحمل بهما المطر والرطوبة الجوية، هذا ويظهر تآكل الآثار والمباني التاريخية في أوروبا، من الأكروبول إلى القصر الملكي في أمستردام، ومباني العصور الوسطى، والمباني التذكارية في "كراكاو" ببولندا، وتماثيل مدينة سانت بطرس بورغ أن التلوث قد تسبب في أضرار كبيرة للعديد من الآثار، حيث تحولت التماثيل النصفية الكلاسيكية التي نحتت من الرخام إلى أشكال متنافرة بلا آذان ولا أنوف شكل(1. 2).

كما لوحظ أن التلوث الناجم عن التساقط الكثيف للكبريت تسبب في تكوين طبقة من الحجر المتعفن سمكه 0.1 م (إـي أربع بوصات)، فوق الجدران الخارجية لكاتدرائية "دورهام" الشهيرة(Boden, 1989) . وقد قام خبراء البيئة اليونانيون وبجهود كبيرة من أجل إنقاذ معبد "الأكروبوليس"، الذي يقع على هضبة عالية وسط أثينا، بعد أن بدا أن جدرانه تتخلل بسبب ارتفاع معدلات تلوث البيئة في العاصمة اليونانية. وفي المكسيك أدت الإـمـطـارـ الحـمـضـيـةـ النـاتـجـةـ عن تلوث الهواء المتـسـاقـطـ علىـ شـبـهـ جـزـيرـةـ بوـكـانـواـ، وـعـلـىـ كـثـيرـ منـ مـنـاطـقـ جـنـوبـ المـكـسيـكـ إـلـىـ

تدمير العديد من الآثار التاريخية، مثل الصور الجدارية والأحجار الضخمة المنحوتة، التي خلفها قدامي الهنود الحمر (Tian et al, 1999). وتشير بعض الدراسات الأمريكية، إلى أن تلوث الهواء قد يمنع ناطحات السحاب، والصروح الوطنية التاريخية، أن تعمد كما عمّرت صروح أوروبا طوال تاريخها. إن من بين المباني التي تأثرت بشدة بالتلوث ما يسمى ببهو الاستقلال في فيلادلفيا، وهو



شكل (1.2) تحول التماثيل الرخامية إلى إشكال متنافرة نتيجة التأكل والفتت، (موقع جامعة ميشيغان، على الشبكة العنكبوتية)

البهو الذي تم فيه إعلان الاستقلال، وتمثال الحرية، ونصب واشنطن التذكاري وهو عبارة عن مسلة من الجرانيت مكسوة بالرخام (Ashenden, 1979)، والرخام يتآثر بشدة بملوثات الهواء ذات الطابع الحمضي (أكسيد الكبريت والنیتروجين)، وخاصةً في وجود معدلات عالية من الرطوبة الجوية أو كميات كبيرة من المطر (Boden, 1989).

1.5.2. التأثير على المعادن

أهم العوامل الرئيسية التي تؤثر على معدل صدأ المعادن هي الرطوبة والأمطار ونوع الملوث ودرجة الحرارة، وعليه فإن تلوث الهواء يكون أحد هذه العوامل، فهو يتسبب في صدأ وتآكل المعادن، وتغير خصائصها الميكانيكية والكهربائية، فمثلاً يتسبب أكسيد الكبريت في صدأ طبقة الزنك المستخدمة في جلفنة الحديد والحماية من الصدأ، ويعد الألومنيوم أكثر مواد البناء

مقاومة للتأكل، وبالتالي فإنه يحتفظ بمظهره لسنوات، حتى في ظل الظروف المدارية، وعلى الرغم من مقاومة الألمنيوم للصدأ، إذ تكون سبائك الألمنيوم طبقة سطحية للحد من تمكن الصدأ منها عند تعرضها لثاني أكسيد الكبريت، إلا أن التجارب العملية تشير إلى أن التراكيز العالية من الغاز (في حدود 280 جزء في المليون) تتسبب في صدأ الألومنيوم عند مستويات رطوبة تفوق 70%， وتكون بودرة بيضاء من كبريتات الألومنيوم، كما أن تعرض النحاس في المفاتيح الكهربائية لكبريتيد الهيدروجين يزيد من مقاومتها الكهربائية مما يؤدي إلى فقد في الطاقة الكهربائية أثناء إنتقالها عبر الأسلاك النحاسية (Boden, 1989). تأكل الطبقة الخارجية للمعادن عموماً يعتبر عملية كهروكيميائية تحدث فقط عندما يكون السطح رطب، ويتم تحديد معدل تآكل المعادن عن طريق تفاعلاتها، وأهمها هي الرطوبة والأمطار ودرجة الحرارة ومستويات الملوثات في الغلاف الجوي، ويسبب غاز ثاني أكسيد الكبريت معظم الضرر على المعادن، والكلوريدات أيضاً تلعب دوراً هاماً في عملية التآكل بينما لم يتم تأكيد دور أكسيد النيتروجين في تآكل المعادن (Kucera, 1994).

1. 5 . 2 . 3 التأثير على الدهانات

الدهانات هي مزيج معقد من البوليمرات والمواد الملونة وغيرها من المواد المضافة ويمكن أن يحدث تلف للطلاء والمواد البوليمرية من ترسب المواد الحمضية عليها ومن المؤكسدات الكيميائية الضوئية، وتشمل الآثار المحتملة فقدان اللمعان وتآكل الأسطح البوليمرية، وفقدان التصاق الطلاء والتفاعل مع الأصباغ الحساسة ومواد الحشو مثل كربونات الكالسيوم، مسببة التقصف والتكسير وخاصة في المواد المرنة، ويتركز التأثير المباشر للملوثات الحمضية على الأصباغ، والخشو الموجود في الطلاء يمكن في تسريع تآكلها ويكون الأثر الأكبر لغاز ثاني أكسيد الكبريت على مواد الحشو في الدهانات كربونات الكالسيوم، بينما أكسيد النيتروجين ليس لها سوى تأثير بسيط على الدهانات (Spence, 1975; Haynie and Spence, 1984).

1.5.3 انتشار الملوثات في البيئة

1.5.3.1 العوامل المؤثرة في إنتشار الملوثات في الهواء

بعد انطلاق المواد الملوثة من مصدرها إلى الهواء تبدأ بمرحلة الانتقال و التشتت و التي تكون بالاتجاهين الأفقي و العمودي، وتتوقف سرعة وكمية إنتشار الملوثات على سرعة الوسط الناقل لها، وعند اختفاء الرياح و سكون الهواء يكون التشتت بطئاً لكونه يحدث بسبب الإنتشار فقط إما الرياح فتقوم بنقل المواد الملوثة و باتجاه حركتها و بسرعة تتناسب و سرعتها . هذه الحركة للمواد الملوثة ضرورية اذ لو لاها لتركت في مناطق محصورة، و تكون نتيجة التلوث الحاد ظهور مشاكله عديدة . تلعب درجة حرارة الغلاف الجوي دوراً مهماً في انتقال المواد الملوثة خصوصاً عند حدوث الانكاس و الذي يؤدي إلى انعدام التيارات الهوائية العمودية و بالتالي إلى الإنتشار أبطأ للمواد الملوثة اي ارتفاع تركيزها (إسلام، 2001م) .

ويعتمد نمط انتشار الدخان على نمط تغيير درجة حرارة الغلاف الجوي العمودي و على هذا الأساس يمكن حدوث ستة أنواع من الإنتشار وهي:

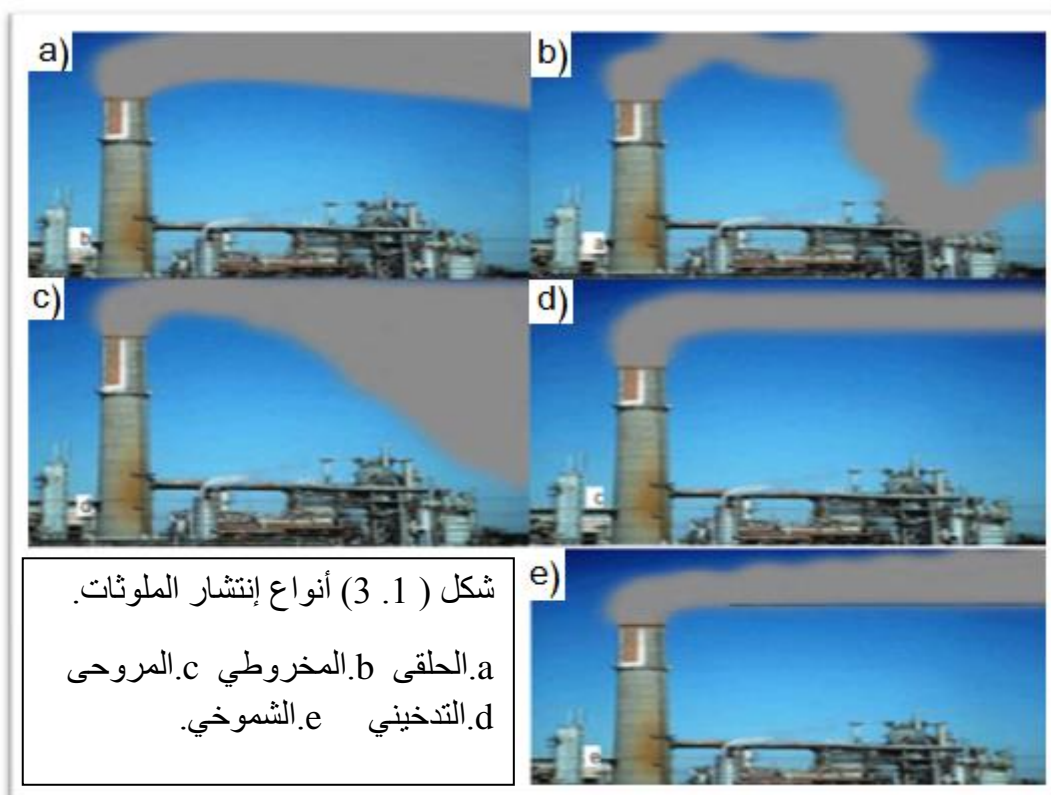
1- الإنتشار الحلي : يحدث عندما يكون معدل هبوط درجة حرارة الجو من النوع الأدبيات وفي هذه الحالة يكون الهواء شديد الاضطراب في حركته الاضطراب الناتج من الحرارة العالية يسبب تكون كتل هوائية مضطربة كبيرة الحجم و التي تساعد في تشتت الدخان بسرعة و هذا يؤدي إلى إيصاله إلى سطح الأرض بسرعة شكل (1a).

2-الإنتشار المخروطي : و يحدث عندما يكون معدل هبوط درجة حرارة الغلاف الجوي من النوع الأدبيات (حالة من الضغط) أو تحته، و يكون شكل الدخان بشكل المخروط وينتشر بسرعة أبطأ من الإنتشار الحلي شكل (1b).

3- الانشار المر وهي: يحدث عندما يكون معدل تغيير درجة حرارة الجو موجباً اي تزداد درجة الحرارة عمودياً تحت و فوق المدخنة و يكون الانشار ضعيف جداً و هذه اضعف حالات الانشار لكون الهواء ساكن جداً شكل (3c . 1).

4-الانتشار التدخيني: عندما تبدأ الشمس بتسخين الأرض يسخن الهواء القريب منها مسبباً انكسار الانتكاس المستمر، وإذا استمرت الحالة سيحدث تغيير سالب في درجة الحرارة للطبقة الملامسة للأرض مؤدياً إلى حدوث تيارات هوائية دوامية تقوم بخلط الهواء في هذه الطبقة شكل (3d . 1).

5- انتشار الشموعي: يحدث عندما يكون الانتكاس في منطقة الهواء تحت المدخنة فقط، و هذا يمنع حدوث تيارات الخلط من هذه الطبقة بل تحدث في الطبقات الأعلى، هذه الحالة قد تحدث عند المساء و عندما ينمو الانتكاس الإشعاعي قرب السطح شكل (3e . 1).



6- الانتشار المحبوس : في هذه الحالة يحبس الدخان بين طبقتين فيهما انتكاس ويبقى الطبقة الوسطية بينهما والتي تتخفض فيها درجة حرارة الغلاف الجوي عمودياً ولهذا لا ينتشر عمودياً إلا ضمن المنطقة المحصورة (إسلام، 2001م).

عوامل زيادة التلوث الحاد وتقليل الانتشار:

يحدث التلوث الحاد بسبب تصريف كميات كبيرة من المواد الملوثة إلى الجو، وانحسارها فوق المنطقة المصابة بسبب ظروف جوية معينة (إسلام، 2001م) وأهم هذه الظروف هي :

- 1 - انعدام أو ضعف التيارات الهوائية الأفقية.
- 2 - استقرار الجو الذي يسبب تقلص الحركة العمودية للهواء.
- 3 - وجود الضباب الذي يشجع تكون المواد الملوثة الثانوية، ويعيق وصول ضوء الشمس إلى سطح الأرض لكسر الانتكاس.
- 4 - ارتفاع الضغط الجوي الذي يؤدي إلى حركة عمودية للهواء باتجاه الأرض.
- 5 - غياب الأمطار التي تغسل الهواء.

1.5.3.2 نمذجة إنتشار الملوثات في الهواء

إن نمذجة تلوث الهواء هو أداة رقمية تستخدم لوصف العلاقة السببية بين الإنبعاثات والأرصاد الجوية والتركيزات في الغلاف الجوي والترسيب وعوامل أخرى، ومن المعلوم أن قياسات تلوث الهواء تعطي المعلومات الكمية حول التركيزات والترسيب على المحيط، ولكنها تصف فقط نوعية الهواء في موقع وأوقات محددة، دون إعطاء توجيهات واضحة بشأن تحديد أسباب مشكلة نوعية الهواء، بينما نمذجة تلوث الهواء يمكن أن تُعطي وصف أكثر إكمالاً لمشكلة نوعية الهواء بما في ذلك تحليل العوامل والأسباب، (مصادر الإنبعاثات وعمليات

الأرصاد الجوية، والتغيرات الفيزيائية والكيميائية)، وبعض التوجيهات بشأن تنفيذ تدابير التخفيف، وتلعب نماذج تلوث الهواء دوراً هاماً في المجالات العلمية المختلفة، وذلك بسبب قدرتها على تقييم الأهمية النسبية للعمليات ذات الصلة، وتعتبر نماذج تلوث الهواء الطريقة الوحيدة التي تقيس العلاقة الحتمية بين الإنبعاثات والتركيزات وترسيبها أو تمواضعها، بما في ذلك النتائج المترتبة عليها في الماضي والمستقبل وسيناريوهاتها (تصوراتها) المختلفة وتحديد فعالية إستراتيجيات التخفيف، وهذا يجعل نماذج تلوث الهواء عملية لا غنى عنها في العديد من المجالات، مثل تطبيقات المراقبة والمعايرة والبحوث والطلب الشرعي وغيرها، ويتم تحديد تركيزات المواد في الغلاف الجوي عن طريق وسائل إنتقال الملوثات، وإنشارها، والتغيرات الكيميائية، والترسيب على الأرض، وقد تم قياس سرعة عملية الإنثال في السوائل وذرست على فترات طويلة منذ القدم، فعلى سبيل المثال متوسط سرعة الرياح تمت دراسته منذ قرون وذلك في استخدامه لأغراض الإبحار، بينما دراسة إنشارها (حركة مضطربة) هو أكثر حداثة وتُعد من بين أول المقالات التي تذكر الإضطراب في الغلاف الجوي، وهي تلك التي ذكرها تايلور في مطلع القرن الماضي، (Taylor, 1921 and Taylor, 1915).

1. 5. 3. 2. 1 نموذج جاوس لإنشار الملوثات

أحد التحديات الأولى في تاريخ نماذج تلوث الهواء كان فهم خصائص إنشار أعمدة الدخان المنبعثة من المداخن الصناعية الكبيرة (Bosanquet, 1936) ولهذا الغرض تم تطوير نموذج بسيط (هو نموذج جاوس Gaussian Plume Model) وكان هذا النموذج يستخدم بشكل أساسي للحصول على حساب الحد الأقصى لتأثير مستوى سطح الأرض على أعمدة الدخان وأبعد مسافة من المصدر يمكن أن تتأثر بها الدخان، ونموذج جاوس تمت صياغته بناء على دراسات تطبيقية لظاهرة الإنشار الأفقي والرأسي لعمود الدخان، وقياس الانحراف

المعياري للتوزيع المكاني للتراكيز في عمود الدخان (Boubel, 1994)، كما قدمت تجارب الهندسة الوصفية لعمود الدخان وتأثير الإنحراف المعياري على توزيع التراكيز في كلاً من الإتجاهين العمودي والأفقي، بوصفها مرتبطة بحالة الإستقرار في الغلاف الجوي وإتجاه الريح والمسافة من المصدر (Boubel, 1994)، ودرجة الإستقرار في الغلاف الجوي هو العامل الذي يميز الوضع المضطرب للغلاف الجوي، ويترافق هذا العامل من مستقر جداً (class F)، مروراً بالطبيعي (class D)، وتصل إلى غير مستقر للغاية (class A).

وفي ستينيات القرن الماضي، توالت الدراسات المتعلقة بتشتت الغازات من نقطة المصدر، وتم توسيع نطاق البحث في هذا المجال حيث أجريت دراسات كبيرة من قبل هوجستروم (Hogstrom, 1964)، وتيرنر (Turner, 1964)، كما تطورت العديد من المعادلات والنمذج الخاصة بأعمدة الدخان وإرتفاعاتها من قبل مور (Moore, 1967)، وإنشر استخدام وتطبيق نموذج جاوس لعمود الدخان على العالم كله، وأصبح النموذج القياسي في كل البلدان الصناعية لحساب الإرتفاع المطلوب للمداخن الصناعية للحصول على تصاريح، كما أشار إلى ذلك بريلاند (Beryland, 1975)، كما تم استخدام وتطبيق نموذج جاوس أيضاً على مصادر الإنبعاث على طول الخط والمصادر المنبعثة من مساحة واسعة، وتدريجياً بدأ إدراك أهمية إرتفاع عمود الخلط والتأثير الكبير للجانبية الأرضية والإرتفاع عن مستوى سطح الأرض على تراكيز الملوثات (Holzworth, 1967 and Deardorff, 1975)، وعليه فقد تم تطوير نموذج جاوس بإدراج عوامل أخرى متعددة على هذا النموذج لتشمل آثار إرتفاع عمود الإختلاط .(Yamartino, 1977)

١.٣.٢.٢ نماذج إنتشار ملوثات الهواء الأخرى

إن إنبعاثات ثاني أكسيد الكبريت وأكسيد النيتروجين من المداخن العالية يمكن أن يؤدي إلى إنخفاض الأُس الهيدروجيني على مسافات كبيرة من المصادر، كما أصبح من الواضح أن الأوزون في الولايات المتحدة كان مشكلة في المناطق الريفية والمناطق الصناعية على حد سواء، وهكذا كان من الواضح من هذه الحالات أنه لا يمكن أن يتمثل بشكل كامل عبر معادلة بسيطة كنموذج جاوس. وبالتالي ظهرت طريقتين للنمذجة المختلفة، هما طريقة لاغرانج Eulerian modeling وطريقة نموذج أولر Lagrangian modeling، وفي طريقة لاغرانج لنمذجة إنتشار الملوثات، وعملية طرد الهواء أو نفحة تتبع على طول المسار، مع إفتراض أنه يحافظ على هويتها خلال مساره، بينما في طريقة أولر للنمذجة يتم تقسيم المنطقة قيد الدراسة إلى شبكة من الخلايا، وذلك في كل الإتجاهات الرأسية والأفقية.

أما طريقة لاغرانج لنمذجة إتجهت في البداية إلى وصف الإنقال بعيد المدى للكبريت، وذلك من خلال الدراسات التي قام بها الياسين (Eliassen and Saltbones, 1975) وفيشر (Fisher, 1975)، وقد بدأ الياسين العمل على نموذج مسار خاص به، الذي أستخدم على مر السنين لحساب تلوث الهواء عبر الحدود للملوثات الحمضية وتراكيزها عبر فترات زمنية مختلفة، والتفاعلات الكيميوبيئية التي تحدث عليها، وكثيراً ما تستخدم طريقة لاغرانج لنمذجة في تغطية فترات طويلة من الوقت تصل إلى سنوات، كما استخدمت طريقة أولر للنمذجة في البداية مع الدراسات التي قام بها

Shir (لأوزون في المناطق الحضرية، والدراسة التي قام بها Reynolds, et, al. 1973)

and Shieh, 1974) على ثاني أكسيد الكبريت في المناطق الحضرية، وكذلك الدراسات التي

قام بها كارمايكل (Carmichael and Peters, 1979) عن الكبريت على مستوى الإقليم، وتوصلت دراسات النمذجة التي قام بها رينولدز على حوض لوس أنجلوس إلى إقتراح النموذج المعروف بنموذج Urban Air shed Model-UAM والذي وضع لمحاكاة التفاعلات الكيميومضوئية وحالياً تستخدم طريقة أولى للنمذجة في محاكاة الإنتشار لمدة زمنية محدودة تستمر لعدة أيام.

وبشكل عام فإن معظم الدراسات بإستخدام نماذج لاغرانج تم تطبيقها في أوروبا وعلى مدى واسع من المسافات ولفترات زمنية أطول، وتركزت هذه الدراسات في المقام الأول على ثاني أكسيد الكبريت، أما نموذج شبكة أولى فقد تم تطبيقه في الغالب في الولايات المتحدة الأمريكية، على الكثير من المناطق الحضرية وتقتصر على الظروف العرضية، وتركز في المقام الأول على الأوزون O_3 حيث استخدمت في دراسة طرق تكونه (Skłarew, 1971)، وظهرت الدراسات في وقت مبكر على كلّ من طريقة أولى وطريقة لاغرانج للنمذجة بواسطة (Friedlander and Seinfeld, 1969) (Liu and Seinfeld, 1974).

٤. ٥ طرق المحاكاة الحاسوبية

ظهرت حديثاً بعض نماذج الكمبيوتر المتخصصة في محاكاة إنتشار الملوثات في الهواء، والتي تعتبر ذات أهمية كبيرة في تطوير عمليات النمذجة، ويتم استخدامها من قبل مجموعة كبيرة من العلماء حول العالم، وبعضها توصي بها وكالة حماية البيئة الأمريكية لمحاكاة إنتشار وتفاعلات المواد الكيميائية كغاز ثاني أكسيد الكبريت وأكسيد النيتروجين وأهم هذه البرامج هي:- - برنامج AERMOD: هو برنامج يحاكي عملية إنتشار الملوثات بفرضية الحالة المستقرة لنموذج جاوس لأعمدة الدخان، فإنه يستخدم حقل فردي للرياح لنقل أنواع المنبعثة (Cimorelli et al., 2005)، وحقل الرياح يُستمد من حركة الهواء السطحية والعلوية

والإرصاد الجوية في الموقع، كما يجمع هذا البرنامج البيانات الجيوفизيكية مثل الارتفاعات والتضاريس وإستخدام الأرضي مع بيانات الإرصاد الجوية لاشتقاق عوامل الطبقة الحدية boundary layer. (Hanna et al., 2007) هذا البرنامج حالياً بكثرة في معظم التطبيقات التنظيمية في الولايات المتحدة.

CALPUFF: يستخدم هذا البرنامج لمحاكاة التشتت في ظروف الهواء غير المستقر وفقاً لطريقة لاغرانج للنمذجة، ويتميز هذا البرنامج الذي يستند على نموذج جاوس بأنه يمكنه القيام بمحاكاة واقعية لنقل المواد في حالات الهدوء (Larkin et al., 2009)، والظروف الراكدة والتضاريس المعقدة والمناطق الساحلية مع نسيم البحر والبر، وينصح بهذا البرنامج للمحاكاة بعيدة المدى في الاتجاهين (المسافة أكثر من 80 كيلومتر) والدراسات التي تتضمن على تقييم التأثيرات المرئية لأعمدة الدخان (Scire et al., 1999).

ISC-PRIME: يعتمد هذا البرنامج على قياس بيانات الإرصاد الجوية ساعةً بساعة، بحيث يمثل الظروف التي تمر بها إبعاثات المصدر (البيانات في موقع محددة)، وبالتالي فإنه يمكن استخدامه بإدخال بيانات الإرصاد الجوية كل ساعة وبشكل متتابع لتقدير التركيزات في المناطق المحيطة، بالإضافة إلى ذلك يمكنه علاج معدلات الإبعاثات الثابتة للمصدر نفسه طوال فترة النمذجة، أو قد تختلف من شهر، لموسم، أو لساعة من اليوم، أو فترة زمنية أخرى، ويمكن تحديد هذه العوامل لمعدل إبعاثات متغير ولمصدر واحد أو لمجموعة من المصادر.

RTDM: يعتمد هذا البرنامج على نموذج جاوس لانتشار الملوثات في الحالة المستقرة وهو مصمم لتقدير تركيزات على مستوى الأرض وعلى شبكة محددة من المستقبلات بالقرب من واحدة أو أكثر في موقع مشترك من مصادر التلوث، بحيث يتم تطبيقه على المناطق الريفية، و توصي وكالة حماية البيئة (2005) بإستخدام هذا البرنامج للمناطق التي تضاريسها وعرة، وبها إرتفاعات تعادل إرتفاع عمود الدخان أو أعلى (Paine and Egan, 1987)، حيث أن هذا البرنامج يُعد متقدماً على البرامج الأخرى في هذا المجال لأنّه يوفر تركيزات في شبكة

من المستقبلات في المناطق الريفية بإستخدام سلسلة زمنية من ساعة إدخال البيانات الخاصة بالإرصاد الجوية، ويتم إحتساب أي آثار للبناء أو الهضاب والمرتفعات على إنتشار الملوثات، كما يمكن للبرنامج تمثيل التغيرات الساعية في انبعاثات المصدر.

- برنامج PUFF-PLUME: هو نموذج يستخدم للمساعدة في التنبؤ حول كيف تتشتت ملوثات الهواء في الغلاف الجوي، ويعتمد على نموذج تشتت جاوس لتوقع إنقال المواد الكيميائية (النويدات) المشعة والترسب الرطب والجاف، وذلك بإدخال بيانات حقيقة عن الإرصاد والتنبؤات الجوية وذلك لتقدير الجرعة المستنشقة من أشعة غاما (أي الإشعاع)، وقد وُضعت لأول مرة من قبل المختبر الوطني شمال غرب المحيط الهادئ the Pacific Northwest National Laboratory (PNNL) في 1970م، وقد أستخدم في البداية من قبل وزارة الطاقة بالولايات المتحدة الأمريكية لاستخدامه في الإستجابة لحالات الطوارئ لإطلاق المواد المشعة إلى الغلاف الجوي، وهي واحدة من مجموعة من الرموز لإطلاقها في الغلاف الجوي.

DISPERSION- محلـي وقد وُضع هذا البرنامج من قبل وحدة أبحاث نوعية الهواء في الإرصاد الجوية السويدية والمعهد الهيدرولوجي Swedish Meteorological and Hydrological Institute وتقع في نورشوبينغ Norrköping ، ويستخدم هذا البرنامج على نطاق واسع في السويد من قبل الوكالات المحلية والإقليمية البيئية، ومختلف المستخدمين الصناعيين وفي الخدمات الإستشارية التي تقدمها SMHI وللأغراض التعليمية.

ADMS- هو برنامج متقدم لحساب تركيزات الملوثات في الغلاف الجوي المنبعثة سواء بإستمرار من مصادر نقطة الخط، وحجم المنطقة أو بشكل متقطع من مصادر النقطة وقد تم تطويره من قبل كامبريدج البيئية للإستشارات البحثية Cambridge Environmental Research Consultants (CERC) في المملكة المتحدة بالتعاون مع مكتب الإرصاد الجوية في المملكة المتحدة وجامعة ساري University of Surrey، وتم الإفراج عن النسخة الأولى من

هذا البرنامج في عام 1993م، والإصدار الثالث في فبراير 1999م، وحالياً يظهر الإصدار الخامس منه سنة 2013م، ويعمل على مايكروسوفت ويندوز، ويتضمن البرنامج خوارزميات تأخذ بعين الاعتبار آثار الإنجراف والمباني المجاورة ضمن مسار سحابة التلوث، وآثار التضاريس المعقدة وتأثير المواقع الساحلية الرطبة، وتسوية الجاذبية والترسيب الجاف، والتقلبات على المدى القصير في تركيز الملوثات، والتفاعلات الكيميائية، والإضمحلال الإشعاعي وأشعة غاما، وذلك عبر وصف إرتفاع عمود التلوث، ولفترات زمنية تتراوح بين قصيرة جداً إلى المعدل السنوي ويشمل النظام أيضاً بالقدرة على معالجة بيانات الإرصاد الجوية المدخلة.

RIMPUFF- هو برنامج لمحاكاة انتشار الملوثات على نطاق محلي وقد وضعه ريسو Risø DTU National Laboratory for DTU، الدنمارك Sustainable Energy، Denmark مع منظمات إدارة الطوارئ الكيميائية، والنشرات النووية والبيولوجية والإشعاعية في الغلاف الجوي وإستخدم هذا البرنامج في عدة مراكز للطوارئ الوطنية الأوروبية للتأهب والتنبؤ بالكوارث النووية العرضية والكوارث الناتجة عن الغازات الكيميائية (أرغوس)، والأمراض المحمولة جواً كانتشار فيروس الحمى القلاعية ويقوم البرنامج بحساب التشتت في الغلاف الجوي لحظياً ويعطي مسافات تصل إلى 1000 كيلومتر من جهة الإصدار مع مراعاة تقلب الرياح المحلية ومستويات الإضطرابات المحلية، وتأثيرها على أوقات النقل من بضع ثوان وتصل إلى اليوم، ويحسب أيضاً التربس الرطب والجاف و مستويات كثافة الأمطار والإضطرابات المحلية.

برنامج DISPER: هو برنامج لتحليل تشتت ملوثات الهواء من إنتاج شركة Canarina Environmental Software الأسبانية في العام 2007م، حيث يقوم البرنامج بحساب تركيز الملوثات في كل نقطة من الهواء لكل مصدر من مصادر الملوثات وظروف الجو وفقاً لنظام محاكاة عمليات التشتت التي لديه، ويتميز هذا البرنامج بأنه نظام سريع وعملي لتقدير تشتت الملوثات في الهواء، وهو برنامج سهل الإستخدام نسبياً كما أن النموذج الرياضي الذي يستخدمه البرنامج يوفر خيارات لنماذج الإنبعاثات الناجمة عن مجموعة واسعة من المصادر التي قد تكون موجودة في المناطق الصناعية والمناطق الحضرية، ويعتمد هذا البرنامج على معادلة جاوس بإفتراض حالة الهواء المستقرة، ويستخدم لتقدير إنتشار الملوثات المنبعثة من المصادر النفطية للمداخن، والطرق وأكوام التخزين والسيور الناقلة، وتصنف مصادر الإنبعاث إلى ثلاثة أنواع أساسية من المصادر (نقطة وخط ومنطقة)، نموذج التشتت يستخدم سجلات بيانات الإرصاد الجوية لتحديد الظروف الملائمة لإرتفاع العمود والنقل ونظرأً لسهولة إستخدامه فإن هذا البرنامج يستخدم في العديد من الجامعات والمنظمات المعنية بتلوث البيئة.

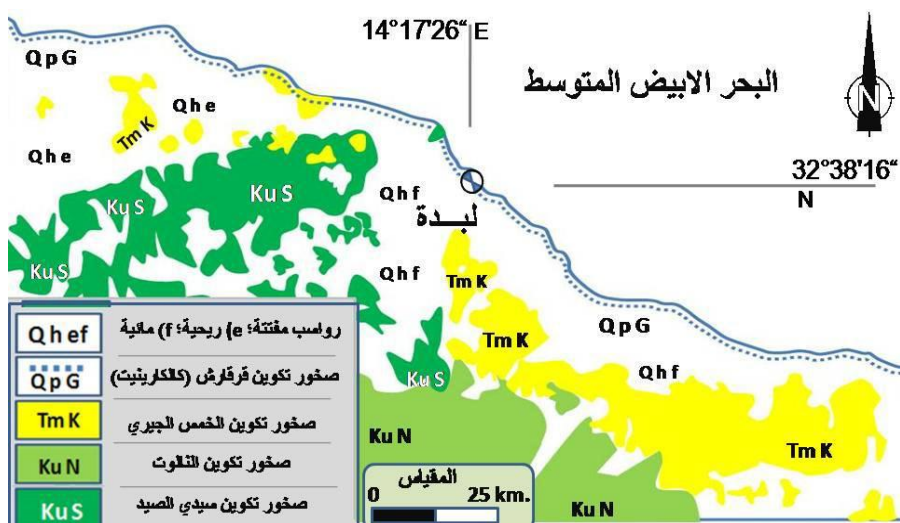
الفصل الثاني

الجزء العملي

2. الجزء العملي

1.2 جيولوجية المنطقة وعلاقتها بمباني المدينة

إن التعرف على جيولوجية المنطقة والتركيب الصخري للكتل الصخرية التي شيدت منها مدينة لبدة، ذو أهمية كبيرة في عمليات الكشف عن الإضرار التي تتعرض لها كالتوجوية والتآكل والتلف، حيث تحيط بالمدينة مكاشف ثلاثة وحدات صخرية، تشكل المكون الأساسي لصخورها، تتموضع من الجنوب الغربي مكاشف صخور الحجر الجيري، والمارل، والحجر الجيري الرملي، والدولومايت (تكوين سيدي الصيد السينومانية)، ومن الجنوب الشرقي تظهر أغلب مكاشف صخور الحجر الجيري، والحجر الجيري العضوي (تكوين الخمس المايوسيني)، والقليل منها يقع إلى الجنوب الغربي (شمال مكاشف تكوين سيدي الصيد)، أما مكاشف صخور الكالكرينيت (تكوين قرقارش البلاستوسيني) فتحدها من الشمال الشرقي والشمال الغربي الشكل (1)، ولقرب هذه المكاشفات من المدينة يحتمل أن تحتوي على محاجر (مقالع) استخدمت كمصادر لكتل الصخرية التي شيدت منها المدينة (Minas et. al.; 2005).



شكل (1.2): الخريطة الجيولوجية لمنطقة مدينة لبدة الأثرية، بعد (Minas et. al.; 2005).

2. الصخور المستخدمة بالمباني الأثرية بمدينة لبدة

بنيت المدينة من كتل صخرية ذات إبعاد محددة ، تم تهيئتها في المقالع، وتميزت مقاومتها لظروف التجوية وجمال مظهرها (Flugel, 2004). تضم المدينة كل أنواع الصخور: النارية، والرسوبية، والمتحولة، وتختلف نسب تواجد هذه الأنواع وفق موقع استغلالها ومقدار مقاومتها لعوامل التجوية التي مرت عليها. وقد شيدت معظم جدرانها وأرضياتها من صخور كاربوناتية (ابوعربية وآخرون ، 2004)،

وفيما يلي شرح موجز لأهم أنواع الصخور بالمدينة:

1- الصخور النارية

تشكل هذه الصخور نسبة بسيطة بالمقارنة مع أنواع الصخور الأخرى في مدينة لبدة، توجد هذه الصخور في أماكن بارزة بالمدينة، حيث نجدها قد استخدمت في الأعمدة، وفي البلاط والواجهات وفي بعض الأدوات المنزلية كالمعاصر والرحي، وتنقسم هذه الصخور إلى:

الصخور الجوفية :

وهي الصخور التي تكونت في الأصل تحت السطح، نتيجة تصلب الصهارة في باطن الأرض، وبسبب الانهضان التدريجي لكل من الضغط والحرارة، منها الجرانيت والجرانوديورايت (الحمضية) والديورايت (المتوسطة). صخور الجرانيت الوردي استخدمت في الأعمدة الداخلية تحديداً في حمامات هادريان (والقائم منها حالياً 14 عمود)، وكذلك في ساحة سيبتيموس سيفروس وفي قاعة المحكمة شكل(2.2)، تمتاز هذه الصخور بلونها الفاتح وقلة المعادن المafية فيها، حيث يظهر سطح بعضها الخارجي محبب نتيجة لتأثير عمليات التجوية عليها التي يصل إلى درجة



شكل (2.2) عمود من الجرانيت يظهر حالة التفسر.

التفسر، إما الجرانوديورايت يغلب عليه اللون الرصاصي، وأهم موقع استخدامها في السوق البوانيقى والبازيلكا، ويكون تأثيره بالعوامل الخارجية أقل نوعاً من غيره من الصخور الحامضة، ويسمى في أعمال البناء بالجرانيت الرمادي، تركيب هذه الصخور كثلي ونسيجها متوسط (1 - 2مم) إلى خشن الحبيبات (3 - 6مم) ماعدا القليل منها له حبيبات من متوسطة إلى صغيرة. صخور الديورايت مستخدمة كأعمدة في مناطق متفرقة من المدينة، ولونها رصاصي إلى مسود تتأثر هذه الأعمدة بشدة بعمليات التجوية والبرى ، بعض هذه الأعمدة ترتفع بها نسبة الكوارتز مما قد يضعها في مجموعة كوارتز ديورايت الذي يمتاز بحباته المتوسطة والتي تتراوح ما بين (2 - 3مم) (ابوعربية وآخرون ، 2004 أ).

الصخور السطحية أو البركانية:

هي تلك الصخور المتصلبة بسرعة على سطح الأرض أو بالقرب من منه، والتي خرجت على هيئة صهير (لافا) من فوهات البراكين والشقوق. استخدمت هذه الصخور بكميات قليلة في مدينة لبدة، حيث كان استخدامها نادرا كمواد بناء في البلاط إنما التركيز الأكبر عليها كان في الرحى والمعاصر والمطاحن، وفي الأسواق كمعدات قياسية، ومن أشهر أنواعها

البازلت والفونولait والتراخايت والتوف والخفاف، حيث كان للبازلت دوراً مهماً في صناعة الأدوات المنزلية، والمطاحن والمعاصر، أما الفونولait والتراخايت استخدم في الأرضيات، خاصة في حمامات هادريان، والتوف والخفاف في بعض مواد البناء.

2- الصخور الرسوبيّة

وهي تلك الصخور التي تكونت من تفتت الصخور السابقة التكوين، وتشكل حوالي 80% من الصخور المستخدمة في بناء مدينة لبدة الأثرية، ومن أهم الصخور الرسوبيّة المشيدة بها المدينة، التي جلبت من ثلاثة وحدات طباقية صخرية وهي:

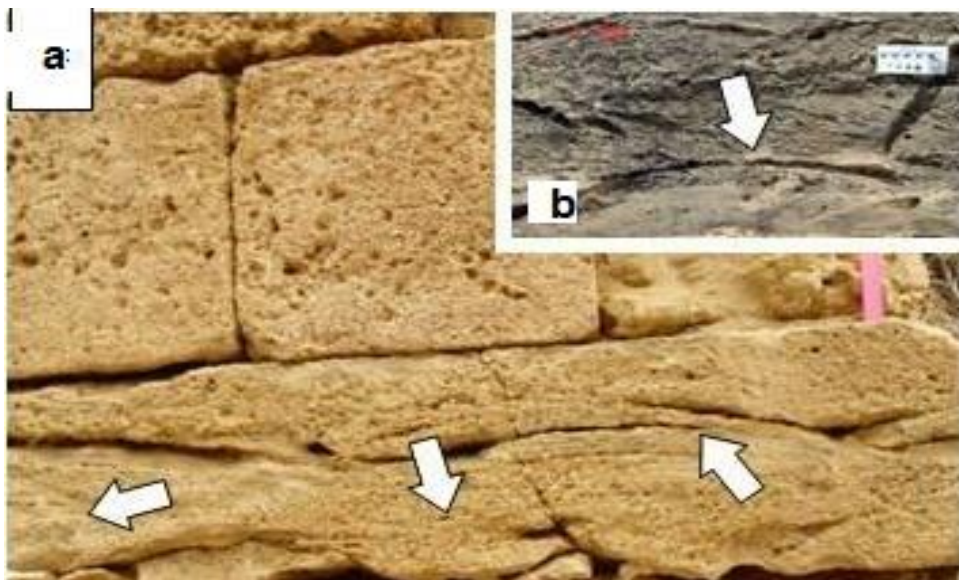
- تكوين الخمس، مصدرها مقلعي (محجري) رأس الحمام(عضو رأس المنوبية) والأخر في وادي غنيمة (عضو النقازة)

- تكوين سيدى الصيد(عضو عين طبي) المتميز بصخور مصدرها المقالع الواقعة قرب ميناء الخمس وفي وديان هجم الحقن و الصياح وقوفاس.

- تكوين قرقارش الجيري الرملي، وتحديداً عضو كروط، الذي يمثل المكون الأساسي لجدران المدينة، جلبت صخوره من مقالع منطقة النقازة وكروط ومن مكاشفة الواقعة قرب الميناء.

ومن الصخور الرسوبيّة المستخدمة في بناء مدينة لبدة الأثرية ما يلي:
الصخور الجيرية الدولوميّة وهي صخور مت Manson وصلبة تتكون من الحجر الجيري الدولوميّ الذي استخدم بشكل واسع في الأرضيات أو في المدرجات، والطرقات لمقاومته العالية للاحتكاك، استخدمت الصخور الجيرية الدولوميّة في بناء الأسوار وتشيد الجدران في حمامات هادريان، و معبد الحوريات ربات المنابع (نوفييميوم) وغيرها، لقد أتضح أن هذه الصخور مصدرها هي مكاشف صخور تكوين سيدى الصيد المنتشرة حول منطقة الخمس(محمد كمال الدين، 1926).

الصخور الجيرية – تتكون من الكالسيت مع نسب قليلة من السليكا والطفل وأكاسيد الحديد والدولومايت. يستخرج الحجر الجيري عادة من المناطق المجاورة للمكان الذي تستخدم فيه كمواد بناء (محمد كمال الدين، 1926)، استخدمت الصخور الجيرية في بناء الأسوار وتشيد الجدران ونادراً ما تكون على شكل أعمدة كما هو الحال في الشارع الطولي والشارع العرضي، وحمامات هادريان وساحة الألعاب الرياضية، ومعبد الحوريات ربات المنابع (نوفيميوم)، ولقد شاع استخدام الحجر الجيري في أراضييات المدينة أبان الفترة الرومانية وتحديداً في المنطقة الجنوبية من المدينة، في حين تحدد انتشاره شمالاً أبان الفترة البيزنطية ويزداد استخدامها في جدرانها شمالاً وجنوباً وغيرها، ويتميز المستخدم منه في مدينة لبدة والمنكشف في المناطق المحيطة بالمدينة باحتواه على تراكيب التوفا وهي حجر جيري مسامي، ومتصلح متكون من الينابيع ومساقط المياه وهذا ما أشار له (Demicco and Hardie, 1994) كما في رأس الحمام الذي يحتوي أيضاً على التطبق المقاطع القبوي والحوضي والشبيه بعظام السمك (شكل 2.3).



يوضح (شكل 2.3) خلال المقطع a صخور جدار من المدينة إما المقطع b مكشف الصخور من رأس الحمام

الصخور المارلية (الأطيان الجيرية) استخدمت الصخور المارلية في بناء بعض الأسوار وتشيد الجدران، في الشارع الطولي والشارع العرضي ، وحمامات هادريان وساحة الألعاب الرياضية ومعبد الحوريات ربات المنابع (نوفييميوم)، حيث كان وجودها بأعداد بسيطة لا تتجاوز بضع قطع في كل مكان ، ولم يكن استخدامها بشكل واضح كما هو في الصخور الجيرية بسبب ضعف تمسكها وقلة مقاومتها للظروف الطبيعية، (والتي ربما لم تسمح بحفظها) وتميز باللون الأخضر المصفر (محمد كمال الدين، 1926).

صخور الجير الرملى (الكالكرينيت) Calcarenite المتماسكة – تمثل أكثر استخدام للكتل الصخرية في المدينة بصخور الرمل الجيري (الكالكرينيت) المجلوب من تكوين قرقارش- عضو قروط كون العضو الثاني والمعروف بكعام ذو طبيعة رخوة ضعيفة الالتحام بخلاف قروط، والسمة المميزة لهذا التكوين هو تركيبه الصخري الذي ليس له نظير في مكافحة صخور المنطقة، والمكون من تفتت وتجمع لأصداف البحرية مختلطة بالرمال بنسب متفاوتة مشتقة بالأصل من صخور جيرية سابقة التكون (Garrison, 2003) تعود لصخور تكويني الخامس وسيدي الصيد. تنتشر هذه الصخور ذات العمر الرباعي على طول الشريط الساحلي المحيط بمدينة لبدة، حيث يختلف في سمك مكافحتها ودرجة تمسكها ومكوناتها الكيميائية من موقع آخر (Minas and Bakush, 2007) يعكس سهولة تفتتها ويحدد من طبيعة موقع استخدامها، تم استخدامها على نطاق واسع في بناء الأسوار وجدران المدينة لدرجة أصبحت المكون الأساسي لجدرانها، سواء كانت هذه المباني بيزنطية أو رومانية، في حمامات هادريان وساحة الألعاب الرياضية وفي الشارع الطولي والعرضي وغيرها، ولم تستخدم في الأرضيات بسبب سهولة تفتتها وتكسرها بمجرد تعرضها للاحتكاك.

3- الصخور المتحولة

ت تكون الصخور المتحولة من الصخور الرسوبيّة أو ناريّة أو المتحولة تعرّضت لضغط وحرارة عاليّتين، تصنّف هذه الصخور نسبة إلى نسيجها إلى صفائحيّة وغير صفائحيّة، تمثّل الصخور الصفائحيّة في عمارة مدينة لبّدة صخور الشّيست المستخدمة في الأعمدة، والصخور الغير صفائحيّة يمثّلها كل من الرخام والكورترات و المستخدم في الأرضيات وأحواض السباحة والأعمدة وغيرها ومن هذه الصخور (ابوعربية وآخرون ، 2004).

الشيست يتميّز هذا الصخر بtorsion شديد واضح للعين المجردة مرتبة في اتجاهات متوازية، يمكن فصل هذه التورقات بسهولة على طول مستوياتها كما هو الحال في لبّدة حيث أدت التجوية إلى انفصال هذه الصفائح في أكثر من عمود عن بعضها البعض، خاصة في تراص معادن المايكَا على هيئة طبقات متوازية ممتدة لمسافات، يفصلها رقائق من الكوارتز الدقيقة، كما في صخور المايكَا شّيست والكوارتز شّيست وغيرها، إن الملاحظ في هذه الأعمدة أنها نحتت بدقة متناهية على طول امتداد الصفائح ويعتقد أن ذلك يعود إلى أن مستخدميها أرادوا من هذا الأمر الجانب الجمالي حيث قصها بهذه الكيفية يبرز جمال تصفحها، الناتج عن تبادل تراص المايكَا مع المعادن الأخرى.

الرخام يختلف عن الشّيست بأنه لا يحتوي على التورق، حيث إن حبيباته لا تتنظم في اتجاه واحد بل تكون في اتجاهات مختلفة، ويكون من تحول الصخور الجبّيرية (الكلسية) بتأثير الضغط والحرارة، إن صخور الرخام لها ألوان مختلفة، وذلك بسبب وجود الشوائب بها وبالتالي تكتسبه ألوانه الجميلة الزاهية، وخاصة بعد الصقل. والرخام المستخدم في المدينة متعدد الألوان منه الأبيض والمختلط بالسود (الجرانيتي) والأسود وغيرها، من حيث التكوين ينقسم إلى الرخام الكثائي والذي يستخدم في البلاط والواجهات، وفي التيجان وقواعد الأعمدة. ويستخدم بكثرة في

أحواض السباحة حيث تسلط بها الأرضيات لخاصيتها الممتازة في انعدام المسامية و يستخدم في بعض الأعمدة، إما الرخام الناصع البياض (الحليبي) يستخدم في صناعة التماثيل، وخاصة في حمامات هادريان، والنوع الآخر هو البريشا التكتونية والذي يستخدم فقط في الأعمدة (ابوعربية وأخرون ، 2004).

والجدول (2.1) يوضح درجة شيوع التراكيب الصخرية المحلية والمستوردة المستخدمة في بناء وتشييد المدينة وفق ما ورد عن (Fitzner et. el., 2002).

2.2 بيانات محطة الكهرباء:

تضم محطة الكهرباء بالخمس محطتي أحدهما بخارية والأخرى غازية، حيث تم الحصول على المعلومات الخاصة بالمحطتين (البخارية والغازية) بالخمس من خلال عدد من الزيارات الميدانية، والمقابلات الشخصية مع مهندسين من العاملين بالمحطة.

1.3.2 محطة كهرباء الخمس البخارية:

تقع المحطة شرق مدينة لبده الأثرية، على بعد 3 كم، على شاطئ البحر شكل (2.4)، وت تكون من أربعة وحدات إنتاجية، كل منها بطاقة 100 ميجاوات، و تعمل هذه المحطة بالوقود التقيل، ودخلت المحطة الخدمة في بداية الثمانينات من القرن الماضي، ويتم تزويدها بالوقود عن طريق البحر بناقلات خاصة للوقود التقيل، وبراً عن طريق صهاريج محمولة على شاحنات، وتتبع الغازات منها عن طريق أربعة مداخن يبلغ ارتفاع كل منها 90 متراً، وبقطر 2.20 متراً، ويصل معدل إنبعاثات الغازات من المحطة إلى 1800 متر مكعب بالساعة، وبدرجات حرارة حوالي 450 °م (درجة حرارة الغازات الناتجة عن الاحتراق)، وبسرعة خروج تقارب 15 m/sec، وتشتمل الإنبعاثات على الغازات التالية: CO_2 - H_2 - NO - SO_2 - $\text{N}_2\text{-O}_2$ ، ويمكن ملاحظة هذه الإنبعاثات الصادرة من المداخن الأربع في بعض الحالات-

بالعين المجردة في الأفق فوق شاطئ البحر ومسافات بعيدة تصل إلى عشرات الكيلومترات من ناحية البحر شكل (2. 5)، يبين أحدى الحالات التي تظهر فيها هذه الإنبعاثات واضحة في الأفق.

جدول(2-1): درجة شيوع التركيب الصخري للصخور المحلية والمستوردة المستخدمة في المباني الصخرية (Fitzner et. el., 2002)

العنوان الموقع الجغرافي (البلد، الإقليم، المنطقة، النهر، النقطة) السنة البيزنطية	صخور جليت من الكاشاف الصخري الروسي المحيطة بالمدينة										الإحداثيات والارتفاعات باستخدام GPS		موقع الدراسة الحالية	أقصى الارتفاع في محلية: الأعلى المستوي في الموقع المحيطة المعدنة			
	درجة شيوع التركيب الصخري										الإحداثيات بنظام الدرجات العشريّة						
	Schist محولة	Marble محولة	Granite نارية	Calcareous الرمل الجيري	Limestone الحجر الجيري	Dolomite والدولومايت	الجران	الآرضيات	الجران	Limestone الجدران	Dolomite الدولومايت	الآرضيات	Latitude (°) Longitude (°)	Decimal degree			
1812							ش			ن		ش	165	14.2891	32.6356	Arch Septimus Severus	1
1936	18									ش			122	14.2921	32.6357	The Palaestra	2
1936	10	10	18				ش		م	ش			125	14.2916	32.6350	The Hadrianic Baths	3
1709	8		5					م	ش				149	14.2929	32.6358	The Nymphaeum	4
1509 بيزنطى	7					ن				ش	ش		162	14.2931	32.6364	A Church	5
1784	28										ش	79	14.2938	32.6365	The Colonnaded street	6	
1709	34		10						ن	ن	ش	ش	59	14.2937	32.6371	The Sevan Forum	7
1509 بيزنطى		4	38						ن	ن	ش	ش	158	14.2942	32.6377	The Sevan Basilica	8
1809		4				م	ش	ش			ن		106	14.2957	32.6391	The Curia	9
1962	10	20				ش		م			م		59	14.2949	32.6392	The Old Forum	10
1709			2							م		ن	76	14.2955	32.6390	The Old Basilica	11
1909 بيزنطى						ش		م	ش	ن	م		66	14.2947	32.6391	The Old Forum Church	12
2017		4		5		ن	ش	ش	ش		ن		36	14.2948	32.6395	Temple of liber pater	13
1809		6			10	م	ش		م				92	14.2951	32.6396	Temple pf Roma and Augstus	14
1509 بيزنطى						م	ش	ش	ش	ن			59	14.2941	32.6386	The Byzantine Gate	15
2017	9	8	40			ش			ن		ش		106	14.2922	32.6382	The Market	16
1973						ش		م	ش		ن		69	14.2921	32.6378	Arch of Tiberius	17
1918						ش		م	ش		م		106	14.2917	32.6376	Arch of Trajan	18
1997						ش		م	ش	ن	م		125	14.2910	32.6374	The Chalcidicum	19
2010	31	13	25			ش		م	ش		ن		106	14.2906	32.6384	The Theatre	20
	4					ش		م	ش		ش		208	14.2962	32.6386	The west Gate	21
	10					م	ش	ش	ش	ن	ش		182	14.2878	32.6370	The Schola and Baths	22
1809	5						م	ش	ش		ن		185	14.2848	32.6400	Arch of marcus Aurelius	23
							ش						46	14.2916	32.6402	Seaward Baths	24
						4	ش		ن				119	14.2861	32.6414	Hunting Baths	25

درجة الشيوع : ش - شائعة ، م - معتدلة، ن - نادرة (حددت على أساس نسبة تواجدها > 66% "ش" ، < 33% "م" ، < 33-66% "ن" ، وهو مماثل للأسلوب الافتراضي المستند على الخبرة الحقلية .



شكل (2. 4) صورة بالأقمار الصناعية لمحطة كهرباء الخمس البخارية.



شكل (2. 5) الإنبعاثات الصادرة من مداخن هذه المحطة الأربعة بالعين المجردة

2.3.2 محطة كهرباء الخمس الغازية:

تقع بجوار المحطة البخارية، وتتكون من أربعة وحدات إنتاجية كل منها بقدرة 150 ميجاوات، ويُستخدم فيها الغاز الطبيعي كمصدر للوقود. دخلت المحطة الخدمة في منتصف عقد التسعينيات من القرن الماضي شكل (2. 6)، وعادةً ما يلاحظ انبعاثات NO_x ذو اللون البني

المحمر المنبعث من مداخنها في الأفق على امتداد شاطئ البحر، وتتدفق الغازات الناتجة عن الاحتراق بدرجات حرارة تتراوح من 400 - 450°، من أربعة مداخن ارتفاع كل منها نحو 30 متراً، وبقطر 3 أمتار. ويبين الجدول (2.2) أهم خصائص محطتي الكهرباء الغازية والبخارية، حيث كانت تركيز غاز أكسيد النيتروجين المنبعث من المحطة الغازية 8399 جرام على الثانية (g/s)، وتركيز غازات ثاني أكسيد الكبريت، واكاسيد النيتروجين المنبعثة من المحطة البخارية 1211 و129 جرام/الثانية (g/s)، لكل من على التوالي (Ibrahim et al 2012).



شكل(2.6) صورة بالأقمار الصناعية لمحطة كهرباء الخمس الغازية.

جدول (2.2): أهم البيانات المستخدمة من محطتي الكهرباء الخمس (Ibrahim et al 2012).

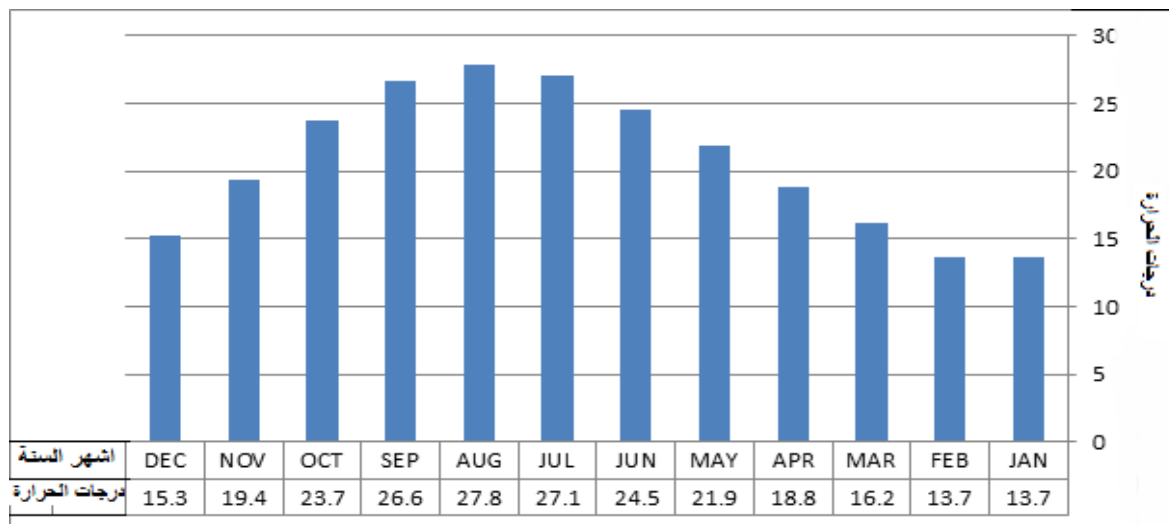
SO_2 g/s	NO_x g/s	القطر متر	الارتفاع متر	الحرارة °C	محطة الكهرباء
--	8399	3	30	400	الغازية
1211	129	2.2	90	450	البخارية

4.2 البيانات المناخية لموقع الدراسة:

إن العوامل الجوية هي الأساس في انتشار التلوث، وسرعة انتقالها من المصدر إلى البيئة المحيطة، لذلك روعي الاهتمام بها في هذه الدراسة والتوصع والإلمام بالبيانات وخاصة التي يمكن أن تساعدنا في الوصول إلى النتائج والأهداف المطلوبة في هذه الدراسة، والعوامل الجوية هي الأساس المكون للطقس والمناخ، وقد تم في هذا البحث استخدام البيانات المناخية الواردة في السجلات الشهرية لمحطة أرصاد الخمس، وذلك لمدة 10 سنوات من سنة 2004 حتى سنة 2013 حسب التالي :

1.4.2 درجة الحرارة:

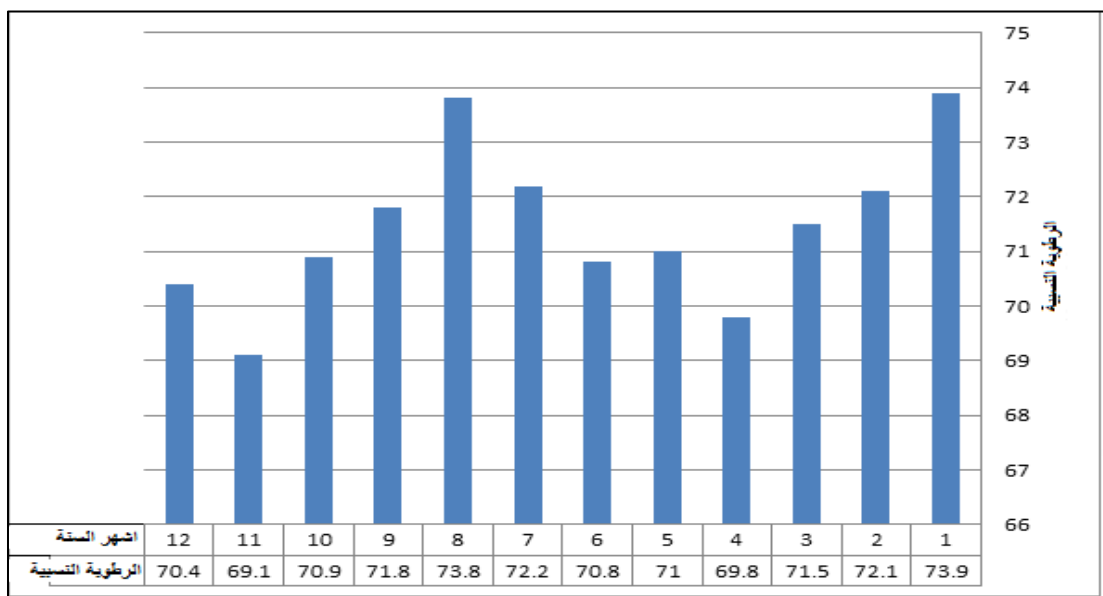
تعتبر الحرارة أهم العناصر المناخية نظراً لأن اختلاف درجتها يؤثر في العناصر الأخرى، كالضغط الجوي والرياح والرطوبة والتكافُف، وبالتالي الأمطار، ويتفاوت متوسط درجة حرارة الهواء الجوي كما يظهر من شكل (2.7) في منطقة الخمس من قرابة 13.7 درجة مئوية في شهر يناير وحتى 27.8 درجة مئوية في شهر أغسطس.



شكل (2.7): متوسط المعدلات الشهرية لدرجة الحرارة بمنطقة الخمس لمدة 10 سنوات (مركز الأرصاد الخمس).

2.4.2 الرطوبة النسبية:

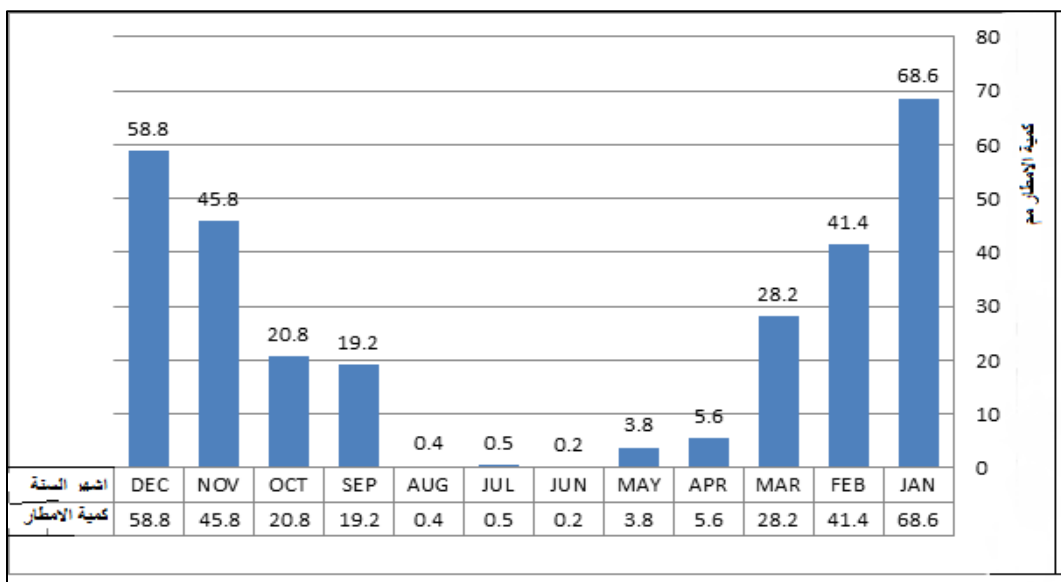
تعرف الرطوبة النسبية على أنها النسبة المئوية لكمية بخار الماء الموجودة في الهواء الجوي في درجة حرارة وضغط معين، إلى الكمية التي يمكن أن يحملها في نفس درجة الحرارة والضغط، وتلعب الرطوبة النسبية دوراً مهماً في زيادة تأثير الغازات الحمضية الملوثة للهواء الجوي، عبر المساعدة في إذابة هذه الغازات، وتكوين الأحماس المخفة، ولذلك فإننا نجد أنها أحد العوامل المهمة في معادلة حساب تأثير التلوث على صخور المدينة الأثرية، وبالدرجة الأولى الصخور التي تحتوي على كربونات الكالسيوم (CaCO_3)، وأهمها الحجر الجيري، والحجر الجيري الدولوميتي، والحجر الجيري الرملي والرخام، وتختلف كمية الرطوبة من مكان إلى آخر، حيث أنها دائماً تكون أعلى في الأماكن الملائمة لشاطئ البحر، وتنقل كلما اتجهنا بعيداً عن الشواطئ، ويعتبر الهواء جافاً إذا كانت النسبة أقل من 50 %، والرطوبة تكون معتدلة إذا انحصرت ما بين 50 و 70 %، وإذا زادت عن ذلك فتعتبر الرطوبة عالية ويمثل الشكل (2. 8) توزيع الرطوبة النسبية في منطقة الدراسة من 2004 - 2013 م.



شكل (2. 8) المعدلات الشهرية للرطوبة النسبية بمنطقة الخمس (مركز الأرصاد الخمس).

4.2. 3 كميات المطر:

تعتبر الأمطار من العناصر المهمة في المناخ، وهي تسهم في تكوين المطر الحامضي، والذي يعتبر أحد عوامل التآكل للصخور، وبحكم أن منطقة الدراسة تقع على ساحل البحر، ذات الأمطار الفصلية، التي تبدأ في السقوط في أواخر فصل الخريف، وتستمر خلال فصل الشتاء فتصل إلى أعلى مستوى لها في شهري ديسمبر ويناير شكل(2.9) ، وتقل في فترة الربيع لتنعدم في فصل الصيف، وهذه الأمطار غير متساوية في الكمية والموعد.

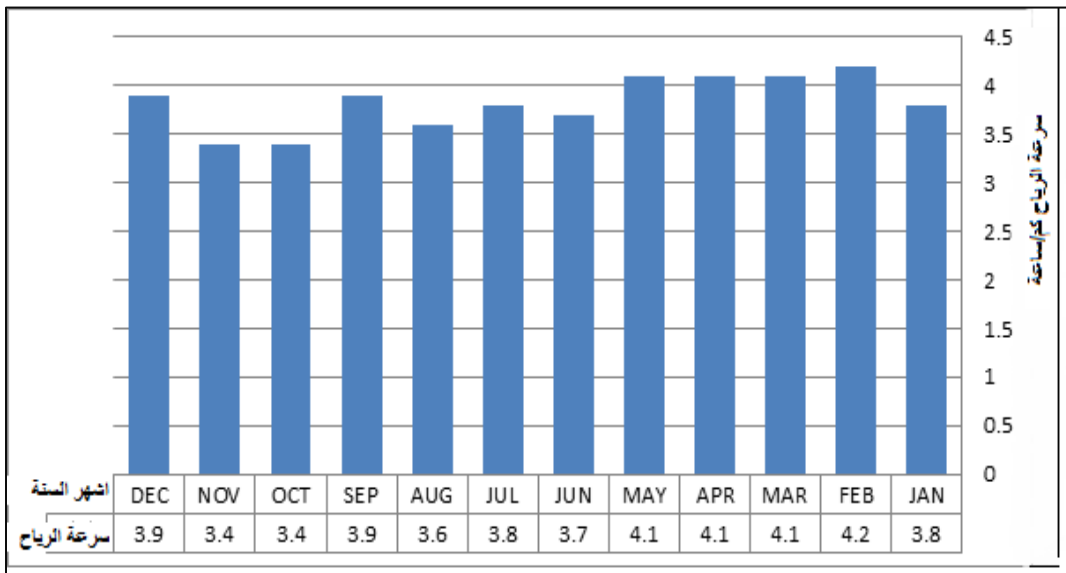


شكل (2.9): كمية السقط المطري على منطقة الخمس(مركز الأرصاد الخمس).

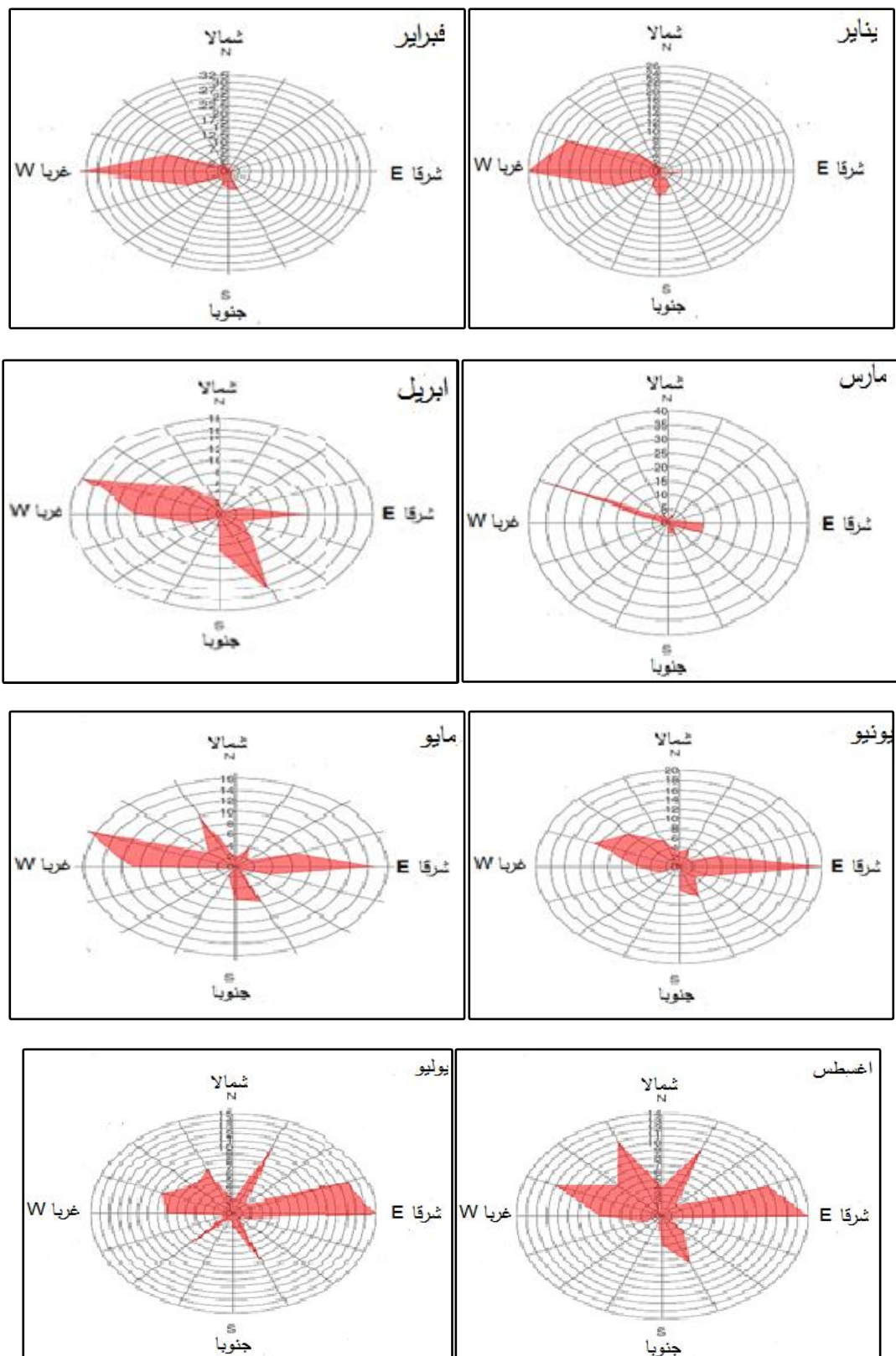
4.2. 4 سرعة واتجاه الرياح:

الرياح هي عبارة عن هواء متحرك على سطح الأرض بسرعات مختلفة، وهو أحد العوامل المؤثرة في تكوين الأمطار والرطوبة، وبالتالي في تدخل ضمن العوامل التي تؤثر على عوامل التآكل، ويمثل الشكل (2.10) المتوسط الشهري لسرعة الرياح في منطقة الخمس،

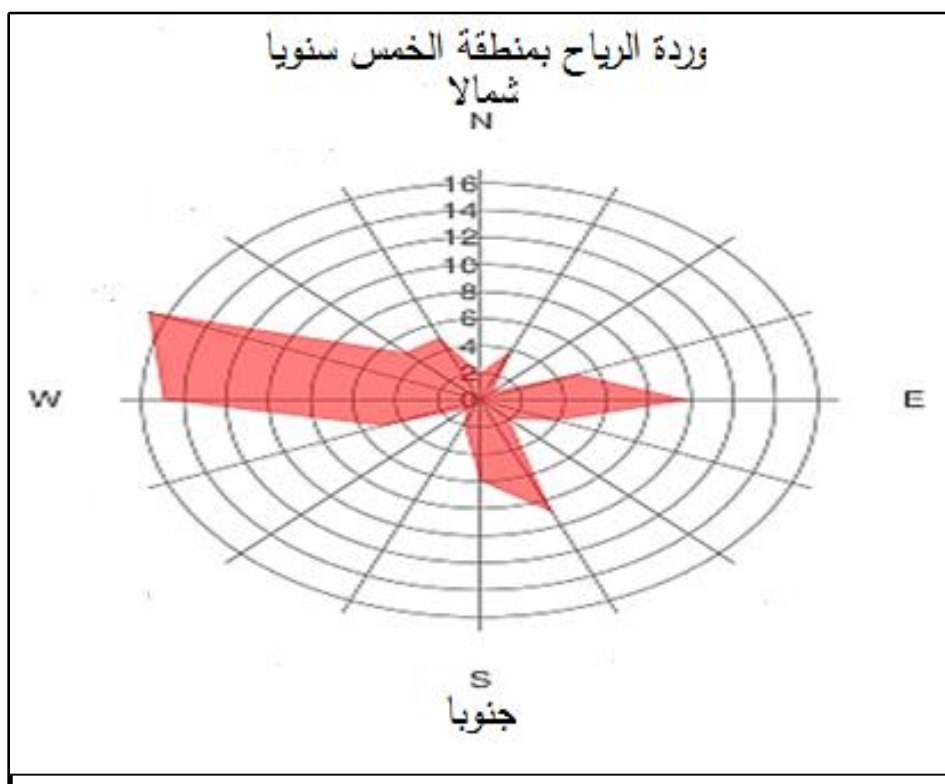
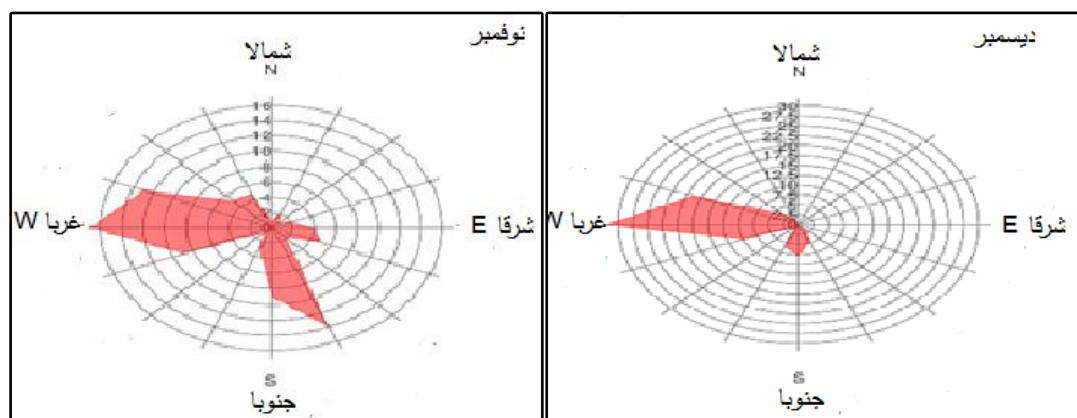
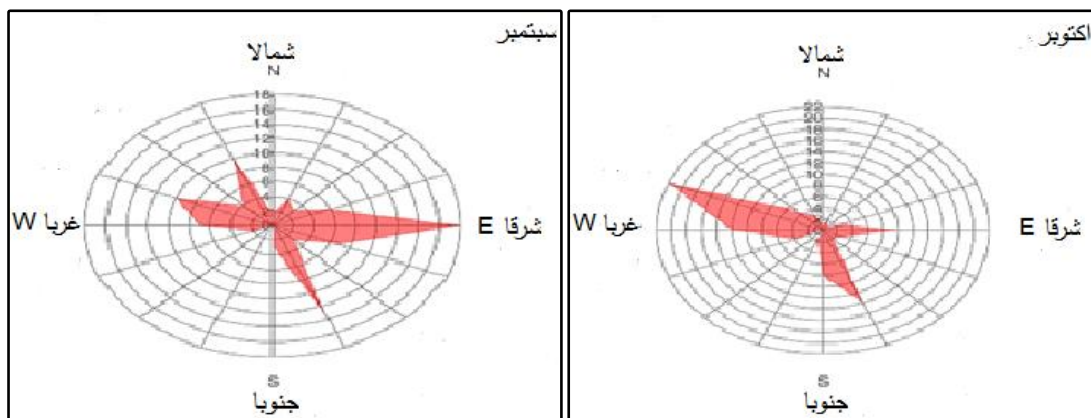
ويظهر منه إن معدلات سرعة الرياح الشهرية تتراوح من 3.4 كم/ساعة في شهر نوفمبر إلى 4.2 كم/ساعة في شهر فبراير.



شكل (10) المعدلات الشهرية لسرعة الرياح في منطقة الخمس (مركز الأرصاد الخمس). غالباً ما يُشار إلى اتجاهات الرياح بوساطة استعمال 360° موضحة على دائرة ويمكن الإشارة من هذه الدائرة إلى اتجاه الشمال بدرجة الصفر وتهب الرياح الشرقية من درجة 90° والرياح الجنوبية من 180° والغربية من درجة 270° ، غالباً ما تختلف الرياح في السرعة والاتجاه عند الارتفاعات المتعددة. ويظهر من الاشكال (11.2 و12.2) إن اتجاهات الرياح تتفاوت من فصل لأخر، حيث تسود في فصل الشتاء الرياح التي تهب من اتجاه الغرب، بينما في فصل الصيف فان الرياح السائدة هي الرياح التي تهب من اتجاهات الشمال والشرق (ابوعربية وأخرون، 2004).



شكل (2.11) وردة الرياح بمنطقة الخمس لأشهر من يناير حتى أغسطس(شبكة المعلومات).



شكل (12.2) وردة الرياح بمنطقة الخمس للأشهر من سبتمبر حتى ديسمبر وسنويًا (شبكة المعلومات).

5.2 العوامل البيئية المؤثرة على المدينة الأثرية

التجوية هي العمليات الفيزيائية والكيميائية والحيوية التي تؤثر على مكونات سطح الأرض أو بالقرب منه، ولقد عرفت التجوية بأنها عملية تكسير وتفتت للصخور، وتحولها إلى نواتج في حالة تعادل مع الظروف الطبيعية لمنطقة ما. وينتج عن التجوية للصخور والأحجار المكونة للمدن الأثرية، جسيمات وقطع صخرية مفككة تشمل الحصى والرمل والتربة، الأمر الذي يؤدي إلى التغير في إشكال بعضها، وظهور بعض الأشكال الجديدة بها، تبعاً لاختلاف التركيب الصخري والمعدني من ناحية، ومدى فعل التجوية وطول المدة، أو الزمن الذي يتعرض له الصخر، والجسيمات والقطع الصخرية المفككة لا تستقر في موقع ثابت، بل تنتقل من مكان إلى آخر كلما توفرت لها العوامل التي تمكنها من ذلك وأهمها الرياح، وتتوقف هذه العملية على شكل وحجم الحبيبات، ودرجة الصلادة، وبالتالي فهي قد تصطدم ببعض الصخور الأخرى مما يؤدي إلى حدوث عمليات البري الصخري، ومن هنا فهي تسهل دور العمليات السطحية على الصخور والمعادن كالتأكسد والذوبان وغيرها (شاهين، 1994)، وهذا ما سيتم التطرق له في هذا البحث من التجوية على صخور مدينة ليده الأثرية.

5.2.1 التجوية الميكانيكية (الفيزيائية) :-

تشكل المياه والحرارة أهم عاملين في التجوية الميكانيكية للصخور، وتعمل على تكسير وتفتت الصخور بدون أي تغير في تركيبها الكيميائي، ولهذه العملية أهمية كبيرة في الإسراع من عمليات التجوية الكيميائية، والحياتية للصخور، وذلك لما تولد من زيادة في المساحة السطحية، وأهم أنواع هذه التجوية التي ثم العثور عليها في صخور المدينة الأثرية هي :

5.2.1 التقشر وتغيير درجات الحرارة.

إن اختلاف درجة الحرارة بين الليل والنهار يؤدي إلى تكرار تمدد الصخور وانكماسها، وهذا يؤدي فيما بعد إلى خلخة أجزائها وتفتها، فعندما ترتفع درجة الحرارة بالنهار تسخن الصخور إلى درجة عالية، أما عند انخفاضها أثناء الليل فتبرد الصخور نتيجة للإشعاع من سطحها المعرض للجو، بينما يظل باطن الصخر ساخن، ويؤدي هذا إلى التشقق وتقشر الجزء المعرض للجو من الصخر وتفته وانفصاله عن السطح، ويمتاز الصخر المتماسك المنظم بهذه الخاصية، حيث تقشر أجزاء الصخر الخارجية على شكل صفائح بموازاة سطح الصخرة، ففي الكتل الصخرية بالمدينة سمك الصفائح لا يتعدى بعض المليمترات، أما الإبعاد السطحية لها تتراوح ما بين (9×4) إلى (11×6) سم شكل (13). (ابوعربية وأخرون ، 2004b).



شكل (2. 13) تقشر الجزء المعرض للجو من الصخر وتفته وانفصاله عن السطح.

5.2.2 النمو البلوري.

تساعد الحرارة الواطئة بصورة غير مباشرة على تكسير وتفتت الصخور، إذا أن المياه العالقة بين الشقوق أو المفاصل أو المسامات الصخرية تجمد عند انخفاض درجات الحرارة ،

ما يسبب زيادة في حجمها بحوالي 10 %، وهذه الزيادة تؤدي إلى الضغط على الصخور، مما يسهل وبالتالي تكسيرها وتفتيتها، هذا التأثير يكون أكثر فعالية وسهولة على طول مستويات التصفح، أو داخل المسامات، أو في المناطق التي تكون فيها المواد اللاhmaة، والتي تذوب بفعل هذه المياه بالنهار، وهذا واضح في الصخور الرسوبيّة، وكذلك في الأعمدة الرخامية (البريشيا التكتونية) الشكل (2.14)، التي تنتشر في حمامات هادريان، حيث يبدأ تساقط الأجزاء تباعاً بمجرد إدابة المادة اللاhmaة، وتركها لفراغات تكون ملائمة لتجمع المياه فيها (شاهين، 1994).



شكل (2.14) شقوق الأعمدة الرخامية والتي تنهار بسبب النمو البلوري للمياه.

5.2 .1 .3 التشبع بالماء والجفاف :

إن سقوط الأمطار الغزيرة أو السيول (بين 300-400 mm في السنة) على الساحل الغربي للبيبا، لها اثر كبير في تجوية وتعرية الصخور، ونظراً لموقع المدينة ضمن هذا المناخ، والمتميز بسقوط كميات كبيرة من الأمطار شتاءً، مقارنة بنسبة الأمطار المتوسطة على الساحل، فإن تلك الكميات الكبيرة من مياه الأمطار الساقطة، تعمل على تقوّت وتكسير الكتل الصخرية بالمدينة، مما يسبب في النحت المستمر لها موسم بعد الآخر، وتعمل على تكوين فتحات تكون

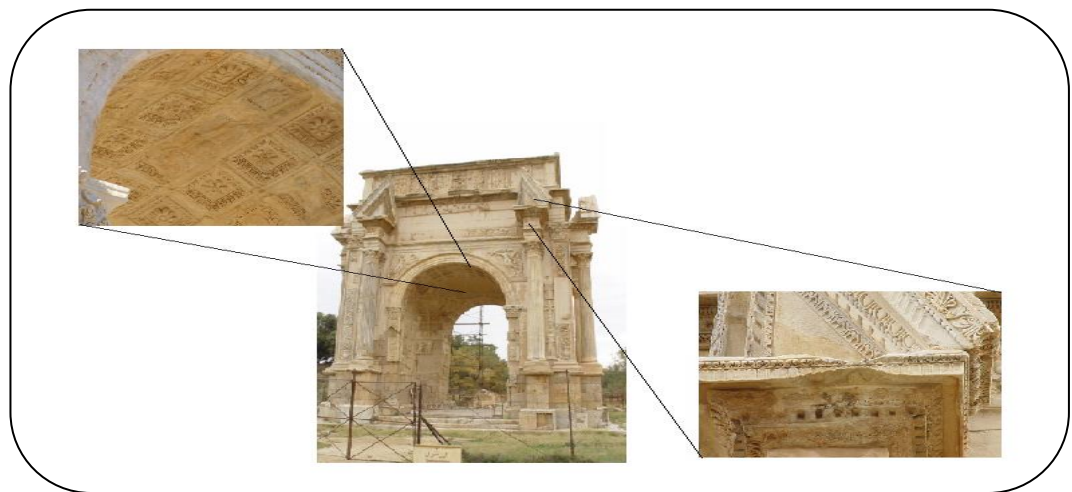
من الأعلى صغيرة، ومن الأسفل كبيرة نتيجة لحركتها، خاصة في الصخور التي تتكون من الرمل والجير، ومن أكثر الصخور المعرضة لذلك هي صخور تكوين قرقارش، بسبب مساميتها العالية وقابليتها على امتصاص الماء، واهم العوامل المؤدية إلى ذلك هو التركيب الصخري، فكلما زادت المسامية والنفاذية نشط هذا العامل الشكل (2.15).



شكل (2.15) الفجوات المتكونة نتيجة حركة المياه بها وإذابتها للمواد اللاحمة.
هذا الفراغ الحادث يعبئ بالطمي والغرين السطحي الذي يمتص بعض هذه المياه ويكون لاحقاً أحد عوامل التفتت بطريقة من الطرق السابقة، أو أن يحدث مجرى لنقل الطمي من الأعلى إلى الأسفل على هيئة مراوح طينية. كما أنها تكون مجاري لها في أسقف بعض المباني الموجودة في المدينة مثل ما هو موجود في قوس النصر، الشكل (2.16)، بل وتنعدى ذلك إلى أن تعمل على مسح بعض النقوش والمعالم التي في طريقها فتؤدي بذلك لتغيير معالمها، وفي بعض الحالات أدت مياه الأمطار إلى غمر المدينة بالمياه والطمي، الذي كان السبب في تفتت وإذابة الصخور الجيرية الرملية وبذلك أدت إلى انهيار بعض المناطق في المدينة (هيثم، 2012م).

5.2 . 4 عمليات البري والنحت الصخري :

تحدث التجوية كذلك نتيجة عمليات البري أو المسح التي تتعرض لها الصخور نتيجة حركة الرياح. يبدأ فعل الرياح بالتقاطها للمفتات الصخرية، فالغبار وحببيات الرمال هي من الأدوات التي تستخدمها الرياح لبرى وصقل ونحت الصخور، وبما إن مدينة لبدة تقع بالقرب من البحر فإنها تؤثر عليها الرمال الشاطئية المتحركة بفعل الرياح بدرجة كبيرة ويتوقف التأثير المباشر للرياح على ثلاثة أمور هي :



الشكل (2.16) مجرى مائي في قوس النصر اخترت فيه النقوش

أ. الحمولة: وهي حمولة الرياح من المفتات الصخرية، وهي الأداة التي تؤثر الرياح بواسطتها في الصخور، لذلك فان ازدياد الحمولة يساعد على التأثير السريع، وإبراز مظاهر النحت بواسطة الرياح.

ب. السرعة: سرعة هبوب الرياح من العوامل المهمة التي تساعده على ازدياد حمولتها من المفتات، و يجعل ارتظام الحبيبات أو احتكاكها بالصخور وبمرور الزمن أكثر تأثيراً، مما يساعد على إبراز مظاهر النحت بفعل الرياح .

ج. طبيعة الصخور: الصخور الرسوبيّة الهشة ذات الحبيبات المفككة المتواجدة بكثرة في مدينة لبدة، يمكن أن تتأثر بفعل الرياح بسرعة ملحوظة، وعلى العكس من ذلك فان الصخور

النارية، والمحوله يمكنها أن تقاوم فعل الرياح لفترة زمنية طويلة، وتهب على المدينة الأثرية أربعة أنواع من الرياح، منها رياح القبلي في فصل الصيف، وتكون محملة بالأتربة والغبار، ولهذه الرياح دور كبير في التأثير على المدينة، بحمل كميات كبيرة من حبيبات الرمل، تؤدي إلى نقر الأحجار، والمباني، والتماثيل، من خلال حفرها وخدشها وتشويها وتأكلها بمرور الزمن الشكل (2.17) ، والتي يطلق عليها التجوية التفاضلية (ابوعربية وآخرون ، 2004b).



شكل (2.17) تأثير الرياح على جدران المدينة الأثرية (تجوية تفاضلية).

5.2.1.5.2 التيارات البحرية والرطوبة:

تشمل التجوية البحرية ما تفعله مياه البحر عن طريق الأمواج من تكسير وتحطيم للصخور، وتنشا هذه الحركة نتيجة عدة عوامل هي: فعل الرياح أثناء الملائمة والاحتكاك بالسطح العلوي للمياه، مما يسبب الحركة التموجية للمياه. وتأثير حركات المد والجزر والتي تحدث نتيجة التجاذب بين كل من الشمس والقمر من جهة والأرض من جهة أخرى، و تعمل الرياح على دفع الأمواج صوب الساحل وبازدياد سرعة الرياح على الشواطئ، خاصة في فصل الشتاء فتكثُر وترتفع الأمواج ، التي تلامس الكتل الصخرية المشيدة منها مدينة لبدة الأثرية ،

نتيجة لبناء المدينة بالقرب من الشاطئ، مما يسبب في تفتق وتكسير صخور المدينة، وقد لعبت الرطوبة البحرية في مدينة لبدة دوراً كبيراً من حيث تغيير المعالم وتحطيم وتدمير الآثار والشكل .2. (18) يبين أحد الأعمدة التي يظهر عليها تأثير الرطوبة.



شكل (2. 18) أحد الأعمدة الشيسية المتأثرة بالرطوبة

بينما الشكل (2. 19) يبين دور التيارات البحرية في تغيير معالم الصخور المتحولة. أثناء النهار حيث يصل أدناء الساعه 12 ظهرا ، ويلاحظ أن الرطوبة النسبية خلال فصل الصيف ترتفع ومن خلال دراسة البيانات لمحطة الأرصاد الجوى في مدينة الخمس تبين أن المتوسط اليومي للرطوبة النسبية العظمى يرتفع أثناء الليل (يبلغ ذروته الساعه 12 ليلا) وينخفض قيمتها نسبيا عن ذلك في فصل الشتاء. وبشكل عام ترتفع الرطوبة النسبية في المدينة الأثرية طوال العام وذلك بسبب التأثيرات البحرية (ابوعربية وآخرون ، 2004 ب).



شكل (2.19) دور التيارات البحرية في تغيير معالم الصخور المتحولة (عمود من الشيست)

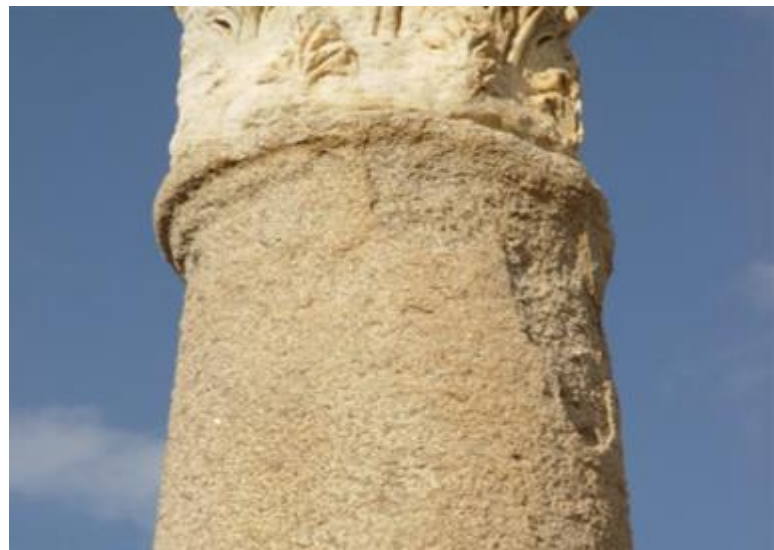
5.2 التجوية الكيميائية :-

تضم التجوية الكيميائية تفاعلات متعددة، يستخدم في معظمها الماء والأكسجين وثاني أكسيد الكربون والحوامض والمواد العضوية، وتعمل هذه على تغير وتبدل المعادن إلى معادن أخرى، أكثر تحملًا للظروف السائدة على سطح الأرض، أو بمعنى آخر تكون أكثر مقاومة للتعديل والتغيير، وتعتمد التجوية الكيميائية على عاملين رئيين هما طبيعة العمليات الكيميائية ونوعية الصخور المجواة. وأهم أنواع هذه التجوية التي ثم العثور عليها في صخور المدينة الأثرية هي :-

5.2.1 التحلل المائي .

هي عملية تفاعل أيون الهيدروجين H^+ والهيدروكسيل OH^- الناتج من تحلل الماء مع المعادن، ونلاحظ هذا عادة مع معادن الفلسبارات ($KAlSi_3O_8$)، والسليلكات الأخرى الحاوية على الألمونيوم، حيث تتحول هذه المعادن إلى معادن طينية، واهتمام مناطق التأثير بهذا العامل

تطهر على الأعمدة الجرانيتية، والتي تبدأ فيها التجوية من المواد اللاhmaة ثم إلى الفلسبار .
شكل(2. 20) (ابوعربية وآخرون ، 2004 ب).



شكل (2. 20) تجوية المادة اللاhmaة ومن ثم الفلسبار في أحد الأعمدة الجرانيتية.

2. 5.2 التكرن .

يتحد ثاني أكسيد الكربون CO_2 بالجو مع قطرات المطر مكوناً حامض الكربونيك المخفف H_2CO_3 ، والذي يسقط على الأرض على هذه الهيئة، وتتأثر صخور المدينة الأثرية بهذه العملية، وهذا الأمر يظهر جلياً في الصخور الكلبوناتية أو الحاوية عليها، وبخاصة صخور تكون قرقاش، حيث نجد بها الكثير من الفجوات والكهوف (ميكروكارست)، الناتجة من فعل الحامض وفي بعض الأحيان يؤدي ذوبان الصخور المتبقية إلى انهيار الكهوف والفجوات، ويكون ذلك عن طريق إذابة المكونات الجيرية، وبذلك تتفكك وتحرر حبيبات الرمل التي تنهار إلى أسفل تاركة وراءها الفراغات والفجوات التي تسمى بالكارست شكل (2. 21) .



شكل (2. 21) الكهوف والفجوات في تكوين الخمس .

5.2. 3 التأكسد .

التأكسد هو عبارة عن اتحاد الأكسجين مع العناصر أو المعادن، وتم هذه العملية عادة مع المعادن الحاوية على أيون الحديد الذي يكون في حالة اختزال وتبدل هذه العملية من لون المعادن، وما يزيد سرعة هذه العملية على سطح المعادن وجود بخار الماء في الجو، وتتوقف عملية التأكسد على نسبة الرطوبة في الجو، والتأكسد في الصخور بالمدينة الأثرية واضح وأشد الصخور تعرضها لها هي الصخور الجيرية الدولوميتية، وذلك بسبب وجود المواد اللاhmaة التي يدخل ضمنها بعض العناصر القابلة للأكسدة بشكل سريع شكل (2. 22) (ابوعربية وآخرون ، 2004).



شكل (2. 22) تأكسد بعض الكتل الصخرية .

5.2 التجوية الحيوية : -

تؤثر النباتات وبعض الحشرات والكائنات الحية الدقيقة التي تنمو تحت ظروف مناخية مختلفة في الصخور المتواجدة في منطقة الدراسة، وينتج عن نمو وتحليل النباتات مواد عضوية متحللة ، كما أن تأثير النباتات ونواتج تحللها مع الجسيمات المعدنية للصخور المجوأة يسبب إحداث تغير في التجوية الكيميائية، وتحدث هذه التغيرات من خلال الأنشطة الحيوية، والتي تتفاعل فيها نواتج التجوية الكيميائية للصخر مع ما يضاف إليه من مواد عضوية ويطلق على هذه التجوية تجوية حيوية، وهذا توضيح بسيط لأهم العوامل.

5.3.1 النباتات:

للنباتات دور مهم في عمليات التجوية بمختلف أنواعها، حيث تشارك في التجوية الفيزيائية عن طريق الجذور ، والسوق ، والجذوع ، بل في بعض الأحيان الأوراق كذلك في تهشيم المباني الحديثة والقديمة منها، الأمر الذي أعطها أهمية في دراسة التجوية، وعليه فالنباتات خاصة التي تنمو طبيعياً قد تنمو في مناطق غير متوقع تواجدها بها ، وما لم يتم اتخاذ التدابير اللازمة حال الحد من نموها فإنها سوف تكون أحد عوامل التفتت، وعندما تموت هذه النباتات فإنها تتحلل تاركة وراءها بعض المواد العضوية التي يمكنها التفاعل مع المعادن والصخور التي سبق وان نمت حولها ، وبذلك تكون قد هيئه بيئه جديدة للنمو النباتي لاحقاً شكل (ابوعربية وآخرون ، 2004).



شكل (2.23) نمو النباتات نتيجة انتقال البذور بواسطة الرياح.

- 2.5.3.2 الحشرات :-

الديدان والنمل تعمل على عمل فجوات في الصخور مما يجعلها عرضه أكبر للتجوية، خاصة في الصخور التي تستطيع الحفر فيها، ويساعد على تهيئه المناخ للعوامل الأخرى للتجوية، والتي تقوم بدورها في تفتيت الصخور وانهيارها، وخاصة في المناطق التي تنتشر فيها الأطيان كما هو الحال في الأرضيات، الشكل (2.24)، وكذلك بعض الحشرات الطائرة تبني مساكنها من نفس المادة الصخرية التي تعيش عليها ،الشكل (2.25) فإنها تعمل أيضا على تجوية المناطق الأثرية.



الشكل (24) حركة النمل في الصخور .



شكل (25) مساكن بعض الحشرات في الكتل الصخرية.

— 3. الطحالب والأشنات وغيرها : —

الطحالب والأشنات والهزازيات هذه للكائنات تتمو نتيجة توفر الرطوبة العالية ومياه الأمطار، وبعد موتها وتفسخها، تترك بقع على جدران المعالم الأثرية، والتي تعمل على تشوه المعالم الأثرية وخرابها الشكل (2. 26) (ابوعربية وآخرون ، 2004 ب).



الشكل (2.26) بعض أنواع الطحالب والأشنات والحزازيات.

5.2 .4 العوامل المساعدة على سرعة التجوية :-

هناك العديد من العوامل التي تساعد بشكل أوضح على سرعة التجوية منها:-

1 - نقاط الضعف الصخري (التراكيب الأولية) حيث تحتوي الصخور بأنواعها تراكيب متنوعة

تعداً مؤشراً على مدى ضعف الصخور مثل التطبقات وهي مستويات الترسيب للرسوبيات فوق

بعضها البعض التي تصل إلى مستوى الطبقات، وبالتالي فإن هذه المستويات تكون مختلفة في

مقاومة عوامل التجوية المختلفة مما يجعلها نقطة أساسية من نقاط هدم الصخور وتفتيتها شكل

. (27.2)

2 - التركيب الصخري (المعادن المكونة له) تختلف الصخور في تركيبها المعدني، وبالتالي

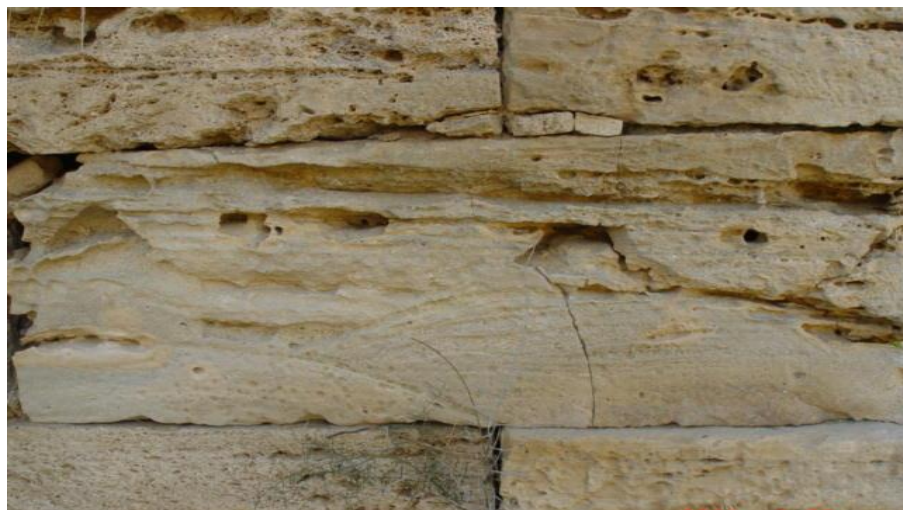
التركيب الكيميائي من نوع آخر، وهذا ما يميزها عن بعضاها البعض، وكل نوع من هذه

المعادن خصائص تميزه عن غيره، ويتبين ذلك من خلال تباين تأثير القوى الخارجية من

تجوية وتعرية لنوع الصخر الواحد عليها شكل (2.28) . فالصخور النارية أكثر مقاومة

للتجوية من الصخور الرسوبيّة، بها تباين في التأثير الفعلي. والأخيره بأنواعها المختلفة أكثر

الصخور استجابة لعمليات التعرية والتجوية لأنها تتكون من معادن لافلزية كالكربونات والأملاح، إضافة إلى تأثير العوامل المختلفة يكون متبيناً من مكان لأخر حسب البيئة التي توجد فيها تلك الصخور جافة أو رطبة، قريبة أو بعيدة من مصدر الرطوبة،



شكل (2. 27) إبراز مستوى التطبق الحوضي نتيجة عمليات التجوية.



. الشكل (2. 28) بعض الأماكن تمت بها عملية التجوية .

كما هو الحال في الصخور المتحولة الشيست التي تتكون منها أعمدة مدينة لبده شكل (2. 29) و شكل (2. 30) .



الشكل (2. 29) تأثير الرطوبة في الأعمدة البعيدة عن البحر .



الشكل (2. 30) تأثير الرطوبة في الأعمدة القريبة من البحر .

3 - نفاذية ومسامية الصخور:

النفاذية السماح هي مقدرة المياه على المرور خلال التكوينات الصخرية، وهذه الخاصية تختلف من نوع صخر لأخر، أما المسامية فهي نسبة حجم الفراغات بالصخر إلى الكتلة الصخر الكلية، ولا تعنى إن الصخور المسامية نفاذة بل توجد بعض الصخور ذات مسامية عالية ولكنها قليلة النفاذية مثل الصخور الطينية، وذلك لعدم اتصال المسامات ببعض، ولذلك لا تسمح للماء بالتحرك من خلاها، في حين تكون الصخور الجيرية وصخور الكالكرينيات ذات مسامية عالية، وبالتالي تسمح بمرور الماء خلاها مما يزيد أتساعها، ومن ثم تفتتها.

5 - التعامل المخطئ مع الآثار :

الأسمنت مادة صناعية تستخدم لربط الكتل الصخرية مع بعضها البعض، ويدخل ضمن تركيبة مواد مختلفة تضاف إلى بعضها البعض، ومن المعروف إن بعض هذه المواد له معامل تمدد ينبع عن تأثير الحرارة واختلاف نسبة مكوناته، وعند استخدامه في الترميم، وخاصة في المناطق المغلقة، دون النظر إلى معامل التمدد، نجدها بعد فترة قد انفصلت من مكانها، لتكون عامل من عوامل التجوية الحديثة، وهذا النوع من الترميم واضح حاليا في قواعد الأعمدة الجرانتية بالمدينة، والشكل (31) يظهر كمية الأسمنت ومكان وكيفية استخدامها.



الشكل (2). (31) بعض موقع الترميم بالأسمنت .

6. التلوث البيئي:

مدينة لبدة تتعرض باستمرار لعمليات تلوث بيئي، وذلك من خلال التطور الصناعي والعمري في مدينة الخمس، حيث توجد محطة التحلية ومصانع الأسمنت إلى شرق وغرب

المدينة، ناهيك عن العدد الكبير من وسائل النقل التي تسير على الطريق التي تربط ما بين سوق الخميس والخمس، وفي بعض الأحيان ما قد يحمل من دول جنوب أوروبا الصناعية بواسطة الرياح والإمطار، وبذلك تكون المدينة قد تعرضت للأبخرة والغازات المختلفة من مصادر متعددة، وفي هذا البحث سوف تقتصر الدراسة على دور محطة التحلية بغرب الخميس.

2. 6 تقدير تراكيز الغازات الحمضية في المدينة

2.6.1 برنامج محاكاة انتشار الملوثات

من أجل تقدير إنتشار تراكيز ما يتوقع وجودة من ملوثات مختلفة في الهواء الجوي بالمدينة الاثرية تمت محاكاة ما تم الوصول إليه، بواسطة الحاسوب الآلي عن طريق يستخدم برنامج متخصص في تمثيل إنتشار الملوثات انتشار الملوثات وهو برنامج Air pollution dispersion modeling software (DISPER V:4.0)، والذي يعتمد على استخدام نماذج متطرورة عن معادلة جوسalian لتمثيل إنتشار الملوثات، ويفترض هذا البرنامج أن إبعاث الملوثات من المصدر يكون بشكل مستمر وثابت ، وعمليات الإنتشار والإبعاث تتبع الحالة المستقرة، والملوثات تنتشر في إتجاه هبوب الرياح ، وسرعة وإتجاه الرياح ثابتين في كل عملية تقدير، ويتميز برنامج معالجة الإنتشار دسبر DISPER بالقدرة على التعامل مع عدة مصادر للإبعاث في آن واحد، والتعامل مع الإبعاث النقطي أو الخطي.

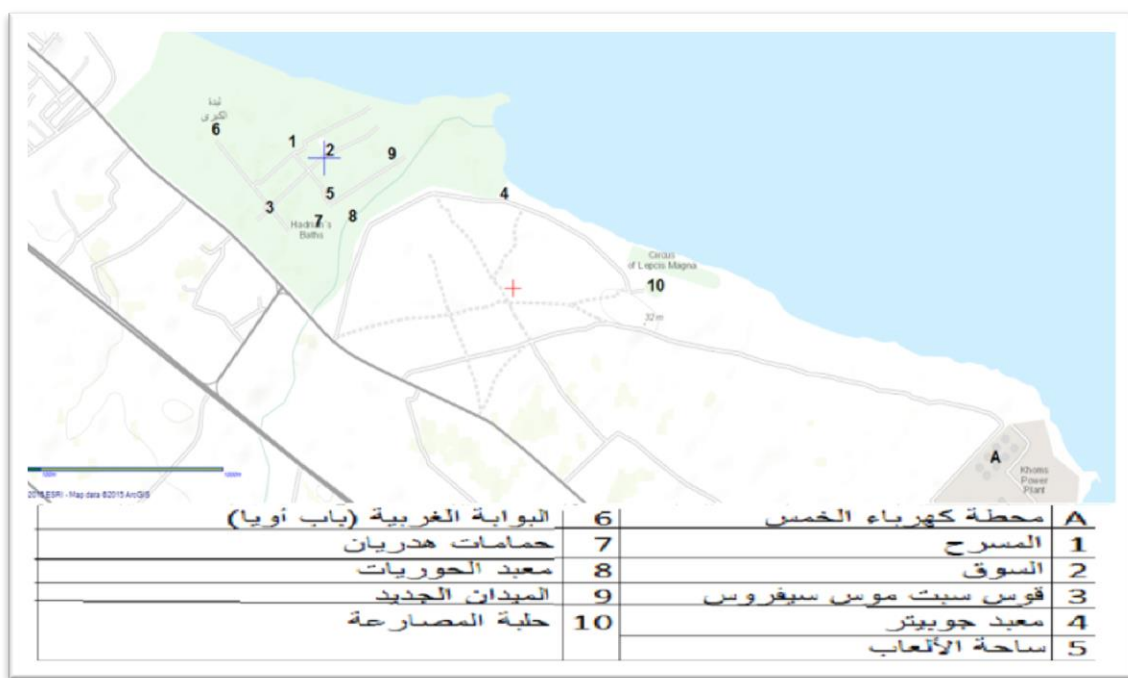
للبرنامج المقدرة على عرض وتقديم النتائج التي يتم التوصل لها بإشكال مختلفة منها:

- إسقاط البيانات على الخرائط الجغرافية وبمقاييس رسم مختلفة .
- إسقاط البيانات على صور وخرائط الأقمار الصناعية وبمقاييس رسم مختلفة .
- استخدام الإحداثيات الكارتيزية لتصدير البيانات إلى برنامج رسم الخرائط GIS.

وقدُ استخدم هذا البرنامج في دراستنا الحالية لتقدير إنتشار أكسيد النيتروجين وثاني أكسيد الكبريت، وذلك تحت تأثير الظروف المناخية المحلية.

2.6.2 تجهيز الخرائط

في هذه الدراسةُ استُخدمت خرائط وصور الأقمار الصناعية الخاصة بموقع (Google earth 2012) لتطبيق النتائج عليها، وذلك بعد تحديد موقع محطة الكهرباء، والموقع الهام في المدينة الاثرية على الخريطة، وبعد اخذ صور الأقمار الصناعية لهذه المواقع المختلفة، تم بإستخدام برنامج رسم الخرائط (ArcGIS V:9.2)، تم تجهيز خريطة لموقع العينات المدروسة، ومحطة الكهرباء (مصدر الإنبعاث) شكل (32.2).



شكل (32.2) يبين موقع العينات ومصدر الإنبعاث.

2. 6. 3 إدخال البيانات إلى برنامج معالجة الانتشار
إن عملية تجميع وإدخال البيانات من أهم المراحل في الدراسة، ويعتمد هذا البرنامج على مصدقة ودقة النتائج التي يتم تجميعها وإدخالها لمعالجة الانتشار، وهذه البيانات تمثل

- مصدر التلوث:

ويقصد به مصدر الإنبعاثات، وهنا يتطلب الأمر إدخال جميع البيانات الهندسية والفنية المتعلقة بالمصدر، وهي كمية التدفق للملوثات (الإنبعاثات) — (جرام/ثانية)، وسرعة خروج الملوثات من المصدر — (متر/ثانية)، ودرجة حرارة الملوثات عند خروجه — (الكلفن) وارتفاع عمود الخلط بالметр، ويقصد بعمود الخلط (المدخنة) والقطر الداخلي للمدخنة — (المتر).

- البيانات المناخية:

درجة الاستقرار الجوي وهي Pasquill stability category درجة حرارة الهواء الجوي — (كلفن)، وسرعة الرياح — (متر/ثانية) وإتجاهها، ودرجة الاستقرار الجوي وقد أجريت الحسابات على أساس المعدلات السنوية للبيانات المناخية لكل محطة إرصاد.

- مصادر البيانات:

تم تجميع البيانات من مصادر مختلفة متمثلة في مصدر الإنبعاثات (محطة كهرباء الخمس) والبيانات المناخية (مركز الأرصاد الجوي الخمس).

2. 7 حساب معدلات تأكل الرخام:

لقد توصل الباحثون إلى معدلات تجريبية لحساب معدلات تأكل رخام بملوثات الهواء الجوي، أهمها معادلة روتز (Roots, 2008) (1) التي وضعت من قبل :

$$R = 3.1 + 0.85 + 0.0059 [SO_2] RH + 0.054 rain [H^+] + 0.078 [NO_2]$$

$$RH ----- (1.2)$$

حيث:

$[SO_2]$ = تركيز ثاني أكسيد الكبريت ميكروجرام / متر³

$[NO_2]$ = تركيز ثاني أكسيد النيتروجين ميكروجرام / متر³

R = معدل التآكل بالميكرومتر في السنة

RH = الرطوبة النسبية

$Rain$ = المطر بالمليمتر

H^+ = تركيز ايون الهيدروجين في مياه الامطار بالمنطقة، وتم الحصول عليه من (الدوفاني، 2006).

وقد تم حساب كميات التآكل في الرخام لكل شهر على حدا، وفق المعلومات والبيانات المناخية التي تم الإشارة إليها سابقاً، والتراكيز الناتجة عن عملية معالجة الانتشار، وذلك عبر التعويض بالمعادلة السابقة مع القسمة على 12 نظراً لكون تطبيقنا في هذه المعادلة للحصول على كمية التآكل الفعلية في كل شهر، وذلك باستخدام نسبة تواجد الرياح في اتجاه المدينة الأثرية كما يلي:

نسبة تواجد الرياح = مجموع التكرارات في اتجاه المحطة / مجموع التكرار الكلي للرياح

واستخدمت نسبة توجد الرياح في حساب كمية التآكل الفعلية في كل شهر، عبر ضرب نسبة تواجد الرياح في كل شهر في كمية التآكل الشهرية التي تم حسابها عبر التعويض في معادلة التآكل، و لحساب كمية التآكل السنوية تجمع كميات التآكل في كل أشهر السنة.

2. 8 التحقيق العملي والميداني:

للتأكد أكثر على وجود تجوية وتأكل لصخور المدينة الأثرية ثم إجراء بعض التحاليل التطبيقية، متمثلة في تحليل بعض العينات بواسطة الاشعة السينية، وعمل قطاعات شرائجية رقيقة دراستها، ووصفها تحت المجهر المستقطب، إضافة إلى الوصف النظري لها من خلال مسح ميداني للموقع، شملت عينات لأهم أنواع الصخور المكونة للمدينة والتي تضم صخورا رسوبية ونارية ومحولة، وحساب معدلات تأكل في كل منطقة من مناطق مدينة لبدة الأثرية، تم القيام بجولات ميدانية، وجمع عينات وفحصها للتحقق من وجود تأثير حقيقي للملوثات على المدينة الأثرية، وينقسم هذا الجزء العملي إلى قسمين هما:

2. 8 . 1 الاختبارات باستخدام جهاز فلورة الاشعة السينية.

تم تجميع عدد 30 عينة من المناطق المختلفة في المدينة الأثرية بحيث تمثل هذه العينات أنواع الصخور المختلفة المكونة منها الأعمدة والتماثيل الأثرية بالمدينة، وهي الرخام والجرانيت والشتت والحجر الجيري والحجر الرملي وبواقع 3 مكررات لكل نوع، ومن العينة الأصلية قبل التأثير عليها وهي من نفس الصخر ولكنها عينة كاملة غير مفتته من داخل الصخر، والقشور المتوقعة أنها ناتجة عن التغير في التركيب الكيميائي، وقد تم فحص العينات باستخدام جهاز فلورة الاشعة السينية XRF.

2. 8 . 2 الفحص باستخدام المجهر الضوئي المستقطب.

تم تجميع 16 عينة من 10 مواقع مختلفة داخل المدينة الأثرية جدول(2. 3)، واخذ صورة لكل موقع عينة وتحديد موقعها عن طريق GPS، والموقع أخذت بناء على أهمية الموقع أثريا والمسافة بين الموقع فيما بينها وبعدها عن محطة الكهرباء، وكانت العينات مختلفة

من حيث النوع، منها الصخور النارية (الجرانيت)، والرسوبية (الحجر الجيري - الجيري الرملي - الحجر الرملي)، والمتحولة (الرخام - الشست).

جدول (3) : مجموعة من العينات بالموقع مع نوع الصخر

الموقع	نوع الصخر	الإحداثيات	وجه الاستخدام	الملحوظات
المسرح	رخام	شمال	قاعدة مزخرفة	قشور
	الشست	32.6384	عمود	صلب إلى قشور
السوق	رخام	32.6382	قاعدة	قشور
	الجرانيت		عمود	هش
	الحجر الجيري		قاعدة حبال	صلب
قوس سبتموس	رخام	32.6356	حائط	قشور
معبد جوبير	رخام	32.3820	قاعدة عمود	قشور
	الحجر الجيري		عمود	صلب إلى قشور
ساحة الألعاب	رخام	32.6357	عمود	قشور
البوابة الغربية (باب اويا)	رخام		قاعدة	قشور
			أرضية	صلب إلى قشور
حمامات هدريان	رخام	32.6350	قاعدة عمود	قشور
	الحجر الجيري		جدار	هش
الميدان الجديد	رخام	32.6371	قاعدة عمود	قشور
	الشست		عمود	قشور
حليبة المصارعة	الحجر الجيري	32.1756	مقعد	صلب إلى قشور

تم تجهيز الشرائح المجهرية عبر اخذ قطع من الصخر المراد دراسته في المختبر وذلك بمركز بحوث النفط، وبعد تجهيز الشرائح الممثلة للعينات تم فحص العينات باستخدام مجهر ضوئي .Type 102M موديل Motic **Polarized Microscope مستقطب**

الفصل الثالث

النتائج والمناقشة

3. النتائج والمناقشات

لا تقتصر آثار تلوث الهواء على الكائنات الحية، من إنسان وحيوان ونبات، وإنما تمتد هذه التأثيرات أيضاً إلى الإنشاءات من مباني وآثار والمنشآت وغيرها، حيث إن تأثيرها يؤدي إلى الارتفاع من معدلات تأكلها، وبالتالي يقلل من عمر هذه المباني. إن تأثير ملوثات الهواء المختلفة كأكسيد الكبريت والنитروجين على مواد البناء، قد تمت دراسته في العديد من الدراسات السابقة، نظراً لما يعنيه هذا التأثير على المنشآت الأثرية، والنصب التذكاري، والإرث الإنساني بشكل عام، ومن أهم هذه الملوثات هي ارتفاع تركيز أكاسيد الكبريت والنитروجين في الهواء، وفي ظل وجود نسبة من الرطوبة تكون أحماضاً تسبباً تأكلاً لأحجار المباني والمنشآت.

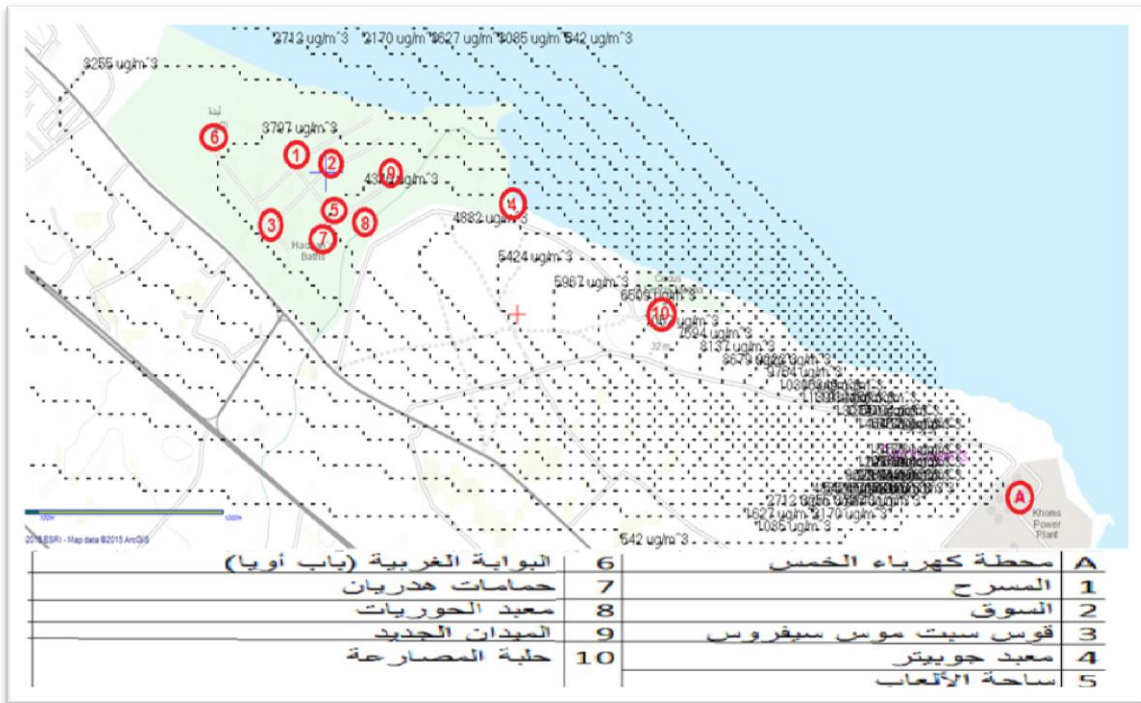
3. 1 تراكيز الملوثات في المدينة الأثرية

إن الزيادة في الإنبعاثات الغازية لمحطتي الكهرباء بالخمس يمكن أن تؤدي إلى زيادة في تراكيز غازات NO_x-SO_2 فوق المناطق المجاورة لها، والتي منها مدينة لبدة الأثرية، متجاوزة القيم الحدية في الوصفات واللوائح الدولية الخاصة بجودة الهواء، والجدول (3. 1) يبيّن هذه الحدود لبعض الدول في العالم، بما فيها المعايير الموصى بها من منظمة الصحة العالمية، مما يجعل المنطقة بما فيها من بشر وحجر عرضه لتآثيراتها المختلفة، خاصة البشر حيث تعد المناطق المجاورة للمحطة، والواقعة ضمن نطاق تأثيرها هي الأكثر تدنياً من حيث جودة الهواء.

جدول (3.1) القيم الحدية لتركيز الملوثات الغازية الخاصة بجودة الهواء الجوي (ميكروجرام/م³) لبعض المواصفات القياسية لدول العالم.

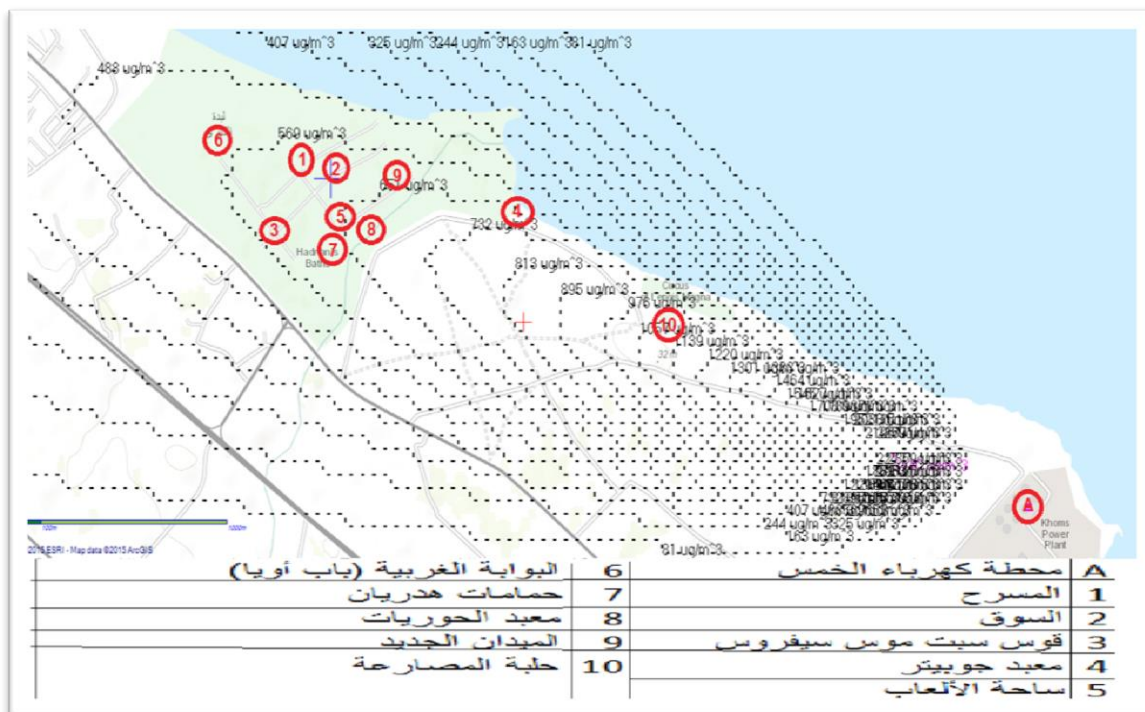
المعايير الليبية ميكروجرام/م ³	المعايير مصر ميكروجرام/م ³	المعايير السعودية ميكروجرام/م ³	المفوضية الأوروبية للبيئة ميكروجرام/م ³	المعيار نوع الانبعاث
٣٥٠/ساعة	٣٥٠/ساعة	٨٥	٣٥٠/ساعة	ثاني أكسيد الكبريت (SO ₂)
٤٠٠/ساعة	٤٠٠/ساعة	١٠٠	٢٠٠/ساعة	أكاسيد النيتروجين (NO _x)
الهيئة العامة للبيئة ٢٠٠٨	القانون المصري، ٢٠٠٥	رئاسة الأرصاد وحماية البيئة، ٢٠٠٣	ECE, ٢٠١٠ ECE, ١٩٩٧	المراجع

يمثل الشكل (3.1) تركيز غازات أكاسيد النيتروجين في منطقة الدراسة، والناتجة عن انتشار الإنبعاثات الغازية عبر الرياح المتوجهة من جهة محطة الكهرباء إلى مدينة لبدة الاثرية، ويظهر منه أقصى تركيز لأكاسيد النيتروجين في الهواء الجوي، كانت في محيط حلبة المصارعة بمدينة لبدة الاثرية وهي 6509 ميكروجرام /متر³، إما داخل المدينة الاثرية فقد تتراوح من 4340 - 3255 ميكروجرام /متر³، وبمقارنة هذه التركيز المتحصل عليها من عملية محاكاة الانتشار عبر برنامج الدسبر مع المعايير الدولية لجودة الهواء، ومن جدول (3.1) تبين أنها تزيد عشرة أضعاف لأقصى تركيز مسموح به لأكاسيد النيتروجين في الهواء.



شكل (3. 1): التراكيز المتوقعة لأكسيد النيتروجين في المنطقة المجاورة لمحطة الكهرباء ومدينة لبدة الاثرية.

كما يتبيّن من الشكل (3. 2) والذي يمثل التراكيز المتوقعة لغاز ثاني أكسيد الكبريت في الهواء الجوي بالمنطقة، والناتجة عن انتشار الإبعاثات الغازية لمحطة الكهرباء، تحت تأثير الرياح المتجهة من جهة المحطة إلى مدينة لبدة الاثرية، إن تراكيز غاز ثاني أكسيد الكبريت بلغت في محيط مسرح المصارعة - والذي يمثل الحد الشرقي للمدينة الاثرية - $976 \text{ ميكروجرام}/\text{متر}^3$ ، أما داخل المدينة الاثرية يتراوح الترکیز بين $488 - 651 \text{ ميكروجرام}/\text{متر}^3$ وبمقارنة هذه التراكيز المتحصل عليها من عملية المحاكاة مع المعايير الدولية لجودة الهواء والمسار إليها في جدول (3. 1) تبيّن أنها تفوقها بعدة إضعاف لأقصى تركيز مسموح به لأكسيد الكبريت في الهواء وفقاً لجميع المعايير الدولية.



شكل (3.2): التراكيز المتوقعة لثاني أكسيد الكبريت في المنطقة المجاورة لمحطة الكهرباء ومدينة لبدة الاثرية.

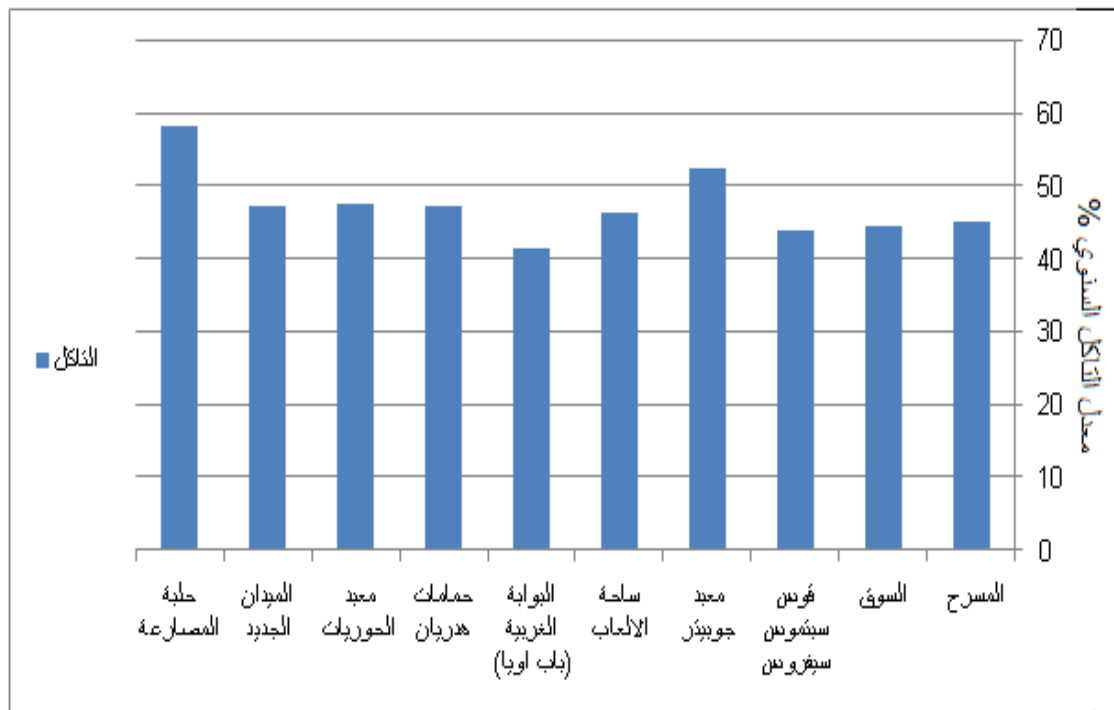
ويمكن إن يعزى الارتفاع في التراكيز القصوى لأكاسيد الكبريت والنيتروجين المتحصل عليها بمدينة لبدة، بشكل أساسى لقربها من محطة توليد الطاقة الكهربائية، والجدير بالذكر إن هذا الارتفاع في تراكيز الغازات الملوثة في منطقة الدراسة ليس بشكل دائم على مدار السنة، وإنما يمثل هذا الارتفاع في التراكيز الأوقات التي تهب فيها الرياح على المدينة الاثرية من جهة محطة الكهرباء، وهذا عمليا يمثل ما نسبته 16% من أيام السنة (Raczynski, A and Watson, R.T. 1999) يمكن الإحساس بوجودها في الهواء الجوى بواسطة الشم، إذا أصبحت تراكيزه في نطاق 1,000–3,000 ميكروجرام/م³، وهذا يظهر عند مقارنة النتائج المتحصل عليها من معالجة الانشار مع الملاحظات الميدانية للسكان في المنطقة القريبة من المحطة، والذين يؤكدون وجود روائح حادة وكريهة للهواء القادم من اتجاه محطة الكهرباء، مما يعزز صحة النتائج المتحصل

عليها من عملية معالجة الانتشار. وعلى الرغم من أن التراكيز المتوقعة لانتشار ثاني أكسيد الكبريت في الهواء الجوي بمنطقة الدراسة، تعد أقل من تراكيز ثاني أكسيد النيتروجين، إلا أنه يشكل ملوثاً رئيسياً، وعلى الأخص في المناطق الأقرب إلى محطة الكهرباء بسوق الخميس، ولبدة، متتجاوزة للمعايير الموصى بها من منظمة الصحة العالمية، مما يزيد من احتمال ارتباط هذا الملوث بالمنطقة بأمراض الجهاز التنفسي والعيون، والجدير بالذكر هنا أن مصادر أخرى للتلؤث كالسيارات ومصانع الاسمنت تساهم أيضاً في تدني الهواء الجوي والصحة العامة، وهذا ما لم تتناوله هذه الدراسة.

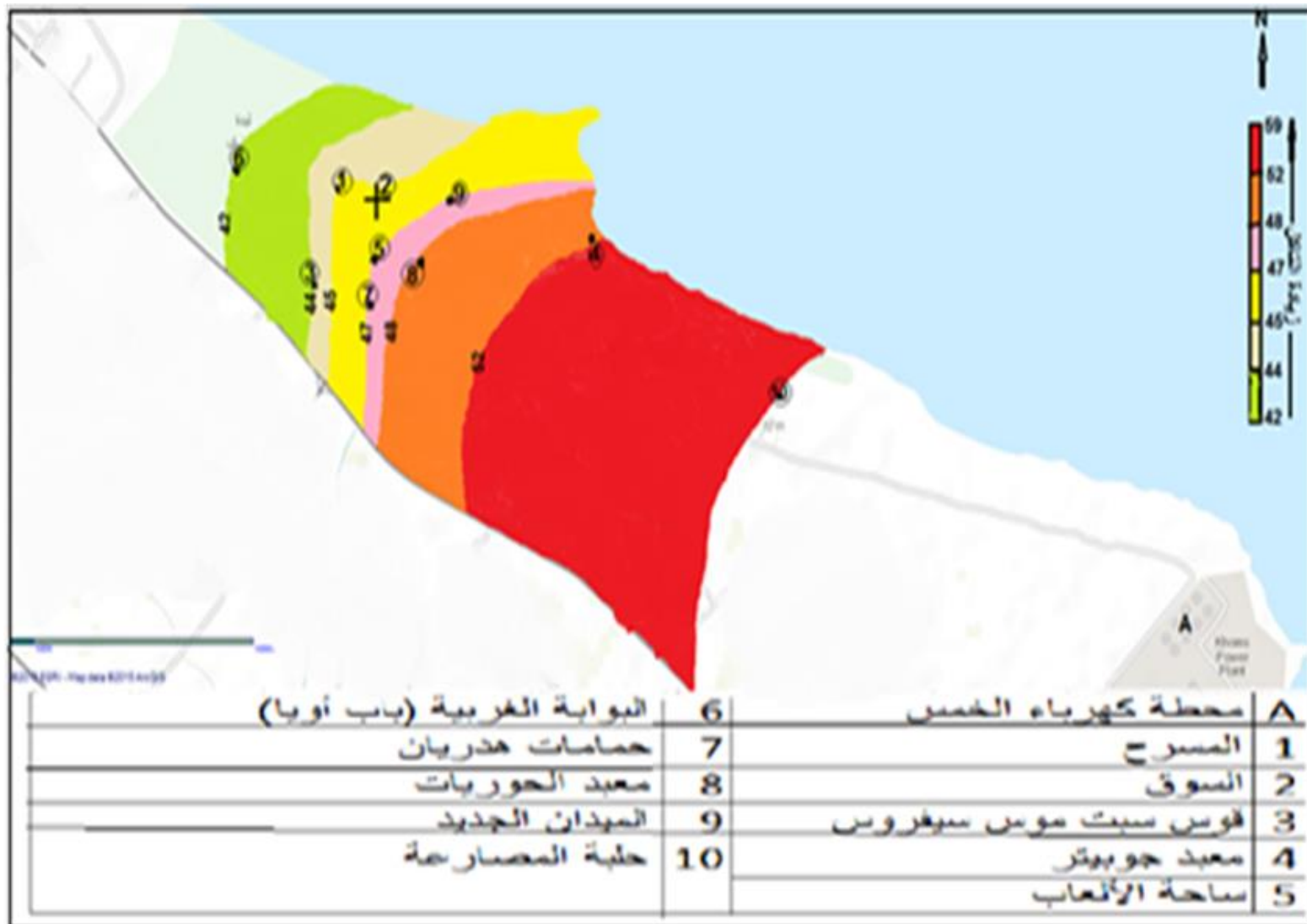
2.3 معدلات التأكل المتوقعة في صخور المدينة

لقد تم دراسة معدلات التأكل المتوقعة على صخور الرخام بالمدينة ، كنموذج للدراسة في هذا الجزء، بعد إن اختيرت عينة من الرخام من مناطق مختلفة بالمدينة، وبالتعويض في معادلة تأكل الرخام والتي تم الإشارة إليها في الباب الثاني وباستخدام تراكيز كل من ثاني أكسيد الكبريت واكاسيد النيتروجين المتحصل عليها من عملية معالجة الانتشار باستخدام برنامج الدسبر نحصل على المعدلات الشهرية لتأكل الرخام بالمدينة الاثرية والموضحة في الشكلين (3. 3 و 3.4). وتبيّن هذه النتائج وجود تأثير واضح للتلؤث الناتج عن محطتي الكهرباء على الأعمدة الرخامية للمدينة الاثرية، ويتبّع أيضاً إن هذا التأثير يكون أكبر ما يمكن في شهر مارس وكل من أغسطس وسبتمبر، وهذا الارتفاع يمكن إن يرجع إلى ارتفاع معدلات الرطوبة النسبية، في هذه الأشهر كما يظهر من شكل (1. 13). وبجمع المعدلات الشهرية لتأكل في الرخام نجد إن معدل التأكل السنوي في الرخام بالمدينة الاثرية يمكن إن يبلغ 58.53 ميكرومتر في السنة، وهذا الرقم يعد كبيراً إذا ما لاحظنا إن مدينة أثرية يبلغ عمرها ألفاً سنتين وتعد من الإرث الإنساني التاريخي حيث إننا يمكن إن نفقد ما يعادل 1.75 ملم في غضون ما يقرب من 30

سنة، وهذا يعني إننا في هذه المدة قد ن فقد هذا الإرث الإنساني المهم الذي عمره آلاف السنين وتوضح الصورة المرفقة بالملحق (7) حجم التأثير الذي يعنيه تأكل في الرخام بمقدار 3 ملم على تمثال رحامي، وتنتفق هذه النتيجة التي تحصلنا عليها مع ما أشار إليه ابوعربيه وآخرون سنة (2004) من إن الأعمدة الرخامية والجرانيتية للمدينة الاثرية تتعرض بشكل ملحوظ لعمليات تأكل شديد، وعليه فأننا يجب إن نعمل من الآن على حماية هذه المدينة العريقة من التلف، شكل (3 . 4) خطوط الكنتور تبين معدلات تأكل السنوية للرخام في المدينة الاثرية الخمس.

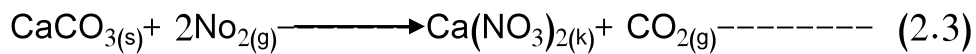


شكل (3 . 3) : معدلات التأكل السنوية في الرخام بمدينة لبدة الاثرية تحت تأثير التلوث من محطة الكهرباء بالخمس.



شكل (3.4) خطوط كونتورية تبين معدلات التأكل السنوية للرخام في المدينة الأثرية.

ويشكل الرخام الجزء الأكبر والأكثر عرضة للضرر في المدينة الأثرية، فمنه تتشكل التماضيل الأثرية، والأعمدة الرخامية المختلفة والمميزة لهذه المدينة العظيمة (ابوعربية وآخرون، 2004)، ويكون الرخام بأنواعه المختلفة كيميائياً من مادة كربونات الكالسيوم CaCO_3 ، وهذه المادة بطبيعتها القلوية تتأثر بشدة بملوثات الهواء ذات الطابع الحمضي (اكاسيد الكبريت والنیتروجين) وخاصة في وجود معدلات عالية من الرطوبة الجوية أو كميات كبيرة من المطر، حيث أنه عند تعرض الرخام إلى هذه الاكاسيد في وجود الأكسجين فإنه يتتحول إلى أملاح كبريتات ونيترات مسبيبة التآكل وذلك وفق للمعادلات التالية (Boden, 1989):



ويلاحظ من المعادلة الأولى انه بتفاعل ثاني أكسيد الكبريت مع الرخام سيتكون الجبس (كبريتات الكالسيوم) والذي له حجم اكبر من حجم الرخام الأصلي مما سيؤدي إلى تشقق وتقشر أعمدة وتماثيل الرخام المتواجدة في مدينة لبده الأثرية كما يظهر بوضوح في الصور المدرجة في الملحق من 1 إلى 3 و5، وكذلك بالنسبة للحجر الجيري والجرانيت ألوصف بالملحق 4 و6 ، كما يعتبر الجبس نيترات الكالسيوم أكثر ذوبانية في الماء من الرخام مما يساعد على إزالتها عبر الغسيل بمياه الأمطار، وهذا يؤكد على التأثير السلبي لأكاسيد الكبريت والنیتروجين على الرخام، حتى في أوقات الجفاف على الرغم من إن التأثير يكون أشد مع وجود مياه الأمطار نظر لكون المطر الحمضي، كما يلاحظ إن وجود اكاسيد النیتروجين بالإضافة إلى كونها تسبب التآكل عبر إذابة الرخام كأملاح نيترات الكالسيوم، فإنها أيضاً تؤدي إلى زيادة تأثير اكاسيد الكبريت عبر عملية الأكسدة.

3.3 تحليل العينات بالأشعة السينية المفلورة

لعرض الزيادة في التدقيق لمعدلات التأكيل تم الاستعانة بتحاليل كيميائية لبعض العينات لمعرفة نسبة الاكاسيد بها، والتي تشير إلى مقدار التغير في التركيب الكيميائي للصخور وكانت كالتالي:

3.3.1. عينات الرخام:

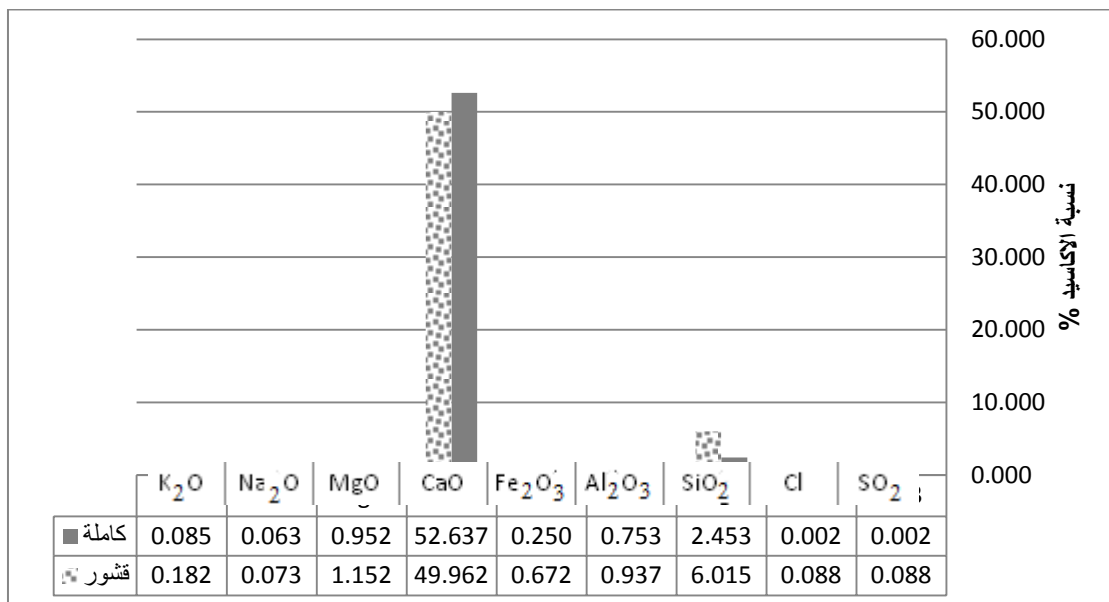
من نتائج تحليل الأشعة السينية المفلورة لعينة من الرخام، وعينة من القشور المتكونة عليها، كما هي مبينة بالشكل (3.5)، والتي تظهر إن المكون الرئيسي الداخل في تكوين الرخام هو الكالسيوم (على صورة كربونات كالسيوم)، حيث تبلغ نسبة تواجده في العينات الأصلية 52.637 % من إجمالي العناصر المكونة لعينة، وإن هذه النسبة قد انخفضت إلى 49.962 % في عينات القشور الماخوذة من على نفس عينات الرخام، وهذا الانخفاض يمكن إن يرجع بشكل أساسي إلى عمليات التجوية الكيميائية، الناتجة عن تكون كبريتات الكالسيوم، التي بالرغم من كونها شحيدة الذوبان في الماء $K_{sp(CaSO_4)}=4.93\times10^{-5}$ إلا أنها تبقى أكثر ذوبانية من مركبات كربونات الكالسيوم ($K_{sp(CaCO_3)}=3.36\times10^{-9}$) (إسلام، 2001م)، ومما يؤيد فرضية تكون الكبريتات في عينات قشور الرخام تواجد مركبات الكبريت فيها، حيث بلغت نسبة تواجدها 0.088 % بعد إن كانت في العينات الأصلية نادرة التواجد.

3.3.2. عينات الحجر الجيري:

تعتبر مركبات الكالسيوم المكون الرئيسي لعينات الحجر الجيري، حيث تبلغ نسبة تواجدها في هذه العينات قرابة 47 % من إجمالي المكونات، ومعه توجد مركبات السيليكون بنسبة 10 %، وبمقارنتها بنتائج تحاليل القشور الماخوذة من نفس العينة تبين، إن مركبات الكالسيوم تزداد في عينات القشور وتبلغ نسبتها 48.813 %، بينما تختفي نسبة تواجد مركبات

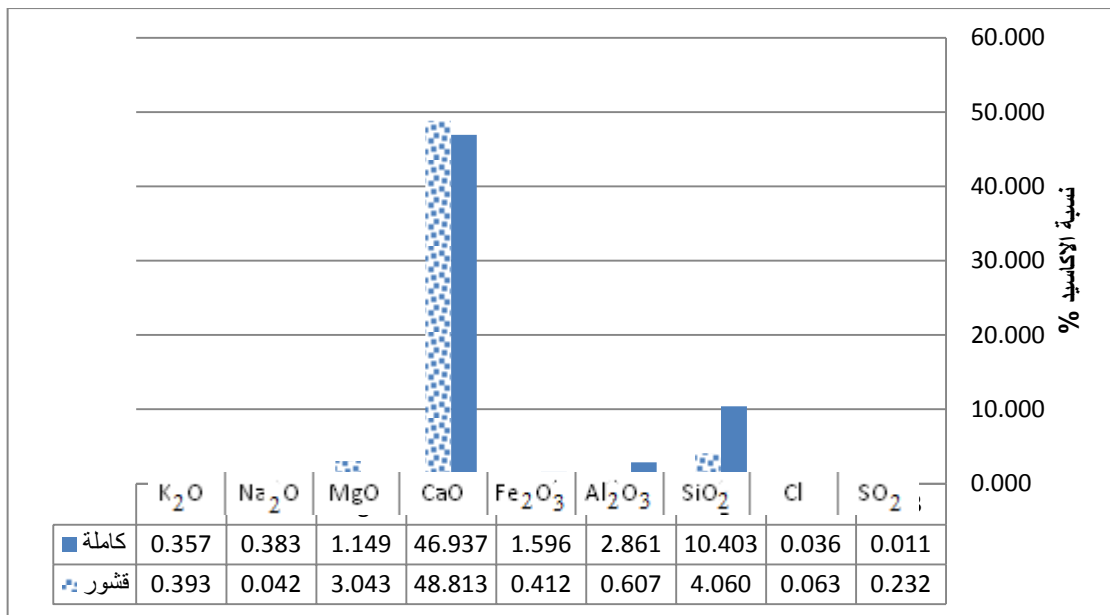
السيلكون حتى 4.06% والشكل (3.6) يوضح المقارنة بين عذع النسب، وهذه التغيرات في

التركيب الكيميائي



شكل (3.5): النسبة المئوية لتوارد العناصر الرئيسية في عينة من الرخام وعينة من القشور المكونة عليها.

بين العينات الأصلية وعينات القشور، يمكن إن ترجع بشكل كبير إلى تأثيرات التفاعلات الكيميائية، وعمليات التجوية على التركيب الكيميائي على هذا الحجر، ومما يؤكد هذه الفرضية وجود انخفاض ملحوظ في نسبة توارد مركبات بعض العناصر الأخرى في عينات القشور، مقارنة بالعينات الأصلية فمركبات الصوديوم على سبيل المثال انخفضت نسبتها من 0.383% إلى 0.042%， وكذلك الحال بالنسبة لمركبات السيلكون والالومنيوم والحديد ، بينما ارتفعت نسبياً مركبات الماغنيسيوم من 1.149% إلى 1.043%， وكذلك مركبات الكبريت ارتفعت نسبة تواردها من 0.011%， إلى 0.232% وهذا يمكن إن يكون ناتجاً عن تكون كبريتات الماغنيسيوم وكبريتات الكالسيوم.

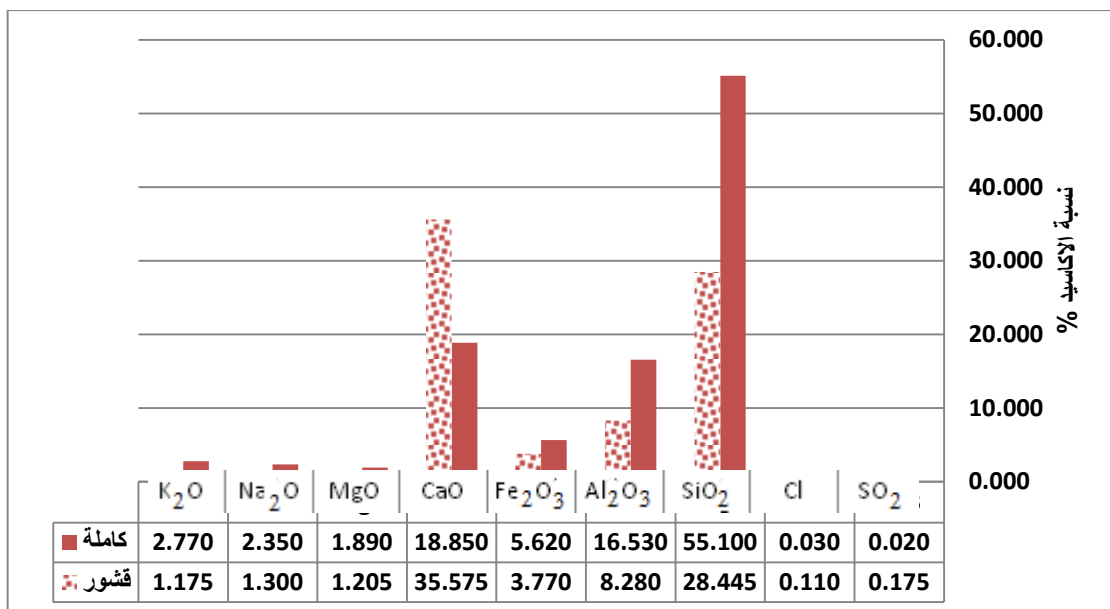


شكل (3.6): النسبة المئوية لتوارد العناصر الرئيسية في عينات من الحجر الجيري وعينات من القشور المتكونة عليها.

3.3.3. عينات الجرانيت:

إن نتائج تحليل الأشعة السينية المفلورة لعينات الجرانيت، وعينات القشور المتكونة عليها، والنسبة المئوية لتوارد هذه العناصر في العينات. أن عينات الجرانيت في الأصل كانت تتكون بشكل أساسي من أكسيد السيليكون بنسبة أكبر من 55% وأكسيد الكالسيوم بنسبة 18.85% مع بعض أكسيد الألومنيوم بنسبة أكبر من 16%， وان عمليات التجوية المختلفة على العينات قد أدت إلى نقص ملحوظ في نسبة تواجد أكسيد السيليكون في القشور المتكونة على العينات حيث قلت إلى 28.445%， وكذلك في أكسيد الألومنيوم والذي انخفضت نسبة تواجد مركباته إلى قرابة النصف حيث بلغت 8.28%， وهذا يمكن أن يرجع إلى تفتق الصخر وتساقط بعض المركبات المكونة له أو تطايرها مع الرياح وعوامل التعرية الأخرى، بينما ازدادت نسبة تواجد مركبات الكالسيوم في قشور الجرانيت حتى بلغت 35.575% مما يدل على وجود ترسيب لأملاح كلوريدات الكالسيوم ذاتية في الماء مع احتمال وجود تجوية

كيميائية للصخر تكون عنها مركبات كبريتات الكالسيوم الشحيحة الذوبان في الماء، ومما يعزز هذه الفرضية زيادة نسبة اكسيد الكبريت في عينات القشور (0.175 %) مقارنة بعينة الخام الأصلية (0.02 %)، وكذلك الحال بالنسبة للكلوريد فقد كانت نسبة تواجده 0.03 % وبلغت هذه النسبة 0.11 %، والشكل (3.7) يبين مقارنة بين النسي في كل من العينة الصخرية والقشور التي تكونت عليها بفعل التجوية.

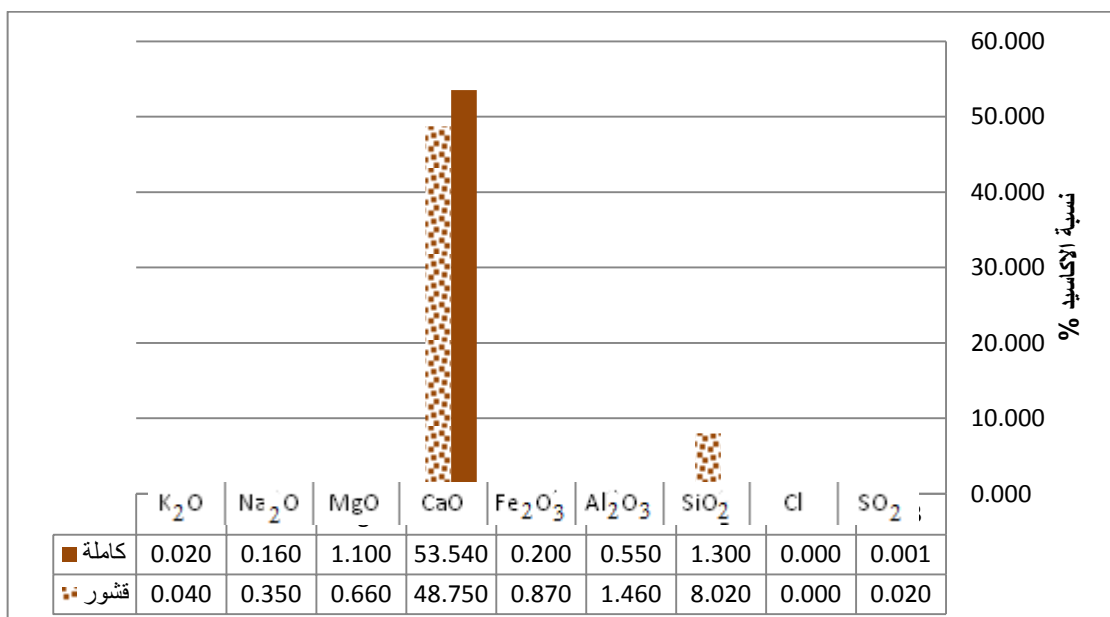


شكل (3.7): النسبة المئوية لتواجد العناصر الرئيسية في عينة من الجرانيت وعينة من القشور المتكونة عليها.

3.4 عينات الشست:

يظهر من نتائج تحليل عينات الشست المبينة في شكل (3.8) إن أكثر من 53.5% من مكونات العينة الأصلية يتكون من مركبات الكالسيوم، وان هذه المركبات انخفضت في عينات القشور (أو الفتات) إلى 48.75%， وهذا الانخفاض يمكن إن نزعوه إلى عمليات تجوية وتفتت وتطاير مع الرياح لعينات الشست، ولكون العينات أخذت من مناطق بعيدة نسبياً عن البحر وقليلة التعرض لمياه الأمطار، وبالتالي لانخفاض النسبة في تأثير عملية الذوبان على عينات الصخر الأصلي، مما يعزز هذه الفرضية الارتفاع الملحوظ في نسبة تواجد مركبات العناصر

الأكثر ذوبانية في عينة الصخور، مثل الصوديوم والبوتاسيوم والالومنيوم والحديد والتي ارتفعت من 0.16% إلى 0.35% ومن 0.02% إلى 0.55% ومن 0.04% إلى 1.46% ومن 0.2% إلى 0.87% لكل منها على التوالي، كما يدل عدم وجود أملاح الكلوريد في العينات بسبب بعدها عن البحر، مما يعني عدم التعرض لرذاذ ماء البحر وترسب أملاح الكلوريد التي لوحظت في عينات الأنواع الأخرى من الصخور التي تم دراستها، إلا إن وجود زيادة نسبية في نسبة تواجد أملاح الكبريت في عينات الصخور مقارنة بالعينات الأصلية، يمكن اعتباره مؤشراً على تعرضها لعمليات تجوية كيميائية، نتيجة التلوث بأكسيد الكبريت، التي تذوب في الماء المكون لرطوبة الهواء الجوي ومن ثم تترسب على السطح الخارجي للصخور.

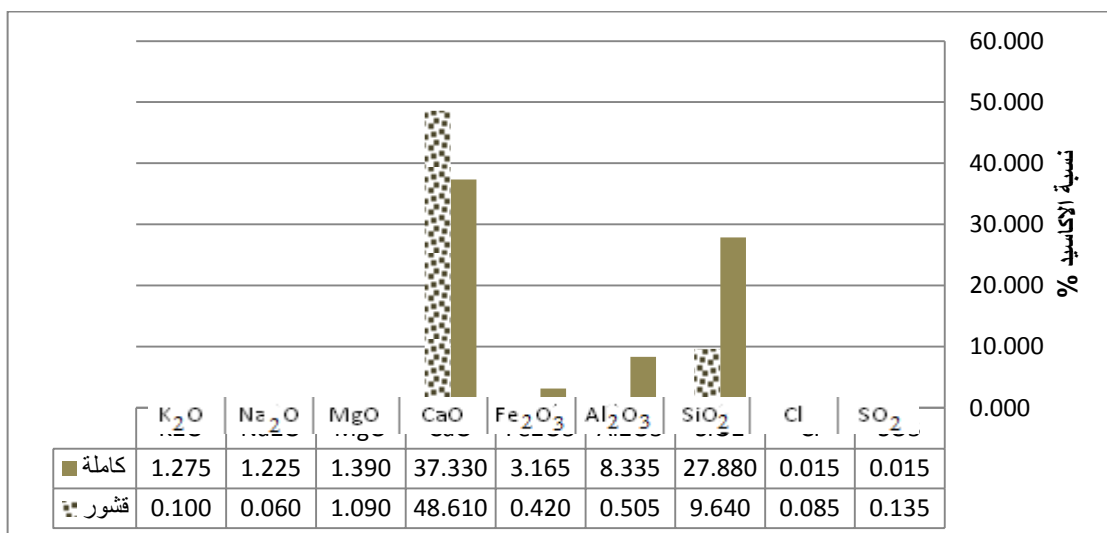


شكل (3.8): النسبة المئوية لتواجد العناصر الرئيسية في عينات من الشست وعينات من القشور المكونة عليها.

3.3.5 الحجر الجيري الرملي:

يتكون هذا الحجر بشكل أساسى من مركبات السيلكون (SiO_2) ومركبات الكالسيوم ($CaCO_3$)، وهذا ما يمكن ملاحظته في تركيب العينات الأصلية التي أخذت من المنطقة، وتم

تحليلها باستخدام جهاز الاشعة السينية المفلورة والممثلة والشكل (3.9) يبين نسب كل من هذه المركبات، حيث بلغت نسبة تواجد مركبات السيلكون والكالسيوم في العينات المدروسة 27.88 % و 37.33 % لكل منها على التوالي، كما تواجد مركبات لكل من الالومنيوم والحديد في هذه العينات الأصلية بنسبة تبلغ 8.335 % و 3.165 % لكل منها على التوالي، إلا انه يلاحظ أيضا من الشكل (3.9) إن التركيب الكيميائي للحجر قد تغير بشكل ملحوظ في عينات القشور مقارنة بالعينات الأصلية حيث انخفضت بشكل واضح نسبة تواجد مركبات السيلكون حتى بلغت 9.64%， وكذلك انخفضت نسبة تواجد مركبات كل من الالومنيوم والحديد وبلغت 0.505% و 0.42% لكل منها على التوالي، وهذا الانخفاض في نسبة التواجد شمل أيضا مركبات كل من الصوديوم والبوتاسيوم والماغنيسيوم، بينما كان هناك ارتفاع واضح في نسبة تواجد مركبات الكالسيوم التي بلغت 48.61%， وكذلك وجد ارتفاع ملحوظ في نسبة تواجد مركبات الكبريت والكلوريد، وهذه التغيرات الواضحة في التركيب الكيميائي بين عينات الحجر الرملي وعينات القشور (الفتات) المتكونة عليه يدل بشكل كبير على حدوث عمليات تجوية كيميائية لهذا الصخر.



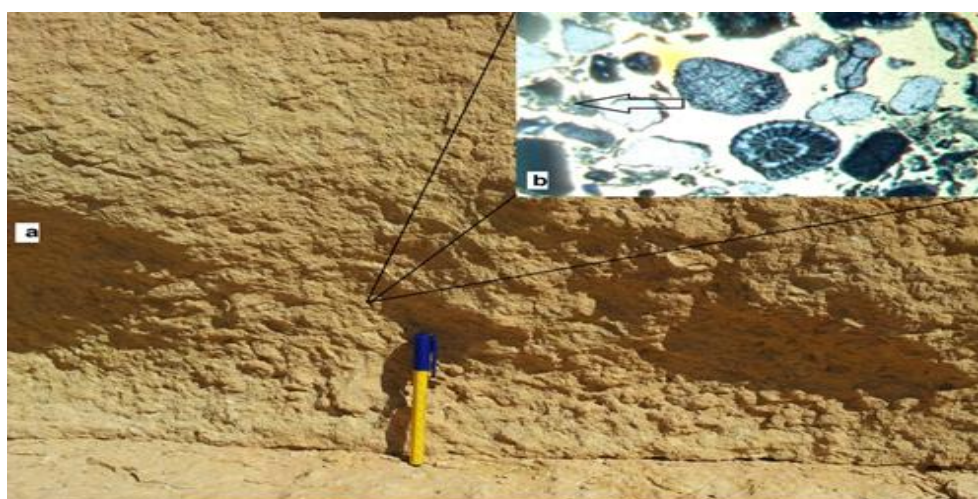
شكل (3.9): النسبة المئوية لتوارد العناصر الرئيسية في عينات من الحجر الرملي وعينات من القشور المتكونة عليها.

4.3 نتائج الفحص باستخدام المجهر الضوئي المستقطب

المجهر المستقطب هو أحد الأدوات الرئيسية لدراسة المعادن بدرجات تكبير مختلفة، وخاصة المعادن المكونة للصخور وبالدرجة الأولى المعادن الشفافة، ولغرض معرفة التغيرات التي طرأت على الصخور، تم عمل شرائح رقيقة (Thin Section) ودراستها لعدد (16) عينة من الصخور النارية والرسوبية والمحولة، وفيما يلي شرح مبسط لمظاهر تأثير العوامل الخارجية على سطح الصخور، ومقارنته مع ما يمكن رؤيته بالعين المجردة.

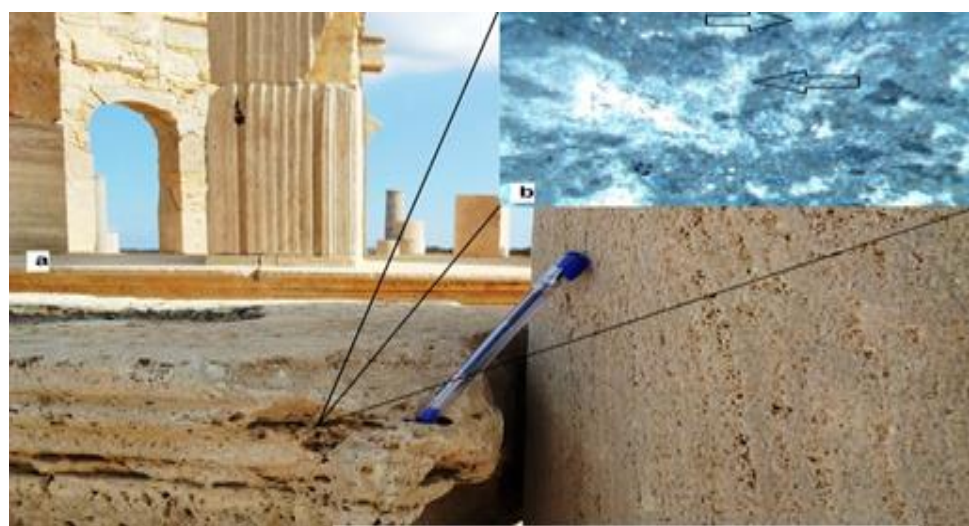
4.3.1 الصخور الرسوبية

-عينة حجر الجيري الرملي: أخذت من معد الحوريات وهي صخور رسوبية تتكون حبيبات دقيقة من الكالسيوم والكوارتز والفلدسبار (تكوين فرقارش)، وهو كثيف ومتجانس، يحدث فوراً ان سريع مع حمض الهيدروكلوريك المخفف الشكل (3. 10)، المقطع a يبين إن الصخر متآثر بعمليات التجوية من خلال المادة اللاhmaة الأكثر ضعفاً ثم الأكثر صلابة فيتفتت الصخر. المقطع المجهري b يوضح بعض المتحجرات بها تأكل وتقتت كما مبين بالسهم والتفتت أكثر وضوحاً حتى باستخدام اليد نتيجة الإذابة للمادة اللاhmaة.



شكل(10.3) a جدار من الحجر الجيري الرملي b صورة المجهر المستقطب.

- عينة الحجر الجيري: أخذت من السوق وهي صخور رسوبية غير فاتاتيه، من حبيبات دقيقة من الكالسيوم (تكوين الخمس)، وهو كثيف ومتجانس يحدث فوران سريع مع حمض الهيدروكلوريك المخفف الشكل (3. 11) المقطع a يبين إن الصخر متأثر بعمليات التجوية من خلال التقوب الأكثر ضعفا ثم الأكثر صلابة فيتفتت الصخر، والشريحة المجهرية b توضح إن الصخر اغلبه كالسيت، وهي بلورات بيضاء اللون ذات حواف غير منتظمة نتيجة إحلال الكبير الذي حدت للعينة مبينة باللون الداكن.



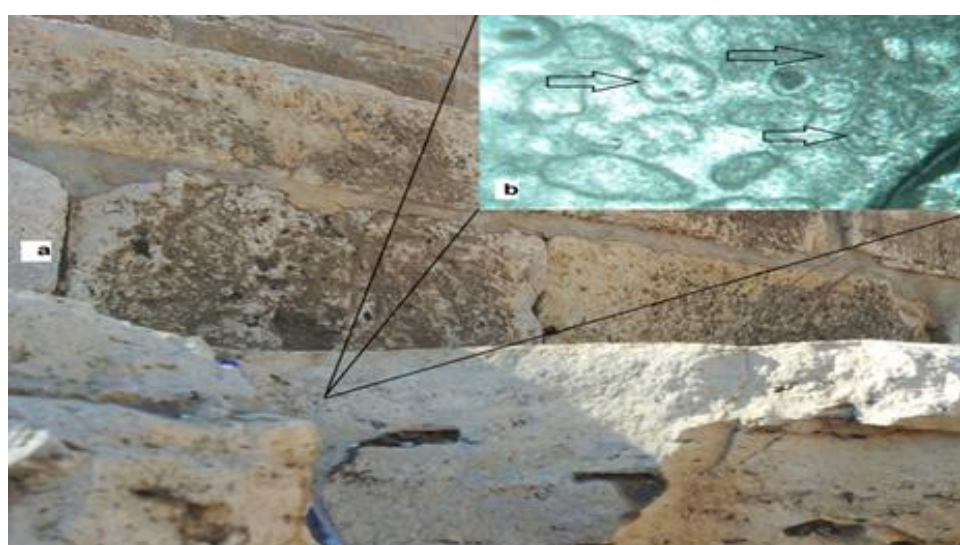
شكل(11.3) a قاعدة من الحجر الجيري b صورة المجهر المستقطب.

- عينة الحجر الجيري: من معبد جوبيتير وهي صخور رسوبية غير فاتاتيه من حبيبات دقيقة من الكالسيت (تكوين النقاذه) ، وهو كثيف ومتجانس يحدث فوران سريع مع حمض الهيدروكلوريك المخفف، الشكل (3. 12) المقطع a يبين إن الصخر متأثر بعمليات التجوية من خلال التقوب الأكثر ضعفا ثم الأكثر صلابة فيتفتت الصخر، والشريحة المجهرية b توضح إن الصخر حدت له إحلال وتأكل، كما مبين من خلال حواف المتحجرات السهم الأول والثاني إما السهم الثالث يوضح تأكل ضعيف بسبب صلابة المتحجر.



شكل(12).a عمود من الحجر الجيري b صورة المجهر المستقطب.

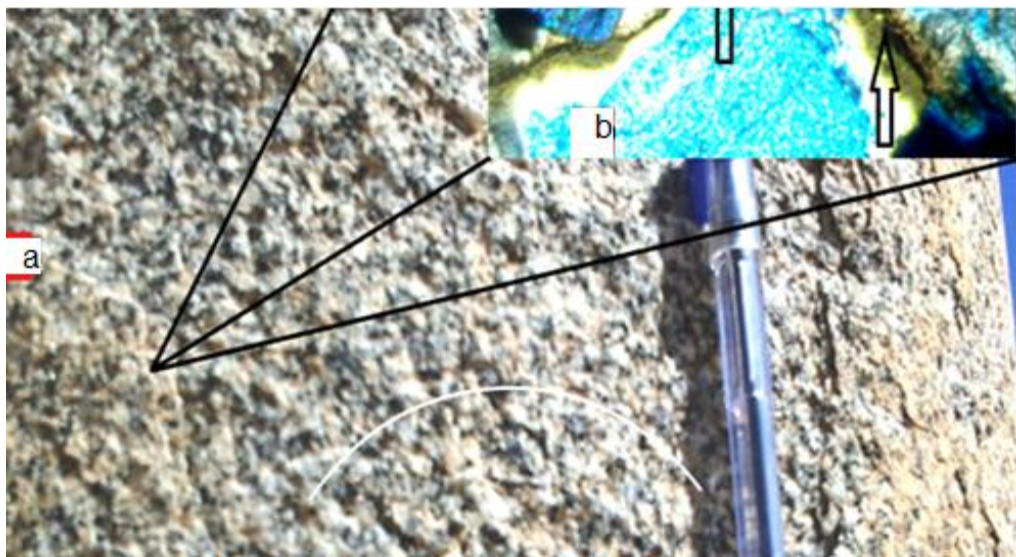
- عينة من الحجر الجيري: موقعها حلبة المصارعة وهي صخور رسوبية غير فاتاتيه من حبيبات دقيقة من الكالسيت (تكوين النقاذه)، وهو كثيف ومتجانس يحدث فوران سريع مع حمض الهيدروكلوريك المخفف، الشكل (13.3) المقاطع a يبين إن الصخر متاثر بعمليات التجوية من خلال التقوب الأكثرب ضعفا ثم الأكثرب صلابة فيتفتت الصخر، الشريحة المجهرية b توضح انحلال كبير في حواف البلورات وتكون انتقه من معادن جديدة على الحواف وأحياناً انحلال كامل للبلورة كما في السهم العلوي.



شكل(13).a مقاعد حجر الجيري b صورة المجهر المستقطب.

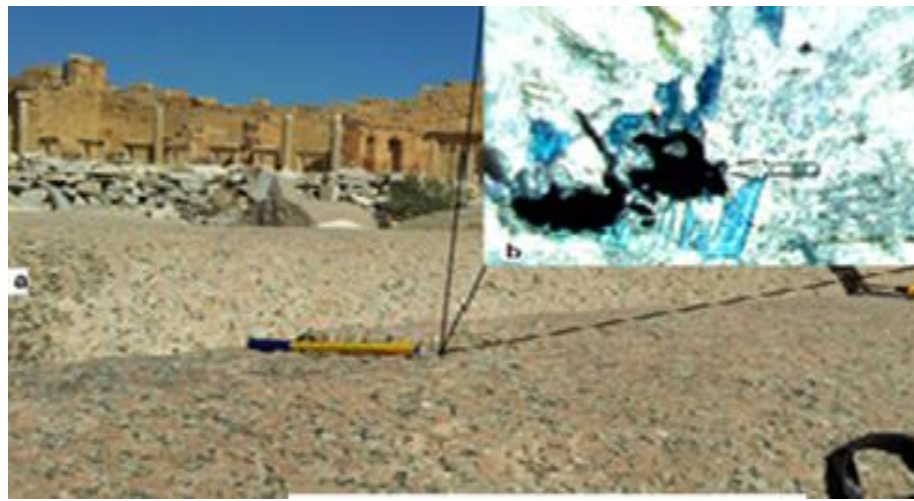
2.4.3 الصخور النارية :

- عينة جرانيت وردي: أخذت العينة من السوق البونوني، وهو صخر ناري خشن الحبيبات، المعادن الأساسية فيه كوارتز وفلدسبار والمعادن الثانوية بايوتايت، هورنبلند ومسكوفايت، يتحكم لون الفلدسبار في لون الصخر كله، حيث يكون إما رمادياً أو وردياً أو مائلاً إلى الأحمر الشكل (14.3) المقطع a. وبعد دراسة العينة تحت المجهر تبين هناك تغير في حواف البلورات وإحلال معادن جديدة كما مبينة بالأسماء في المقطع b، إما المقطع a يبين القشور التي يمكن رؤيتها بالعين المجردة، يعني بان هناك تحلل وإذابة بين بلورات المعادن يجعلها أكثر هشاشة وانسلاخ، وهذا ما توصلت إليه النتائج السابقة من حيث التأكيل.



شكل(14.3) a صورة قشور على عمود الجرانيت، b صورة المجهر المستقطب.

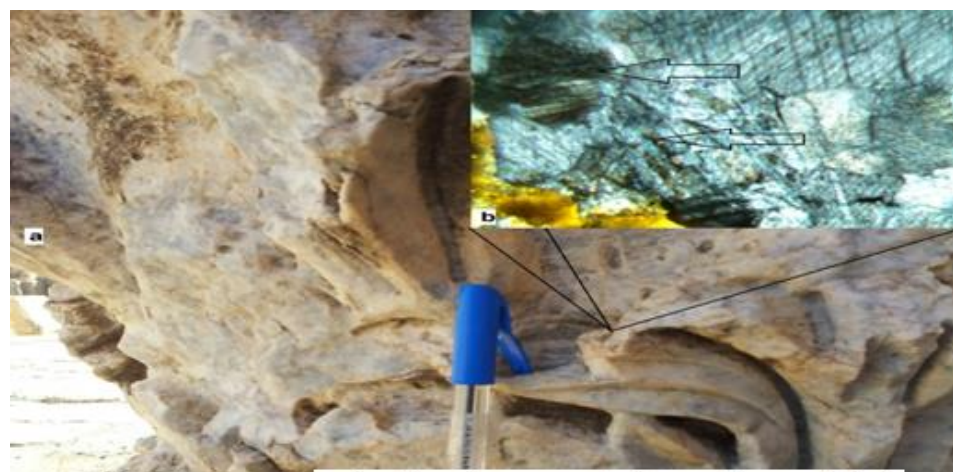
- عينة جرانيت وردي: من الميدان الجديد وهي صخور نارية فاتحة اللون خشتت الحبيبات، المعادن الأساسية فيه كوارتز وفلدسبار، والمعادن الثانوية بيوتايت وهورنبلند ومسكوفايت، يتحكم لون والفلدسبار في لون الصخر كله، حيث يكون رمادياً، أو وردياً، الشكل (15.3) المقطع a، الشرحة المجهرية المقطع b السهم يوضح إحلال معادن جديدة على البلاجيوكليز، ومن خلال الشرحة إن العينة في بداية الإحلال خلال حواف البلورات ولم تصل إلى التفكك .



شكل(3.15) a صورة عمود الجرانيت b صورة المجهر المستقطب.

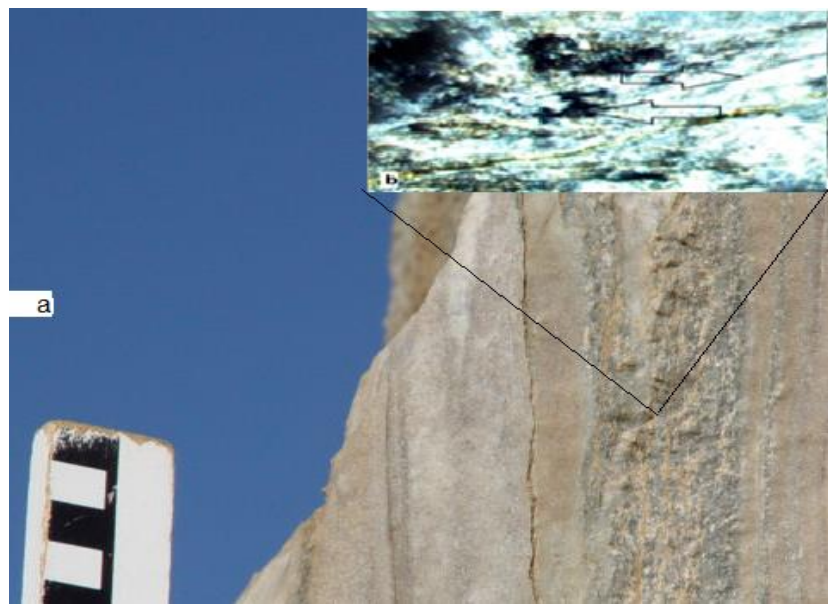
3.4.3 الصخور المتحولة

- عينة رخام: أخذت من المسرح الروماني، صخور ذات اللون من الأبيض إلى الرمادي كما موضح بالشكل (3.16)، المقطع a يوضح سرعة التآكل والانحلال أسرع بسبب مساحة السطح، الذي يكون أكبر في العينات المزخرفة لأن التعرض يكون أكبر من السطح المستوى. الشريحة المجهرية b توضح إن الصخر حدث له إحلال، وكذلك تغير اللون إلى الأسود مبين بالسهم، والسهم الثاني يبين الإحلال والتآكل في فوائل معدن الكالسيت.



شكل (16.3) زخرفة من المسرح a، صورة المجهر المستقطب b.

- عينة شيسست: أخذت من المسرح الروماني، وهي صخور متحولة، معظمها يتكون من معادن صفائحية مرتبة بشكل متوازي، ينفصل عادة عبر الأسطح المتوازية شكل(3. 17)، الشريحة المجهرية b توضح إن الصخر متكون من صفائح متسلسلة من المايكا والهورنبلند مبين (بالسهم العلوي)، وتحت الصفائح يوجد الكوارتز والفلدسبار، والتآكل والإحلال حدث على معادن الفلدسبار الأضعف والمتمثل باللون الأسود، وكذلك الشقوق (تحت السهم) مبين تآكل وإحلال بين بلورات المعادن.

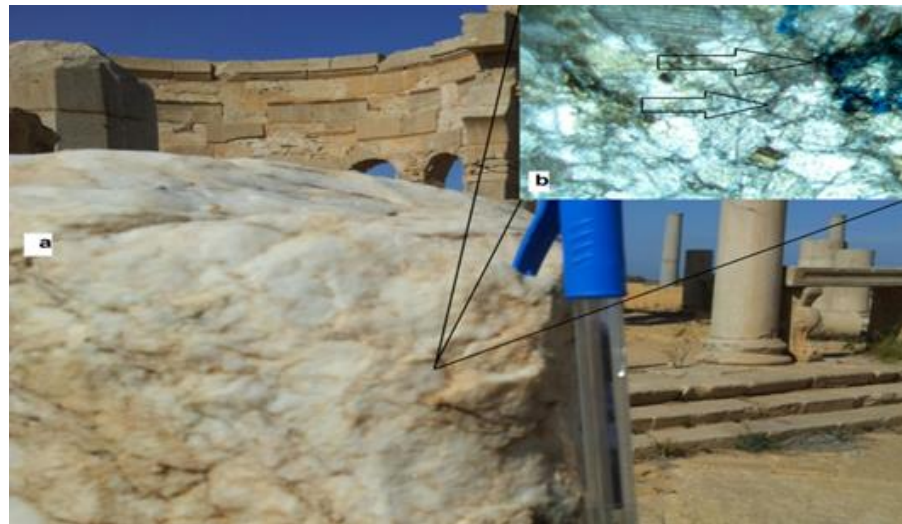


شكل (17.3) عمود من الشست في المسرح a، صورة المجهر المستقطب b.

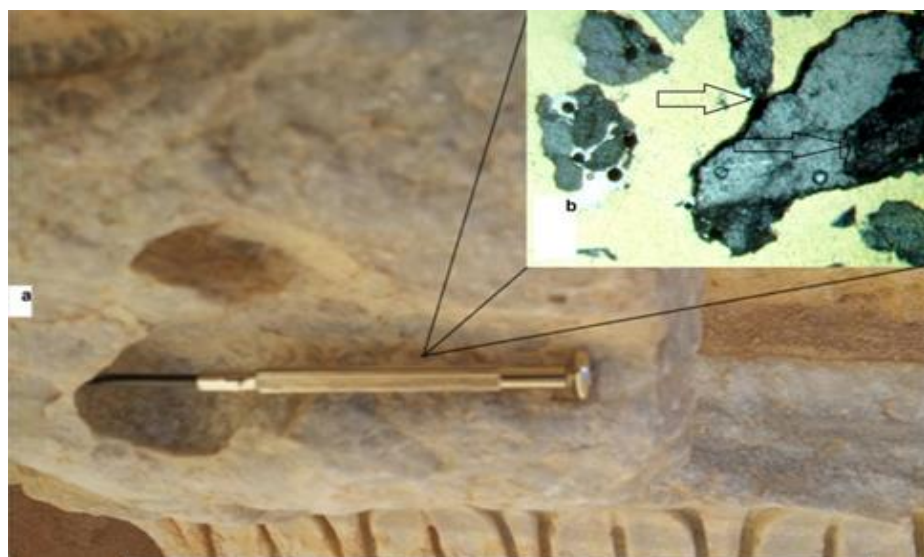
- عينة رخام: اختيرت من السوق اليونيقي، ونها من الأبيض إلى الرمادي كما موضح بالشكل (3. 18) في المقطع a، حيث تظهر علامات التآكل والانحلال أسرع بسبب مساحة السطح فكلما زادت مساحة السطح زادت الصخور تأثيراً، والشريحة المجهرية b تبين ذلك بوضوح أكثر من حيث تفكك وتآكل داخل الفوائل بين البلورات والمتمثلة باللون الغامق.

- عينة رخام: تم اختيارها من قوس سبيتيموس سيفيروس، لونه من الأبيض إلى الرمادي كما موضح بالشكل (3. 19) المقطع a، والشريحة المجهرية تظهر فيها التآكل والتفكك من خلال

معادن تنمو فوق الأخرى في الإطراف كما مبين بالسهم، وكذلك اللون الأسود من جهة السهم الثاني يوجد إحلال.



شكل (3.18) قاعدة من الرخام من السوق a، صورة المجهر المستقطب b.



شكل (3.19) زخرفة من الرخام منقوش سيفروس بيتموس a، صورة المجهر المستقطب b.

- عينة رخام: رخام من الأبيض إلى الرمادي اللون، من معبد جوبيتير، كما موضح بالشكل (3).
 (20) المقطع a، والشريحة المجهرية b توضح إن الصخر كله من معدن الكالسيت، وكذلك نمو

جديد بين البلورات كما موضح بالسهم، دليل على التآكل بين البلورات، يؤكد ما توصل إليه بالدراسة النظرية السابقة .



شكل(20.3) قاعدة من الرخام من معبد جوبكتير^a، صورة المجهر المستقطب b.

- عينة رخام: جمعت من ساحة الالعاب لونها أبيض رمادي، ويسمى بالبريشية التكتونية كما موضح بالشكل (21.3) المقطع a، والشريحة المجهرية b توضح تغير في بلورات الكالسيت ناهيك عن الفوائل وإحلال معادن أخرى وال المشار إليها بالأسماء، والإحلال كما موضح مسبقاً إما إن تكون كبريتات أو نيترات محل الكربونات.



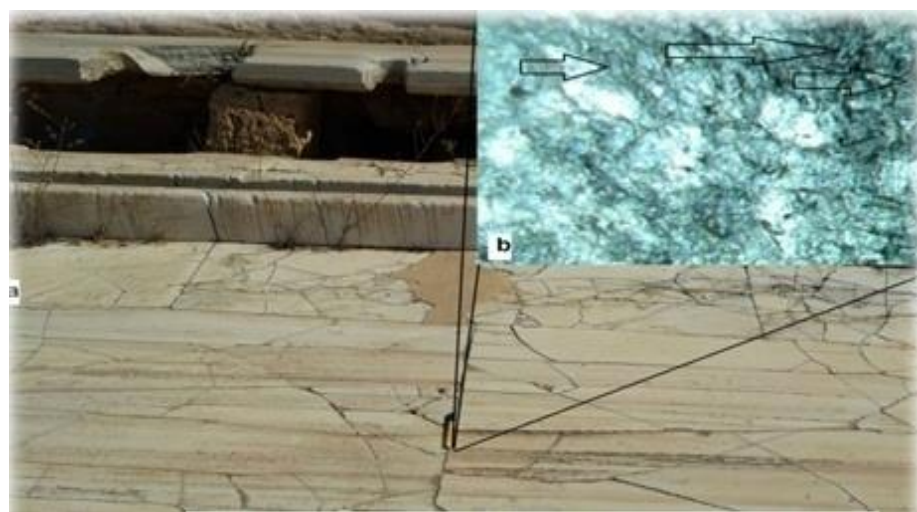
شكل (21.3) عمود من الرخام من ساحة الألعاب a، صورة المجهر المستقطب b.

- عينة رخام: من البوابة الغربية لونها من الأبيض إلى الرمادي كما موضح بالشكل (3. 22) المقطع a، والشريحة المجهرية b توضح الأسمم تفكك وتأكل داخل الفوائل بين البلورات والمتمثلة باللون الغامق.



شكل(3. 22) قاعدة من الرخام من البوابة الغربية a، صورة المجهر المستقطب b.

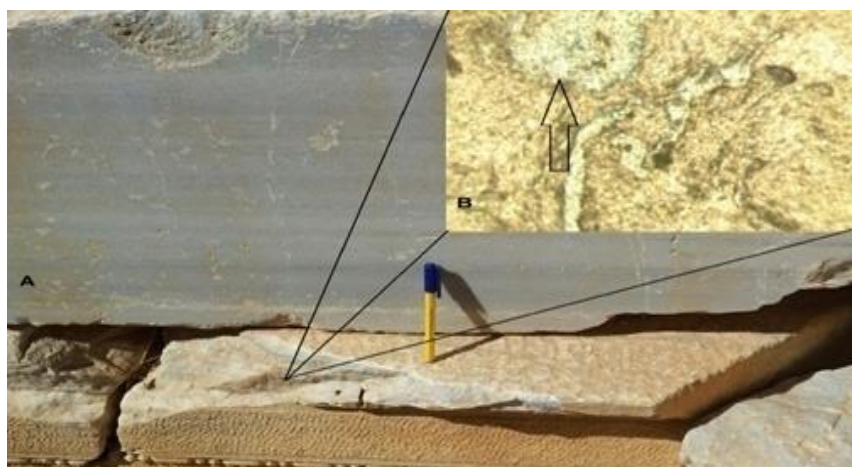
- عينة رخام: لونها من الأبيض إلى الرمادي من حمامات هادريان (ملقاً على الأرض)، كما موضح بالشكل (3. 23) المقطع a، والشريحة المجهرية b توضح بان هناك إحلال ينمو فوق بلورة الكالسيت اللون الأسود وال المشار إليها بالأسماء التي على اليمين، واختفى حواضن بلورات الكالسيت بسبب الإحلال المتغلل من خارج البلورة إلى داخلها (السهم الذي على اليسار).



شكل (23.3) أرضية رخام من حمامات هادريان a، صورة المجهر المستقطب b.

- عينة رخام: من معبد الحوريات، اللون من الأبيض إلى الرمادي كما موضح بالشكل (24.3).

المقطع a، الشريحة في المقطع b توضح تأكل وإحلال معادن أخرى في حواف البلورة، أي في مناطق الضعف في بلورة الكالسيت .



شكل (24.3) قاعدة رخام من معبد الحوريات a، صورة المجهر المستقطب b.

- عينة الرخام: من الميدان الجديد، لونها من الأبيض إلى الرمادي كما موضح بالشكل (3).

(25) المقطع a، الشريحة المجهرية b توضح تفكك وتأكل داخل الفوائل بين البلورات و المتمثلة باللون الغامق.



شكل (25.3) قاعدة مزخرفة من الرخام من الميدان الجديد a، صورة المجهر المستقطب b.

من خلال الدراسة النظرية بواسطة برنامج المحاكاة الانتشار داسبر، تبين هناك ارتفاع في تركيز الغازات (اكسيد النيتروجين والكبريت)، وتطبيق هذه النتائج على معادلة روتز لقياس التآكل على الخام، وجد نسبة التآكل تصل 1.75 مم خلال 30 سنة، من بداية تشغيل المحطة الكهربائية، ولتأكيد النتائج النظرية تم استخدام جهاز الاشعة السينية المفلوره على عينات من الصخور المشيدة منها المدينة الاثرية، وكانت النتائج تؤكد بان هناك تآكل وتفتت وتغيير في نسب تواجد المعادن داخل الصخور، ولتأكيد أكثر تم الكشف عن العينات بالمجهر الضوئي المستقطب ومن خلال صور الشرائح تبين وجود إحلال وتأكل وتفتت بين بلورات المعادن في الصخور، وبهذه النتائج فان المدينة الاثرية المتميزة قد تفقد معالمها الاثرية نتيجة الملوثات الغازية .

الفصل الرابع

الاستنتاجات والتوصيات

4 الاستنتاجات والتوصيات

4 . 1 الاستنتاجات

من خلال ما تم عرضه في سياق البحث، يتضح جلياً إن هناك كميات كبيرة من الإنبعاثات الغازية في الهواء الجوي، مصدرها محطة كهرباء الخمس، الواقعة ليس بعيد عن منطقة لبدة الاثرية بشكل خاص، ومنطقتي الخمس وسوق الخميس بشكل عام، وتتمثل هذه الإنبعاثات الغازية في بعض المكونات من المركبات الكيميائية أهمها (CO_2 - NO_x - Co ) والتي تعتبر عالية السمية وضاره بما يحيط بها من بشر وحجر، وهذا لا يعني إننا نتجه إلى الدخول إلى الدعوة إلى إغفال المحطة بل إلى الدعوة إلى استخدام الأساليب العلمية والحديثة للمحافظة على البيئة.

لقد تم التوصل إن هناك تأثير واضح على صخور مدينة لبدة الاثرية يتمثل في إحداث عمليات تأكل وتجوية لهذه الصخور، وتعتبر الغازات المنبعثة من المحطة هي أحدى مصادر الرئيسية لتأكل اثر مدينة لبده، بحيث يتم إحداث عمليات إحلال واستبدال بين المركبات والعناصر الكيميائية، وأهم هذه الأمثلة هو إحلال واستبدال كربونات الكالسيوم إلى كبريتات أو نيترات الكالسيوم، وتعتبر المركبات الأخيرة سريعة الذوبان في الماء، وبالتالي تجد إن العديد من القطع الاثرية، ذات القيمة الثقافية الإنسانية العالمية لتاريخ وحضارات الشعوب تتدهي وتتأكل بشكل تدريجي، قد يكون ذلك غير مرئي للعيان، ولكنه مع مرور الزمن يمكن رؤية أثاره، وهي عمليات لا يمكن ترميمها أو صيانتها، خاصة إذا كانت متعلقة بالنقوش التي تتواجد على قطع صخرية قد جلبت خصيصاً منذ الألف السنين لتشييد المدينة، وقد صقلت بشكل ملفت للنظر جعل من هذه المدينة قبلة للسائحين.

4. التوصيات

1. أجراء المزيد من الدراسات باستخدام برامج أكثر تطوراً ويمكنها معالجة البيانات في فترة زمنية طويلة وممتدة.
2. أجراء المزيد من الدراسات على مصادر التلوث الأخرى بالمدينة وتأثيرها على الصخور بالمدينة، مثل مصانع الإسمنت ووسائل النقل وغيرها.
3. أجراء دراسات عملية لقياس تركيز الهواء الفعلية في المدينة، وتأثيرها على مكونات المدينة الأثرية.
4. أجراء المزيد من الدراسات على التأثيرات الصحية والبيئة الأخرى لمحطة الكهرباء على سكان المدينة.

المراجع

المراجع

- المراجع العربية

- ابوعربية حسن، ميناس هيثم، قرصع ربيع وابورقيقة حمزة (2004أ)، مواد البناء المشيدة منها مدينة لبدة الكبرى وكيفية المحافظة عليها، المؤتمر الوطني الثاني لمواد البناء والهندسة الإنسانية، جامعة المرقب، الخمس.
- ابوعربية حسن، ميناس هيثم، قرصع ربيع وابورقيقة حمزة (2004ب)، العمليات الخارجية المؤثرة على مواد بناء مدينة لبدة الاثرية وطرق الوقاية منها، المؤتمر الوطني الثاني لمواد البناء والهندسة الإنسانية، جامعة المرقب، الخمس.
- إسلام أحمد، (2001) التلوث الكيميائي وكيميات التلوث، دار الفكر العربي، مدينة النصر، القاهرة.
- الحالسي هيثم عبد الأمير ، (2012): علاقة صخور مكافحة تكاوين فترة السنوماني - البلاستوسين المحيطة بمدينة لبدة الاثرية مع الكتل الصخرية المستخدمة في بناءها والواقعة شمال غرب ليبيا، جامعة ذي قار كلية العلوم.
- الدوفاني ليلى بشير، (2006): دراسة تحليلية لمياه الامطار والمياه الجوفية بمنطقة الخمس (رسالة ماجستير، غير منشورة)، كلية العلوم جامعة المرقب.
- الرئاسة العامة للأرصاد وحماية البيئة، (2003)، مقاييس حماية البيئة، وثيقة رقم (1409)، وزارة الدفاع الطيران، المملكة العربية السعودية.
- الصطوف، عبدالله الحسين، (1995) : التلوث البيئي- مصادره وأثاره وظروف الحماية، منشورات جامعة سبها- ليبيا.

- القانون المصري، (2005)، بقرار وزاري رقم 1741 لسنة 2005، الملحق التنفيذي للقانون رقم 4 لسنة 1994 في شأن البيئة.

- الهيئة العامة للبيئة، (2008)، مشروع قانون الاشتراطات البيئية لحماية الهواء من التلوث، ليبيا.

- باقر، طه (1973)؛ لبدة الكبرى، الدار الوطنية، العراق، 22 ص.

- حاتوغ علياء ومحمد ابودية، (1996)، علم البيئة، الطبعة الثانية، دار الشروق، عمان،الأردن.

- شاهين، عبد المعز، (1994)؛ ترميم وصيانة المباني الأثرية والتاريخية، مطبع المجلس الأعلى للآثار مصر، 190 ص.

- كمال الدين محمد (1926): مبادئ علم الصخور، المركز الوطني للإعلام والتوثيق، جامعة القاهرة.

- مركز الارصاد الخمس، تقارير غير منشورة لبيانات مناخية من 2004-2013م.

- المراجع الانجليزية

- Ashenden. T. W., (1979), Effects of SO₂ and NO₂ pollution on transpiration in phaseolusvalgaris, Environmental pollution, 18, pp. 40–45.
- Beryland. M. Y., (1975). Contemporary problems of atmospheric diffusion and pollution of the atmosphere. Gidrometezdat, Leningrad, translated into English by NERC, US EPA.

- Boden. H., (1989), Approaches in modeling the impact of air pollution induced material degradation, International institute for applied systems analysis, Austria, pp. 89–104.
- Böke. H., Göktürk. H., Caner. E. N., and Demirci. S., (1999): Effect of Airborne Particles on SO₂ Calcite Reaction, Applied Surface Science. Vol. 140, pp.70– 82.
- Bosanquet. C. H., (1936), The Spread of Smoke and Gas from Chimneys. Trans. Faraday Soc. 32:1249.
- Boubel. R., (1994), Fundamentals of Air Pollution, 3rd edition. Academic Press.
- Carmichael. G. R., and Peters, L, K., (1979), Numerical simulation of the regional transport of SO₂ and sulfate in the eastern United States, Proc. 4th Symp.on turbulence, diffusion and air pollution, AMS 337.
- Cimorelli. A. J., Perry. S.G., Venkatram. A., Weil. J. C., Paine. R. J., Wilson. R.B., Lee. R.F., Peters, W.D., and Brode. R.W., (2005). AERMOD: A dispersion model for industrial source applications. Part I: General model formulation and boundary layer characterization. Journal of Applied Meteorology 44, pp. 682–693.
- Deardorff. J. W., (1975):Simulation of the Wangara Atmospheric Boundary Layer Data. TETSUJI YAMADA AND GEORGE MELLOR.

Geophysical Fluid program , Princeton University, Princeton, N. J. 08540.

- Delalieux. F., Sweevers. H., and Vangrieken. R., (1997): Weathering Mechanisms of Pentelic Marble under Ambient Atmospheric Conditions Derived from Runoff Studies. In: 4th International Symposium on the Conservation of Monuments in the Mediterranean Basin. A.Moropoulou, F.Zezza, E.Kolias and I.Papachristodoulou, Eds, Rhodes, pp.151–159.
- Demicco. R. V., Hardie. L. A., (1994): Sedimentary structures and early diagenetic features of shallow marine carbonate deposits. SEPM Atlas Series, 1, 265p.
- Donatella. B., Valeria. C., Cristina. M. B., Alessandra. B., and Mauro. F. R., (2014): Galactic evolution of r-process elements the role of compact binary mergers, www.clinicalneuropsychiatry.org /91–100P. بتاريخ (2014-4-10)
- ECE, (1997), European Commission Environment."SO₂, POSITION paper", Final Report –November.
- ECE, (2010), European Commission Environment "Air Quality Standards". Website: <http://ec.europa.eu/environment/air/quality/standards.htm>. (2014) .

- Eliassen. A., and Saltbones. J., (1975), Decay and transformation rates of SO₂ as estimated from emission data, trajectories and measured air concentrations Atm. Env. 9:425.
- Fisher. B. E. A., (1975), The long-range transport of sulfur dioxide, Atmospheric Environmental, 9, p 1063.
- Fitzner. B., Heinrichs. K., and Bouchardiere. D., (2002): Damage index for stone monuments.– in: Galan, E. and Zezza, F. (ed.): Protection and Conservation of the Cultural Heritage of the Mediterranean Cities, Proceedings of the 5th International Symposium on the Conservation of Monuments in the Mediterranean Basin, Sevilla, Spain, 5–8 April 2000: 315–326, Swets & Zeitlinger, Lisse, The Netherlands.
- Flugel. E., (2004), Microfacies of carbonate rocks. Analysis, Interpretation and Application 1st edition, Springer, p 976.
- Friedlander. S. K., and Seinfeld. J. H., (1969), A Dynamic Model of Photochemical Smog, Environ., Science Technol., 3, 1175.
- Garrison. E. G., (2003): Techniques in Archaeological Geology, Springer, pp 304.
- Hanna. S. R., Kintigh. E., and Baker. D., (2007). Uncertainties in air toxics calculated by the dispersion models AERMOD and ISCST3 in the

Houston ship channel area. Journal of Applied Meteorology and Climatology 46, pp.1372–1382.

- Haynie. F. H., and Spence. J. W., (1984). Air Pollution Damage to Exterior Household Paints. Journal of Air Pollution Control Association 34, pp. 941–944.
- Höglstrom. U., (1964), An experimental study on atmospheric diffusion Tellus, 16:205.
- Holzworth. G. C., (1967). Mixing depth, wind speed and air pollution potential for selected locations in the U.S.A., J. Appl. Met.6:1039.
- Ibrahim. H. G., Okasha. A. Y., Elatrash. M. S., and Elmishregi. M. A., (2012), Computer Assessment of SO₂ and NOx Emitted From Khoms Power Station in Northwestern Libya, International Journal of Modern Engineering Sciences, 1(1): 45–54.
- Kucera. V., (1994).The UN ECE International Cooperative Programme on Effects on Materials, Including Historic and Cultural Monuments. Report to the working group on effects within the UN ECE in Geneva, Swedish Corrosion Institute, Stockholm.
- Larkin. N. K., O'Neill. S.M., Solomon. R., Raffuse. S., Strand. T., Sullivan. D., Krull. C., Rorig. M., Peterson. J., and Ferfuson S.A.,

- (2009). The BlueSky smoke modeling framework. International Journal of Wildland Fire 18, pp. 906–920.
- Lipfert. F. W., (1987). Effects of Acidic Deposition on the Atmospheric Deterioration of Materials. Materials Performance, 12, National Association of Corrosion Engineers.
 - Liu. M. K., and Seinfeld. J. H., (1974). On the Validity of Grid and Trajectory Models of Urban Air Pollution, Atmos. Environ., 9.
 - Mar. V., Pieter. H., Augustin. C., Xavier. G., Bart. D., Ina. V., and John. A., (2014): Impact of maritime transport emissions on coastal air quality in Europe, Atmospheric Environment, pp. 95–105.
 - Marinoni. N., Pellizon, Birelli. M., Rostagno. C., and Pavese. A., (2003): The effects of atmospheric multi pollutants on modern concrete. Atmos. Environ. 37, 4701–4712.
 - Minas. A. H., El-Bakush. H. S., (2007): Shoreline outcrops comparison of Gargaresh Formation with Quaternary calcarenite rocks of Cyrenaica, Northern Libya, the fifth international conference on the geology of Africa vol.(1), p-p. vi–71 – vi– 85) Assiut – Egypt.
 - Minas. H., Mustafah. N., and Bu–Arabyia. H., (2005): Provenance and lithologic analysis of Mosaic Roman villas, Northwestern Libya, Issue No.12, pp. 61–72.

- Moore. D. J., (1967), Physical aspects of plume models, *Atmospheric Environmental*, 1, p 411.
- Paine. R. J., and Egan. B. A., (1987). User's Guide to the Rough Terrain Diffusion Model (RTDM) (Rev 3.20) ERT Document No.P-D535-585. Environmental Research and Technology, Inc.
- Raczyński. A., and Watson. R. T., (1999). "Pollution Prevention and Abatement Handbook 1998 – Toward Cleaner Production", The World Bank Group, The International Bank for Reconstruction and Development/The World Bank, Washington D.C..
- Reynolds. S., Roth. P., and Seinfeld. J., (1973). Mathematical modeling of photochemical air pollution *Atm. Env* 7.
- Robinson. E., and Robbins. R. C., (1970). Gaseous Sulphur Pollutants from urban and natural sources *J. Air Pollut. Contr. Assoc.* 20, pp. 303–306
- Roots. O., (2008): Materials corrosion and air pollution Long-term studies at the Lahemaa monitoring station, Estonia, *chemistry*, 57, 2, pp107–116
- Sabbioni. C., Bonazza. A., and Zappia. G., (2002): Damage on hydraulic mortars: the Venice Arsenal, *Journal of Cultural Heritage*, pp. 83–88.

- Sabbioni. C., Zappia. G., Riontino. C., Blanco. M. T., Aguilera. J. , Puertas. F., Vanbalen. K., and Toumbakari. E. E.,(2001): Atmospheric deterioration of ancient and modern hydraulic mortars, *Atmos. Environ.* 35, pp 539–548.
- Scire. J. S., Strimaitis. D. G., and Yamartino. R. J., (1999).A user's guide for the CALPUFF dispersion model (version 5.0).Earth Tech Inc., Concord, MA, USA.
- Shir. C. C., and Shieh. L. J., (1974).A generalized urban air pollution model and its application to the study of SO₂–distribution in the St. Louis Metropolitan area, *J. Appl. Met.*19, pp.185–204.
- Sklarew. R. C., (1971). A particle-in-cell method for numerical solution of the atmospheric diffusion equation and application to air pollution problems; *Systems, Science and Software, Ca–Reg 35R–844, Voll.*
- Spence. J. W., (1975). Effects of Gaseous Pollutants on Paints: A Chamber Study. *Journal of Paint Technology* 47, 57–63.
- Taylor. G. I., (1915). Eddy motion in the atmosphere *Phil. Transactions of the Royal Soc. of London.Series A*, 215, 1.
- Taylor. G. I., (1921). Diffusion by continuous movements *proc. London Math. soc.* 20, 196.

- Tian. K. L., Krigsvoll. H. G., and Henriksen. J. F., (1999). Building materials Pollution Cost in Guangzhou. Air Quality Management and Planning System for Guangzhou. NORAD Project CHN 013.
- Torfs. K., and Grieken. R. V., (1997): “Chemical Relations between Atmospheric Aerosols, Deposition and Stone Decay Layers on Historic Buildings at the Mediterranen Coast”, Atmospheric Environment. Vol. 31, No. 15, pp. 2179–2192.
- Turner. D. B., (1964). A Diffusion Model for an Urban Area. Journal of Applied Meteorology, 3(1), pp. 83–91.
- Tzanis. C., Varotsos. C., Christodoulakis. J., Tidblad. J., Ferm. M., Ionescu. A., Lefevre. A. S., Theodorakopoulou. K., and Kreislova. K., (2011), On the corrosion and soiling effects on materials by air pollution in Athens, Greece, Atmospheric Chemistry and Physics, 11, 12039–12048.
- Ukberg ,(1990).The Effects of Acid Deposition on Buildings and Building Materials. UK Building Effects Review Group. HMSO, London.
- Webster. R. P., and Kukacka. L. E., (1986). Effects of Acid Deposition on Portland Concrete. In: Materials Degradation Caused by Acid Rain. American Chemical Society, 1986, pp. 239–249.

- Wolfrum. J., (1972), Bildung von Stickoxiden bei der Verbrennung, Chemie–Ingenieur–Technik, 44, pp. 656–659..
- Yamartino. R. J., (1977) A new Method for computing pollutant concentrations in the presence of limited vertical mixing. APCA Note Book 27(5), 467.
- Yerrapragada. S. S., Chirra. S. R., Jaynes. J. H., Li. S., Bandyopadhyay, J. K., And Gauri. K. L., (1996):Weathering rates of marble in laboratory and outdoor conditions, Journal of Environmental–Asce, 122, 856–863.
- Zappia. G., Sabbioni. C., Riontino. C., Gobbi. G., and Favoni. O.,(1998): 'Exposure tests of building materials in urban atmosphere', Science of the Total Environment, 224, 235–244.

- مراجع شبكة المعلومات الدولية /

- تقرير من الشركة العامة للكهرباء متوفّر على موقع الانترنت، (2013-4-2) ،

<http://www.auptde.org/>

- موقع أبحاث جامعة ماساشوتس الأمريكية (2010) متوفّر على الانترنت في الموقع :

<http://www.northeastchp.org/nac/businesses/emissions.htm>

- موقع شركة رأس لأنوف، (2010) ،<http://www.raslanuf.ly/ar/default.aspx>

المُلْحَق



ملحق (1) صورة للفشور الجبسية المتكونة على الرخام تحت تأثير التلوث بثاني أكسيد الكبريت



ملحق (2) صورة لتأكل القشور الجبسية المتكونة على عمود من الرخام تحت تأثير التلوث
ثنائي أكسيد الكبريت



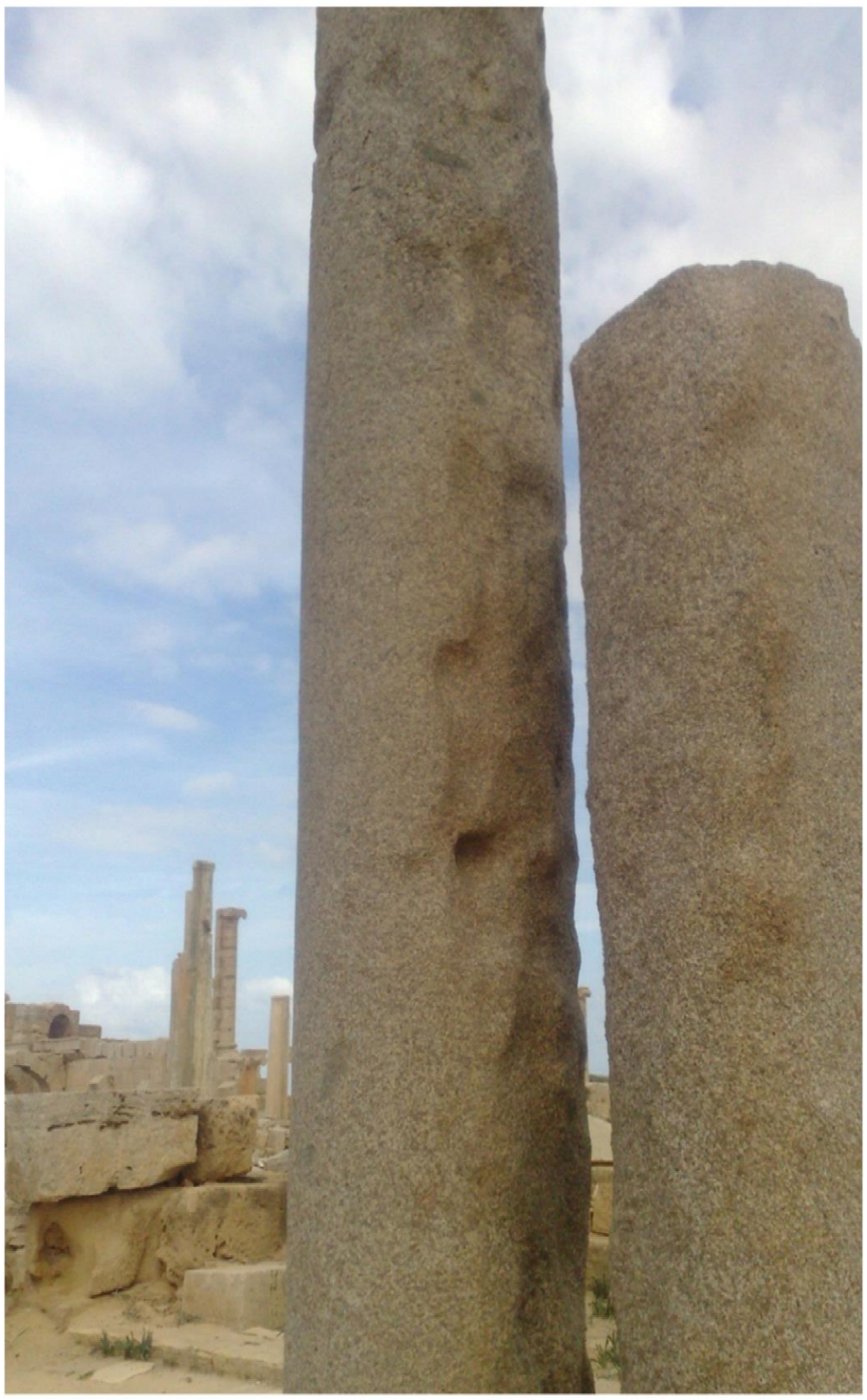
ملحق (3) صورة للأعمدة الرخامية المنقوشة بدقة والمعرضة للتلف بسبب التلوث بأكاسيد الكبريت والنيتروجين



ملحق (4) صورة لتمثال منحوت على الصخور الجيرية قد تعرض للنلاف بسبب عوامل التجوية وقد ما لا يقل عن 2 مليمتر من سطحه.



ملحق (5) صورة لتماثيل منحوتة على الرخام وقد بدأت تتعرض للتلف بسبب التلوث
بأكسيد الكبريت والنيتروجين



ملحق (6) صورة للأعمدة الجرانيتية المعرضة للتلف بسبب التجوية الكيميائية والذي يظهر واضحا في اتجاه النحت حيث تقع محطة الكهرباء يمين هذه الصورة.



ملحق (7) يبيّن مقارنة بين صورتين لأحد المعالم التاريخية في أوروبا وقد تأكّل بمعدل 3 مليمتر في الفترة بين عامي (1908-1969) .(Tian et al, 1999)